

٢٣٩٧٧  
TN  
٩١٤  
٦١٩  
٥٩  
١٣٧٩



کتابخانه ایران ایکن  
 اکتشافات معدن کشور  
 تاریخ: ۸۳/۰۵/۱۰  
 شماره ثبت: ۸۱۴۵۱

مجری طرح: عزیز میرزائیان	وزارت صنایع و معادن سازمان صنایع و معادن استان تهران
گزارش اکتشاف مقدماتی فسفات در منطقه شمال تهران	
شماره گزارش: MS 132-7-010	مرحله: گزارش مقدماتی
کنترل: مهریان اردشیریان شریف آبادی	تهیه کنندگان به ترتیب حروف الفبا: ۱. مهریان اردشیریان شریف آبادی ۲. مهدی زمردیان ۳. کیامرت شیرخانی ۴. عبدالرضا صائبی مقدم ۵. علی عابدی ۶. شهرام فرخنده کیش ۷. زینب کریمی
مدیر پروژه: محمد جعفر صادقی پناه	
تایپ: خانمها اسدی و میرعلی نقی	
تاریخ: سال ۱۳۷۹	 <b>ایران ایک</b> <b>IRAN ITOK</b>

## تشکر و قدردانی

در ابتدا لازم می دانیم که مراتب سپاسگزاری خویش را از یکایک سروران گرامی به جهت همکاری و مساعدت در به انجام رساندن این پروژه اعلام و از صمیم قلب سرافرازی و سربلندی ایشان را از ایزد متعال مسئلت نماییم.

از جناب آقای مهندس میرزائیان رئیس اداره کل معادن و فلزات استان تهران به جهت همکاری های صمیمانه در تمامی مراحل انجام پروژه نهایت سپاسگزاری را داریم.

از جناب آقای دکتر سعدمحمدی مسئول محترم امور معادن و همچنین جناب آقای مهندس خرسند کارشناس محترم به خاطر ارائه راهنمایی های سودمند و کمکهای بیدریغ کمال قدردانی را داریم.

از پروردگار منان برای این عزیزان و تمامی کسانی که در راه شکوفایی بخش معدن و استقلال اقتصادی این کشور تلاش می کنند، سعادت و بهروزی آرزومندیم.

## چکیده

با توجه به اهمیت ماده معدنی فسفر و کاربرد آن در صنایع مختلف، بررسی و اکتشاف منابع اولیه این ماده حیاتی و استفاده از آنها حائز اهمیت می باشد. در ناحیه شمال تهران، در منطقه آببیک - شمشک - دیزین پتانسیل بالقوه ای از این ماده معدنی وجود دارد که شناسایی و اکتشاف دقیق آن، ضروری می باشد.

سازمان صنایع و معادن استان تهران با توجه به این موارد، طی قراردادی پژوهش ای تحت عنوان "اکتشاف مقدماتی فسفات در شمال تهران" به شرکت مهندسان مشاور ایتوک ایران واگذار نمود.

این شرکت نیز به منظور انجام شرح خدمات و مطالعات و برداشت های لازم صحرایی اقدام به نمونه برداری از واحد کانی سازی شده سازند جیرود نمود و با انجام مطالعات در وسعت ۱۸۰ کیلومتر مربع کل منطقه را به ۴۰ کیلومتر مربع تبدیل نمود. پس از آن منطقه ای به وسعت ۵ کیلومتر مربع واقع در بین روستای آببیک - لالون را جهت انجام مطالعات دقیق تر و تهیه نقشه زمین شناسی ۱:۱۰،۰۰۰ انتخاب نمود.

تمام مطالعات و آزمایش‌های انجام شده حاکی از این است که کانی زایی فسفات در شیلهای و برخی از ماسه سنگهای واقع در بین شیلهای سازند جیرود رخ داده است. ولی در تمام شیلهای تیره رنگ این منطقه فسفات وجود ندارد. ضخامت این واحد های کانی سازی شده بسیار متغیر و از ۵ سانتی متر تا ۱/۵ متر می باشد.

با توجه به مطالعات و برداشت های زمین شناسی و همچنین حفر چهار تراشه بر روی این ذخیره و نتایج آنالیز شیمیایی، مشخص گردید که ضخامت متوسط این واحد ها در حدود ۱۰۰ سانتی متر و عیار متوسط  $P_2O_5$  آن در حدود ۲۰/۶ درصد است.

بر پایه مطالعات و برداشت ها، ذخیره زمین شناسی این کانسار تعیین گردید که مقدار ذخیره آن در حدود ۲ میلیون تن تخمین زده شده است. قبل از واگذاری این محدوده به بھرہ بردار لازم است که مرحله نیمه تفصیلی اکتشاف بر روی این کانسار صورت پذیرد تا تغییرات عمقی کانسار نیز تعیین گردد و در نهایت محاسبه دقیق ذخیره این کانسار انجام پذیرد.

## فهرست مطالب

صفحة

عنوان

### فصل اول : کلیات طرح ، اهداف و امکانات

۱-۱	۱-۱ - مقدمه
۳-۱	۱-۲ - تاریخچه اکتشاف فسفات در ایران
۵-۱	۱-۳ - اهداف و روش‌های کار

### فصل دوم : کلیات منطقه مورد مطالعه

۱-۲	۱-۲ - موقعیت جغرافیایی محدوده
۱-۲	۱-۲ - راههای دسترسی به محدوده
۵-۲	۱-۳ - آب و هوای محدوده
۶-۲	۱-۴ - وضعیت معيشی و اجتماعی محدوده
۷-۲	۱-۵ - توپوگرافی محدوده
۸-۲	۱-۶ - شبکه آبراهه ای و پوشش گیاهی محدوده

### فصل سوم : کلیات ماده معنی فسفات

۱-۳	۱-۳ - کانی شناسی
۱-۳	۱-۱-۳ - کانیهای گروه آپاتیت در سنگهای فسفاتی

- ۲-۳ - کانیهای اولیه گروه آپاتیت (سنگهای آذرین)
- ۳-۳ - کانیهای ثانویه گروه آپاتیت (سنگهای رسوبی و هوازده)
- ۵-۳ - کانیهای غیر آپاتیتی ۲-۱-۳
- ۵-۳ - کانیهای اولیه غیر آپاتیت در سنگهای فسفاتی آذرین
- ۶-۳ - کانیهای ثانویه غیر آپاتیتی در سنگهای فسفاتی رسوبی و هوازده
- ۷-۳ - نهشته های فسفاتی و رنگ آنها
- ۸-۳ - ۱-۲-۳ - فسفات رسوبی
- ۸-۳ - ویژگیهای عمومی ذخایر فسفات رسوبی
- ۱۱-۳ - ۲- ۲- ۳ - الگوهای ژنتیکی تشکیل فسفات رسوبی
- ۱۵-۳ - ۲-۲-۳ - فسفات با منشأ آذرین
- ۱۷-۳ - ۳-۲-۳ - گوانوها و نهشته های مشتق از آنها
- ۱۷-۳ - ۴-۲-۳ - نهشته های ثانویه دیگر
- ۱۸-۳ - ۳-۳ - ذخایر و منابع فسفات رسوبی دونین فوکانی در ایران
- ۱۹-۳ - ۴-۳ - تاریخچه اکتشاف در محدوده مورد مطالعه شمال تهران

#### فصل چهارم : زمین شناسی عمومی منطقه مورد مطالعه

- ۱-۴ - ۱-۴ - زون بندی منطقه
- ۴-۴ - ۲-۴ - جغرافیایی دیرینه
- ۴-۴ - ۱-۲-۴ - فعالیت های کوهزایی ، آتشفسانی و ماگماتیسم در منطقه
- ۵-۴ - ۲-۲-۴ - گسترش رخساره های دونین بالایی

- |      |  |
|------|--|
| ۱۰-۴ | ۳-۲-۴- چینه شناسی منطقه مورد مطالعه                  |
| ۱۲-۴ | ۱- شیلهای رسی، سیلیسی و ماسه ای قرمز رنگ باروت       |
| ۱۴-۴ | ۲- شیلهای میکاسه ارغوانی رنگ سازند زاگون             |
| ۱۵-۴ | ۳- ماسه سنگ کوارتزیتی لالون                          |
| ۱۷-۴ | ۴- کوارتزیت بالایی                                   |
| ۱۸-۴ | ۵- سنگ آهک و دولومیت خاکستری-کرم رنگ ميلا            |
| ۱۹-۴ | ۶- شیل، ماسه سنگ و سنگ آهکهای جیرود                  |
| ۲۱-۴ | ۷- سازند مبارک                                       |
| ۲۱-۴ | ۸- سازند درود  |
| ۲۱-۴ | ۹- سازند نسن   |
| ۲۲-۴ | ۱۰- سازند الیکا (بخش آهکی)                           |
| ۲۲-۴ | ۱۱- سازند الیکا (بخش دولومیتی)                       |
| ۲۳-۴ | ۱۲- تکتونیک و وضعیت ساختمانی منطقه در مقیاس ناحیه ای |
| ۲۵-۴ | ۱-۳-۴- گسل ها با امتداد تقریبی شمالی - جنوبی         |
| ۲۵-۴ | ۲-۳-۴- گسلهای طولی                                   |

### فصل پنجم: زمین شناسی منطقه مورد مطالعه

- |     |                                   |
|-----|-----------------------------------|
| ۱-۵ | ۱-۵- مقدمه                        |
| ۷-۵ | ۲-۵- واحدهای شناسایی شده در منطقه |
| ۷-۵ | ۱-۲-۵- سازند لالون                |

۷-۵	۲-۲-۵- سازند ميلا
۹-۵	۳-۲-۵- سازند جيروود
۱۲-۵	۳-۳-۵- تكتونيك منطقه مورد مطالعه
۱۴-۵	۴-۴-۵- وضعیت ماده معدنی فسفات در منطقه
۱۴-۵	۱-۴-۵- مشخصات عمومی واحد های فسفاته
۱۵-۵	۲-۴-۵- ميزان ذخیره زمین شناسی، ذخیره آبنیک- لالون

### فصل ششم: نمونه برداری، حفاری و آزمایشات

۱-۶	۱-۶- مقدمه
۲-۶	۲-۶- نمونه برداری در قالب طرح
۳-۶	۳-۶- حفاری های منطقه
۳-۶	۱-۳-۶- ترانشه اول
۴-۶	۲-۳-۶- ترانشه دوم
۴-۶	۳-۳-۶- ترانشه سوم
۹-۶	۴-۳-۶- ترانشه چهارم
۶-۶	۵-۳-۶- ترانشه پنجم
۹-۶	۶-۴- نتایج مطالعات آزمایشگاهی
۹-۶	۱-۴-۶- مطالعات تیغه نازک و سنگ شناسی
۳۱-۶	۲-۴-۶- نتایج آنالیز شیمیایی
۳۶-۶	۳-۴-۶- نتایج مطالعات X.R.D
۳۶-۶	۴-۳-۶- نتایج مطالعات X.R.F

۳۹-۶	۶-۵-۶-حفاری و مطالعات تكمیلی پروژه
۳۹-۶	۶-۵-۱-حفاری های تكمیلی
۴۴-۶	۶-۵-۲-مطالعات تكمیلی

### فصل هفتم: منابع، ذخایر، فرآوری و موارد مصرف فسفات

۱-۷	۷-۱-منابع و ذخایر فسفات در جهان و ایران
۷-۷	۷-۲-مصرف و کاربرد فسفات
۹-۷	۷-۱-۲-۱-اسید فسفریک و کاربرد آن
۱۲-۷	۷-۲-۲-۱-املاح اسید فسفریک و کاربرد آنها
۱۵-۷	۷-۲-۳-کاربرد سوپر فسفریک اسید و املاح آن
۱۶-۷	۷-۳-۴-مصرف و کاربرد فسفر عنصری، آلیاژها و ترکیبات فسفری
۲۱-۷	۷-۳-آمار واردات و صادرات کشور

### فصل هشتم: نتیجه گیری و پیشنهادات

۱-۸	۸-۱-نتیجه گیری
۳-۸	۸-۲-پیشنهادات

## فهرست اشکال و تصاویر

صفحه	عنوان
۲-۲	عکس (۱-۳) دورنمایی از ذخیره آببیک-لالون
۴-۲	شکل (۱-۲)- راههای دسترسی به محدوده مورد مطالعه
۹-۲	شکل (۲-۲)- نقشه توپوگرافی ۱:۱۲۵۰۰۰: محدوده های فسفات دار شمال تهران
۳-۴	شکل (۱-۴)- واحدهای اصلی ساختمانی البرز مرکزی
۸-۴	شکل (۲-۴)- ستون چینه شناسی در پرکامبرین و پالئوزوئیک البرز مرکزی
۱۱-۴	شکل (۳-۴)- مقطع سازند جیرود در دره شمشک بر اساس داده های آسترتو
۶-۵	شکل (۱-۵)- محدوده فسفات دار ذخیره آببیک-لالون
۸-۵	عکس (۱-۵)- شیب لایه کوارتزیتی در اطراف منطقه لالون
۵-۶	عکس (۱-۶)- نمایی از ترانشه اول
۷-۶	عکس (۲-۶)- نمایی از ترانشه دوم
۷-۶	عکس (۳-۶)- نمایی از ترانشه سوم
۸-۶	عکس (۴-۶)- نمایی از ترانشه چهارم
۴۰-۶	عکس (۵-۶)- نمایی از ترانشه ششم
۴۳-۶	عکس (۶-۶)- نمایی از ترانشه هفتم
۴۳-۶	عکس (۷-۶)- نمایی از ترانشه هشتم
۵-۷	شکل (۱-۷)- توزیع جغرافیایی انواع مختلف فسفات در ایران

## فهرست جداول

عنوان	صفحة
جدول شماره (۱-۳)- کانسارها و اندیسه‌های فسفات دونین بالایی ایران	۱۹-۳
جدول شماره (۱-۵)- محاسبات به تفکیک مقاطع ترسیم شده	۱۷-۵
جدول شماره (۱-۶)- لیست نمونه های ارسالی برای آنالیز شیمیایی	۲-۶
جدول شماره (۲-۶)- لیست نمونه های ارسالی برای آزمایشات دیگر	۳-۶
جدول شماره (۳-۶)- نتایج آنالیز شیمیایی شیلهای فسفاته	۳۲-۶
جدول شماره (۴-۶)- نتایج نمونه های کنترلی شیلهای فسفاته	۳۳-۶
جدول شماره (۵-۶)- نتایج آنالیز نمونه های ارسالی (مرحله دوم)	۳۴-۶
جدول شماره (۶-۶)- نتایج آنالیز شیمیایی مرحله سوم	۳۴-۶
جدول شماره (۷-۶)- نتایج آنالیز نمونه های ماسه سنگ فسفاته	۳۴-۶
جدول شماره (۸-۶)- نتایج آنالیز نمونه های ماسه سنگی (آخرین مرحله)	۳۵-۶
جدول شماره (۹-۶)- نتایج آنالیز کنترلی	۳۵-۶
جدول شماره (۱۰-۶)- بررسی ترکیبات اکسیدی نمونه های پرعيار	۳۶-۶
جدول شماره (۱۱-۶)- بررسی عناصر همراه در دو نمونه پرعيار	۳۷-۶
جدول شماره (۱-۷)- توزیع زمانی فسفریتهای مهم جهان	۳-۷
جدول شماره (۲-۷)- مهمترین کانسارهای فسفات شناخته شده در ایران	۴-۷
جدول شماره (۳-۷)- آنالیز برخی از منابع فسفات مهم جهان	۶-۷
جدول شماره (۴-۷)- مشخصات شیمیایی سه نوع اسید فسفریک	۱۱-۷
جدول شماره (۵-۷)- مقدار و ارزش صادرات در سال ۷۸	۲۱-۷

۲۲-۷	جدول شماره (۶-۷)- مقدار ارزش واردات در سال ۷۸
۲۳-۷	جدول شماره (۷-۷)- مقدار ارزش واردات در سال ۷۷
۲۴-۷	جدول شماره (۸-۷)- مقدار وارزش اردادات در سال ۷۶

# فصل اول

## کلیات طرح، اهداف و

### امکانات

#### ۱-۱ - مقدمه

ماده معدنی فسفر در چرخه حیات بعنوان عنصری ضروری، اجتناب ناپذیر و غیر قابل جایگزین محسوب می گردد. بطوریکه انرژی اتمی را می توانیم جایگزین نفت و زغالسنگ کنیم اما جایگزینی برای فسفر در حال حاضر وجود ندارد. نیاز به این عنصر با ازدیاد جمعیت افزایش می یابد. از آنجائیکه سنگ فسفات تنها منبع تولید فسفر است، نیاز به این سنگ نیز بطور قابل ملاحظه ای رو به فزونی است. بر این اساس و با توجه به روند تصاعدی نیاز به این ماده حیاتی و نقش انکارناپذیر آن در افزایش محصولات کشاورزی و دامی، بتدریج ذخایر مرغوب (از لحاظ کیفی)، در سطح جهانی به اتمام می رستند. در حال حاضر تولید جهانی سنگ فسفات سالانه بالغ

بر ۱۶۰ میلیون تن می باشد که در حدود ۸۵ درصد در صنعت تولید کود به مصرف می رسد . در ایران با توجه به نرخ بسیار بالای رشد جمعیت، میزان نیاز به سنگ فسفات جهت تولید کودهای فسفاتی و دیگر فرآورده های جانبی بطور قابل ملاحظه ای رو به افزایش است.

در حال حاضر میزان مصرف کنسانتره سنگ فسفات در واحدهای فعال شرکت ملی پتروشیمی ایران سالانه در حدود ۴۰۰ هزار تن است که در آن حدود ۴۰۰ هزار تن کود مصرف می شود . میزان واردات کودهای فسفاتی جهت تامین نیاز داخلی حدود یک میلیون تن به ارزش بیش از ۳۰۰ میلیون دلار می باشد.

در این رابطه کشور ما نیز همانند اکثر کشورها برای تامین مواد اولیه صنایع مادر خود، نیازمند شناسایی مواد معدنی می باشد . جهت نیل به این اهداف ، در رابطه با اکثر مواد معدنی ، اکتشافاتی در مراحل مقدماتی صورت گرفته است. در این راستا در اوایل سال ۱۳۷۹، اداره کل معادن و فلزات استان تهران طرح اکتشاف مقدماتی در منطقه شمال تهران را ارائه نمود تا با استفاده از پتانسیل مربوطه ، امکان تامین بخشی از مواد اولیه صنایع مصرف کننده را فراهم نماید.

طرح فوق در مورخه ۷۹/۳۱۷۲ طی حکمی به شماره ۷۹/۵/۲۹ جهت اجرا به شرکت مهندسی ایتوک ایران واگذار گردید و این مشاور پس از عقد قرارداد اقدام به جمع آوری مدارک مربوطه از ادارات و موسسات تابعه وزارت معادن و فلزات و سایر موسسات جهت تهیه و تکمیل گزارش مذکور، نموده است.

## ۱-۲- تاریخچه اکتشاف فسفات در ایران

برای اولین بار در سال ۱۹۵۱ Kent, Slinger, Thomas به وجود یک لایه فسفات در ناپیوستگی بین مارنهای کرتاسه بالائی و مارنهای ارغوانی پالئوسن منطقه زاگرس اشاره نموده اند. مهمترین عملیات پیجوانی فسفات در سال ۱۹۵۷ توسط G.A.Schenelman, R.A.Makay و با همکاری R.H.Robertson و S.G.Henderson سازمان داده شد و محدوده بین کرمانشاه تا جنوب دزفول زیر پوشش قرار گرفت.

سازمان زمین شناسی کشور موضوع اکتشاف فسفات را در سال ۱۹۶۳ با اعزام اکیپهای اکتشافی خود به نواحی کرمانشاه و قصر شیرین دنبال نمود. عملیات پیجوانی در نواحی البرز در سال ۱۹۶۵ و با سرپرستی آقای شلدون (Sheldon) از سازمان زمین شناسی آمریکا و همکاری کارشناسان سازمان زمین شناسی کشور ادامه یافت. این مطالعات منجر به کشف نهشته های فسفاتی اوسن بالائی در سازند پابده در زاگرس و نیز فسفریتهای دونین بالائی جیروود در البرز مرکزی گردید.

با توجه به اهمیت موضوع، در سالهای دهه ۱۹۷۰ شرکت ملی پتروشیمی به منظور تأمین نیاز واحدهای تولید اسید فسفریک خود، در چهارچوب قراردادی با شرکت ژئومتال ایران و همکار فرانسوی آن موسسه B.R.G.M عملیات اکتشاف و پیجوانی فسفات را در مناطق زاگرس، البرز و ایران مرکزی دنبال نمود.

در سال ۱۳۶۱ با تشکیل طرحی به نام طرح اکتشاف معدنی فسفات، مسئولیت اکتشاف و کانه آرائی ذخائر فسفات کشور به این طرح محول گردید.

بر اساس نتایج حاصل از مجموع مطالعات اکتشافی در طول سه دهه گذشته، ذخایر شناخته شده فسفات ایران در دو گروه، فسفات رسوبی و فسفات با منشا آذرین جای گرفت.

ذخایر فسفات آذرین ایران در کمپلکس‌های آلکالن از قبیل سنگهای نفلین سینیتی، ایژولیتی کربناتیتی، پیروکسنیت‌ها، گلیمریت‌ها و غیره یافت می‌شوند. با توجه به گستردگی سنگهای آذرین کشور که رخساره‌هایی از عهد پرکامبرین تا عهد حاضر را در بر می‌گیرد، احتمال وجود ذخایر آپاتیت آذرین در رخساره‌های بسیار غنی از مواد آلکالن وجود دارد که از مشهورترین این نوع ذخیره می‌توان آپاتیت اسفوردی را نام برد.

ذخایر فسفات‌های رسوبی کشور صرفنظر از کیفیت و کمیت آنها به چندین گروه سنی تقسیم می‌شوند که ذخیره فسفات شمال تهران از نوع فسفات‌های دونین بالائی گروه بندی می‌گردند. این نوع فسفات اولین فسفات شناخته شده در مناطق البرز و ایران مرکزی محسوب می‌شود. فسفات دونین در تراالف رسوبی شیلی و ماسه سنگی سازند جیروود تکوین یافته و جدا از ضخامت و عیار در تمام بیرون زدگی‌های این سازند و نیز سازندهای معادل آن این ماده قابل ردیابی می‌باشد. بنابراین با توجه به توضیحات داده شده، نوع ذخیره فسفات در این طرح از نوع فسفات رسوبی و در ردیف سنی دونین بالائی قرار دارد.

### ۱-۳-۱- اهداف و روش‌های کار

اکیپ اکتشافی این مشاور در طی چندین نوبت به منطقه اعزام شدند. ماموریت اکیپ اکتشافی در منطقه فسفات شمال تهران در محدوده ای قبله تعیین شده بود، بررسی های زمین شناسی و اکتشاف مقدماتی در مقیاس ۱:۵۰۰۰۰ در محدوده ای بوسعت ۱۸۵ کیلومترمربع بود که به منظور نیل به اهداف زیر انجام گرفته است.

- بررسی راههای دسترسی، شناخت سازند جیروود و کلیه واحدهای زمین شناسی

درگیر در ماده معدنی

- دنبال کردن لایه های فسفات دار در منطقه و چگونگی ارتباط آنها با یکدیگر و شناخت کلیه فرآیندهای موثر در تشکیل و غنی سازی مواد معدنی

- بازدید مقدماتی و بررسی و تحلیل کلیه گزارشات و انتخاب ۴۰ کیلومتر مربع

بعنوان بهترین نقاط جهت بررسی های بیشتر

- عملیات صحرایی، برداشت نمونه، فتوژئولوژی در مقیاس ۱:۲۰۰۰۰ و مشخص

کردن آنومالی ماده معدنی با اولویت ماده معدنی فسفات در مساحت ۴۰ کیلومتر

مربع

- تلفیق کلیه اطلاعات، داده ها، برداشت های زمین شناسی و آنومالی های فسفات

و انتخاب ۵ کیلومتر مربع جهت تهیه نقشه زمین شناسی به مقیاس ۱:۱۰۰۰۰

- عملیات حفاری، نمونه برداری، بررسی خصوصیات فیزیکی و شیمیایی ماده

معدنی در گستره نهایی طرح

# فصل دوم

## کلیات منطقه

### ۱-۱- موقعیت جغرافیایی محدوده

محدوده مورد مطالعه در استان تهران و در ۴۵ کیلومتری شمال تهران بین طولهای جغرافیایی  $۳۵^{\circ} ۵۸'$  و  $۳۷^{\circ} ۵۱'$  شرقی و عرض های جغرافیایی  $۲۰^{\circ} ۵۱'$  الی  $۲۶^{\circ} ۳۶'$  شمالی در وسعت حدود ۱۸۵ کیلومتر مربع واقع گردیده است. بخشی از این محدوده در شمال چهارگوش نقشه زمین شناسی ۱:۲۵۰۰۰۰ تهران و قسمتی نیز در جنوب چهارگوش زمین شناسی ۱:۲۵۰۰۰۰ آمل واقع شده است. عکس شماره (۱-۲) دورنمایی از ذخیره آبنیک لالون را نشان می دهد.

### ۱-۲- راههای دسترسی به محدوده

вшم مرکز بخش رودبار قصران، در ۳۰ کیلومتری شمال تهران واقع است. فشم با دو راه آسفالته کم عرض، یکی به طول ۱۴ کیلومتر به شمشک و دیگری به طول ۸ کیلومتر به زاگون مرتبط می شود.



عکس شماره (۱-۲) - دورنمایی از ذخیره آبیک-لالون

از روستای زاگون دو راه فرعی جدا می شود که یکی به لالون متصل می گردد و دیگری منتهی به گرمابدر می شود که هر دو راه لایه فسفاته را قطع می کنند.

(شکل ۱-۲)

یک راه معدنی (مربوط به معادن زغال سنگ شمشک) دهکده لالون را به شمشک بالا متصل می نماید که حدود ۷ کیلومتر طول دارد و در صورت مختصری جاده سازی، مناسب ترین راه دسترسی ذخیره های فسفات شرق (لالون) و ذخیره فسفات جیروود می باشد.

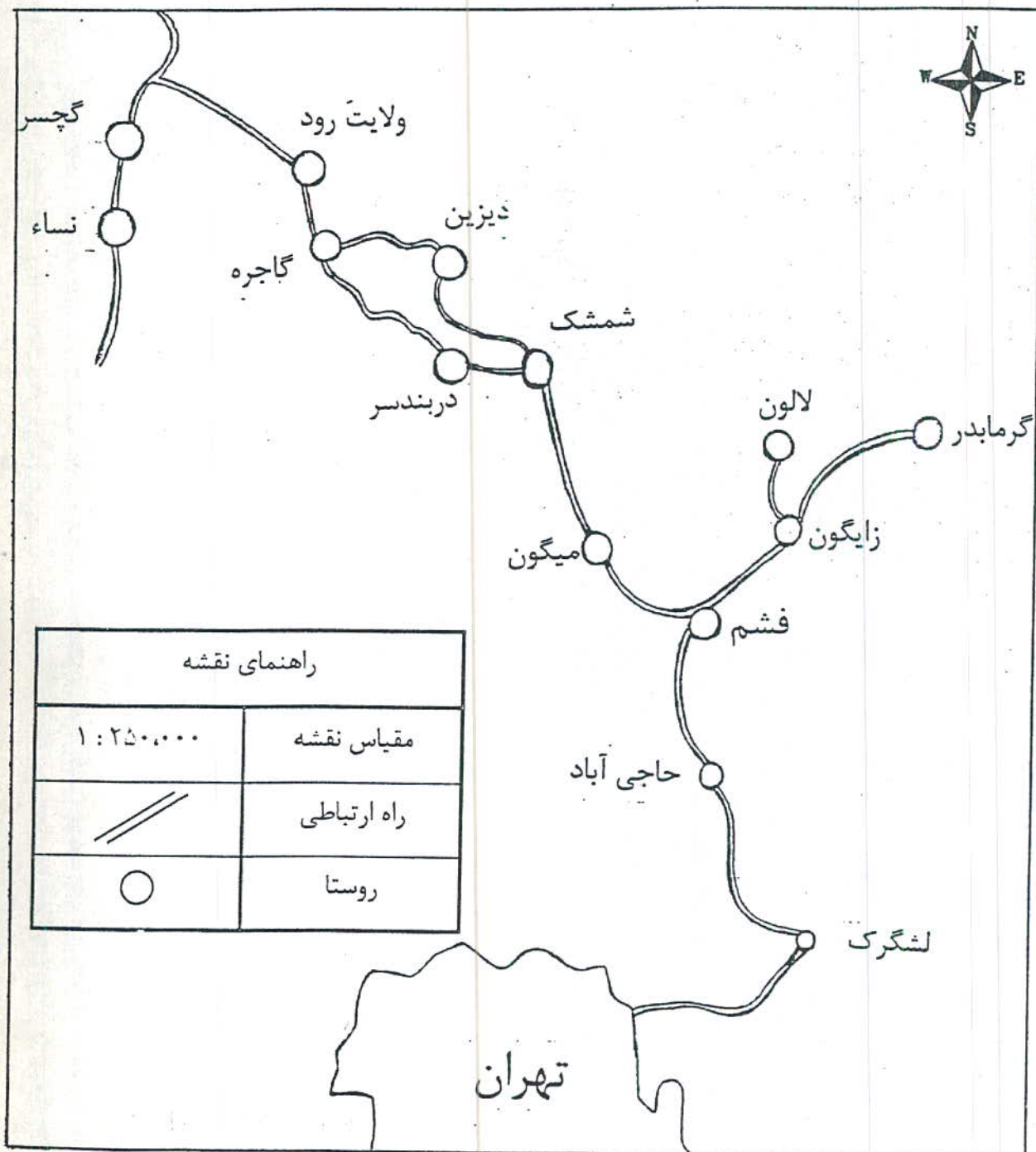
برای دسترسی به لایه های فسفات در ناحیه و ذخایر فسفات غرب آن، چندین راه دسترسی وجود دارد که به شرح زیر می باشد:

الف- راه ارتباطی تله اسکی شمشک به طول ۳ کیلومتر که شمشک بالا را به منتهی الیه شرقی افق معدنی در ناحیه جیروود مرتبط می کند. این راه جیپ رو می باشد.

ب- در مسیر راه اصلی فشم به شمشک در محل روستای جیروود در سمت شرق جاده به راحتی می توان افق فسفاتی را ملاحظه کرد.

پ- راه شوسه کوهستانی تله اسکی دربند سر به طول ۳ کیلومتر که از این روستا شروع و به اراضی مشرف به آن منتهی می گردد را، دیگری، زمین های دربند سر را به پل دربندسر (دورود) متصل می سازد.

ت- راه ارتباطی تله اسکی دیزین - ارتفاعات مشرف به گسیل ، به طول ۲/۵ کیلومتر که دره دیزین را به بخش انتهائی شمال غربی افق معدنی متصل می نماید.



شکل شماره (۱-۲)- راههای دسترسی به محدوده مورد مطالعه از تهران

جاده اصلی تهران - فشم - شمشک پس از عبور از گردنه دیزین به گاجره و پس از آن به جاده کرج - چالوس در ۵ کیلومتری شمال نسا می پیوندد. از محل دو راهی روستای نسا در جاده چالوس راه دستری به سمت شرق به سمت روستای نسا بالا و از آنجا به انتهای غربی لایه های فسفات دار و همچنین از طریق راههای کوهستانی به گاجره راه دارد.

قابل ذکر است کلیه راههای دستری جیپ، به افق های فسفاتی بسیار صعب العبور بوده و در فصول دارای بارندگی و سرماں سال قابل تردد نمی باشد.

### ۳-۲- آب و هوای محدوده

همانگونه که بیان گردید این محدوده در استان تهران و در دامنه های جنوبی رشته کوههای البرز و در یک منطقه کاملاً "مرتفع قرار گرفته است. از نظر اقلیم، این منطقه دارای زمستانهای سرد و طولانی و برفگیر و تابستانهای نیمه گرم و مرطوب است. با توجه به مرتفع بودن منطقه، بارش در آن بسیار زیاد می باشد بطوریکه در اکثر فصول سال در منطقه بارندگی وجود دارد.

بارندگی در فصول معتدل بصورت باران و در فصول سرد سال بصورت برف می باشد. از بارش اولین برف در پائیز تا اوخر بهار قسمت عمده منطقه پوشیده از برف است و عبور خودروها از راههای فرعی و همچنین از گردنه دیزین غیر ممکن است. مقدار متوسط بارندگی سالانه بیش از ۳۵۰ میلیمتر بوده که بیشترین مقدار در دی ماه و بهمن و کمترین آن در مرداد ماه می باشد. میانگین حداقل دمای

گزارش شده در گرمترین ماه سال ۳۱ درجه می باشد که مربوط به تیر ماه است  
میانگین حداقل دمای گزارش شده در سردترین ماه سال حدود ۵- درجه مربوط به  
ماههای دی و بهمن می باشد . در این دوره زمانی برودت تا ۲۰- درجه نیز گزارش  
شده است.

بطور کلی می توان گفت این منطقه دارای تابستانهای مرطوب و زمستانهای  
سرد می باشد. با عنایت به موارد فوق فصل کاری منطقه را می توان حداکثر شش ماه  
از اوایل خرداد ماه تا اواخر مهر و آبان در نظر گرفت.  
رطوبت هوا ، درجه حرارت و میزان بارندگی در فصل تابستان در این ناحیه کم  
و شرایط مناسبی را جهت فعالیتهای صحرائی بوجود می آورد.

#### ۴-۲- وضعیت معیشتی و اجتماعی محدوده

این محدوده جزء مناطق کوهستانی شمال تهران و محدوده ای با پتانسیل  
گردشگری فراوانی می باشد که در روزهای تعطیل مسافران زیادی را جهت استراحت  
و استفاده از پیست های اسکی در فصل زمستان جذب می کند. این منطقه دارای  
دره های وسیع و پر از درختان با میوه های مختلف می باشد. کوهستانی بودن بر  
وضعیت اجتماعی اهالی تاثیر به سزایی گذاشته است، بطوریکه اکثر مردم از این  
منطقه بعنوان ییلاق استفاده می کنند.

از جمله روستاهای مهم در این محدوده می توان فشم ، میگون ، شمشک ،  
دربندسر ، جیرود ، درود ، لالون ، زاگون ، آبنیک ، گرمابدر و گسیل ، ... را نام برد.

کشاورزی و باغداری بصورت محدود در زمین های پیرامون روستاهای دیده می شود.

تعداد کثیری از مردم منطقه جهت کارگری به تهران روی آورده اند. دین رسمی اسلام،

مذهب آنها شیعه اثنی عشری و گویش آنها زبان فارسی می باشد.

## ۵-۵- توبوگرافی محدوده

با توجه به موقعیت محدوده در سلسله جبال البرز، محدوده از وضعیت خاصی برخوردار است. ارتفاعات این منطقه بسیار مرتفع بوده، بطوریکه ارتفاع از سطح دریا در مناطق پست و از جمله در آبادی شمشک برابر  $2450$  متر و بلندترین ارتفاع منطقه بر روی نقشه مناطق اطراف  $3360$  متر از سطح دریا می باشد.

با توجه جدول زیر، محدوده مورد مطالعه در چهار نقشه توبوگرافی  $1:50,000$  به نامهای اوز، لشگرک، گاجره و تجریش قرار دارد.

گاجره	اوز
تجرجیش	لشگرک

بطور کلی توبوگرافی در محدوده مطالعاتی شامل رشته کوههای موازی هم با روند شرقی - غربی و کمی متمایل به سمت شمال غربی - جنوب شرقی می باشد که در بین آنها ارتفاعات پستی نیز وجود دارد با توجه به پستی و بلندی های نسبتاً آرام که در منطقه وجود دارد، فرسایش در رخمنوتها محدودی از جمله سازند شمشک، بیشتر مشاهده می گردد. وضعیت توبوگرافی محدوده مطالعاتی در شکل شماره (۲-۲) نشان داده شده است.

با توجه نقشه توپوگرافی محدوده مورد مطالعه، محدوده ۱۸۵ کیلومتر مربعی اولیه بصورت رنگ سبز، محدوده ۴۰ کیلومتری انتخابی به رنگ آبی و محدوده ۵ کیلومتر مربع تهیه نقشه زمین شناسی ۱:۱۰،۰۰۰ به رنگ قرمز نشان داده شده است.

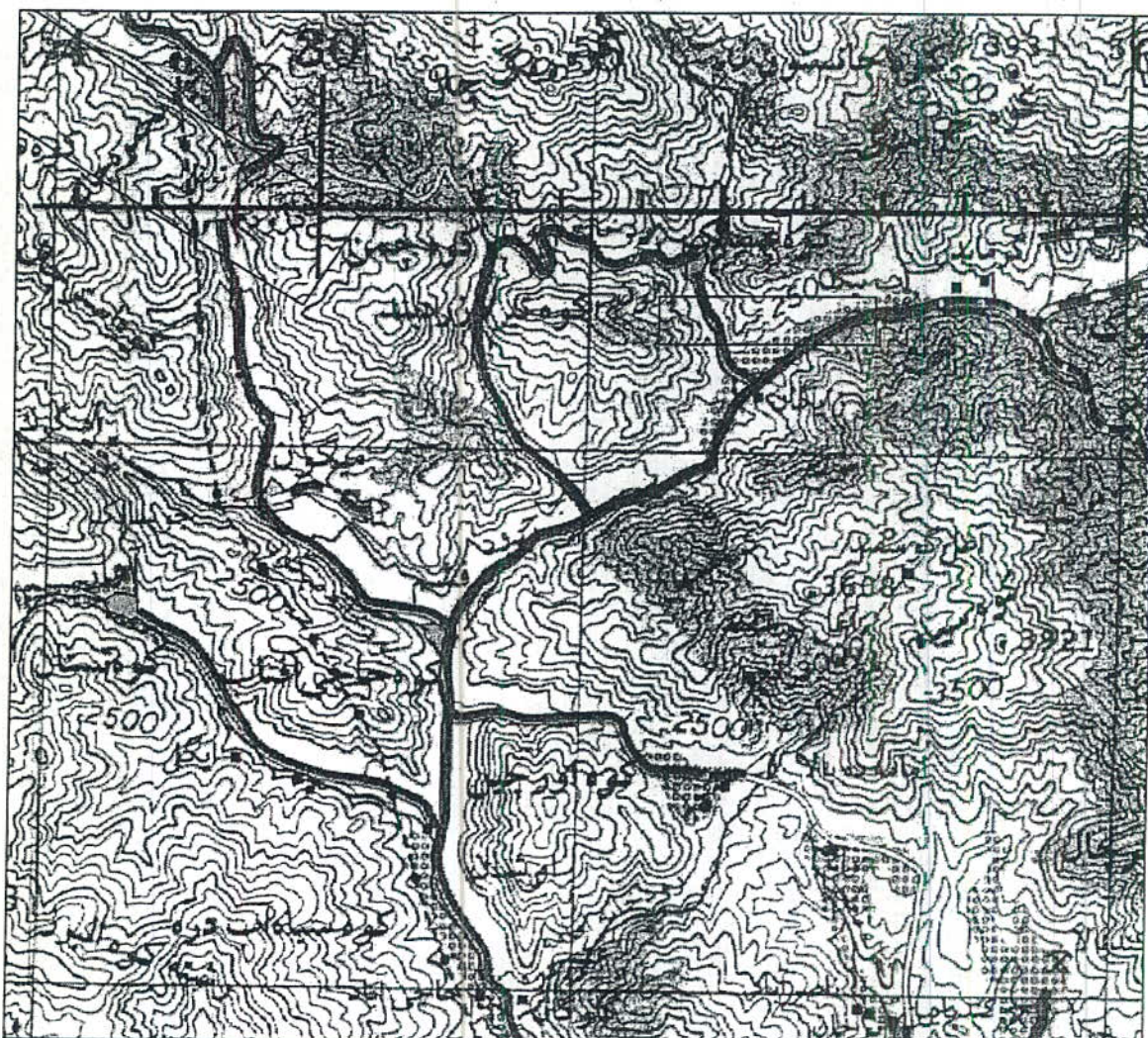
افق معدنی از غرب به ارتفاعات مشرف به دهکده گسیل و از شرق به ارتفاعات مشرف به آبنیک محدود می‌گردد که حد واسط آن از شرق دهکده جیروود تا جنوب دهکده لالون افق فسفاته وجود ندارد.

## ۶-۲- شبکه آبراهه‌ای و پوشش گیاهی محدوده

محدوده مورد مطالعه در یک منطقه کوهستانی واقع گردیده و شبکه آبراهه‌ای آن متنوع و از نوع دندریتیک (Dendritic type) است که در زیر به توصیف آنها پرداخته می‌شود.

رودخانه ولايت رود که با روند شمال غربی - جنوب شرقی در سمت غرب منطقه قرار دارد و از ارتفاعات شمال روستاهای گاجره و شمشک و دربندر سرچشمه گرفته و پس از پیوستن آبراهه‌های مسیر در محل میگون بنام رودخانه میگون نامیده می‌شود.

در سمت شرق منطقه رودخانه‌های زیادتری جاری است. رودخانه‌های ورزآب و آبنیک از شمال روستاهای آبنیک و لالون و رودخانه‌های گرمابدر و سروندي در



شکل شماره (۲-۲) نقشه توپوگرافی ۱۲۵,۰۰۰: ۱۲۵,۰۰۰ امحدوده های معدنی فسفات دار

شمال تهران

جنوب آبیک و شرق گرمابدر و همچنین رودخانه لالون در شمال روستای زاگون پس

از متصل شدن در محل زاگون بنام رودخانه اصلی جاجرود نام می‌گیرد.

قابل ذکر است رودخانه جاجرود در سمت شرق با رودخانه میگون در سمت

غرب در محل شهرستان فشم بنام رودخانه اصلی جاجرود پس از طی مسیر به دریاچه

سد لتيان می‌ريزند.

آبراهه‌های موجود در منطقه به دو دسته اصلی و فرعی تقسیم می‌شوند. نوع

غالب آبراهه‌های اصلی اکثراً "رونده شمال غربی-جنوب شرقی و شمال شرقی-جنوب

غربی دارند. آبراهه‌های فرعی بصورت مختلط هستند یعنی در جهت‌های مختلف

قابل مشاهده می‌باشند و جهت خاصی را نمی‌توان برای آنها در نظر گرفت.

## فصل سوم

# کلیات ماده معدنی فسفات

### ۱-۱-۳ - کانی شناسی

فسفاتهای طبیعی شامل ۲۰۰ گونه کانی شناسی است. یون P به همراه

اکسیژن یک گروه یونی  $\text{PO}_4^{3-}$  تترائدرال تشکیل می دهد. تمام کانیهای فسفاتی از

این کمپلکس آنیونی فسفاتی به عنوان واحد ساختمانی اصلی استفاده می کنند. از

آنجا که فراوانترین کانیهای فسفاتی را گروه آپاتیت تشکیل می دهد، آنها را به دو

گروه آپاتیتی و غیر آپاتیتی تقسیم نموده و سپس بررسی می کنیم.

### ۱-۱-۱-۳ - کانیهای گروه آپاتیت در سنگهای فسفاتی

چون آپاتیت جزء اولین کانیهای تشکیل شده در سنگهای ماغماتیک بوده و سپس تغییر و تحول اساسی پیدا می کند، بهتر است آنها را به آپاتیت های اولیه و تانویه تقسیم نموده و جزء به جزء بررسی نمائیم.

## ۱- کانیهای اولیه گروه آپاتیت (سنگهای آذرین)

در سنگهای ماغماتیک، عمومی‌ترین و فراوانترین کانی فسفاتی، فلوئور آپاتیت ( $\text{Ca}_{10}(\text{PO}_4)_6\text{F}_2$ ) است. این قبیل سنگها به صورت نادر ممکن است در برگیرنده کلرو آپاتیت ( $\text{Ca}_{10}(\text{PO}_4)_6\text{Cl}_2$ ) و تیدروکسی آپاتیت باشند

$$\cdot \text{Ca}_{10}(\text{PO}_4)_6(\text{OH}_2)$$

### - خواص بلور شناسی

این کانی در سیستم هگزاگونال تبلور می‌یابد و اغلب بلورهای آن به حالت منشوری می‌باشد، متداول‌ترین فرم بلور شناسی آن دی‌پیرامیدال (دوهرمی) است و در سطح [0001] کلیواژ ضعیف دارد.

### - خواص نوری

این کانی در مقاطع نازک (نور طبیعی) بی‌رنگ است. در مقاطع طولی سوزنی شکل و در مقاطع عرضی شش گوش است. این کانی برجستگی ضعیف دارد و برجستگی آن فقط کمی بیش از کانادا بالزام است. [سرابی، ۱۳۶۹]

### - خواص فیزیکی

سختی کانی ذکر شده حدود ۵ بوده و وزن مخصوص آن  $۳/۲$  تا  $۳/۱۵$  است. جلای این کانی شیشه‌ای تا صمغی است. رنگ آن در نمونه دستی اغلب سبز تا قهوه‌ای کمرنگ، گاهی آبی یا بنفش و حتی بدون رنگ است.

## ۲- کانیهای ثانویه گروه آپاتیت (سنگهای رسوبی و هوازده)

فراوانترین کانی در فسفاتهای رسوبی، شبیه سنگهای آذرین، فلور آپاتیت است، لیکن کانی مزبور توسط جانشینی‌های ایزومرفیک از کانیهای اولیه قابل تفکیک می‌گردد (Slansky, 1986). چون این گونه جانشینی‌ها تأثیر بسزائی بر ساختمان و شکل کانی دارد و از آنجا که برخی از این جانشینی‌ها عمدت‌تر هستند، بحث فوق را تحت عنوان جانشینی‌های اصلی و جزئی مطالعه می‌کنیم.

### - جانشینی‌های اصلی

یکی از مهمترین انواع جانشینی، موجود در آپاتیتهای رسوبی، جانشینی  $\text{PO}_4^{3-}$  به وسط  $\text{CO}_3^{2-}$  است که با کمک  $\text{F}^-$  به خنثی شدن شبکه بلور کمک می‌کند. مهمترین کانی که بدین صورت حاصل می‌گردد کربنات فلور آپاتیت یا فرانکولیت است. ساده‌ترین فرمول پیشنهادی برای این کانی بصورت زیر خواهد بود:

$$\text{Ca}_{10}[\text{PO}_4]_{6-x}(\text{CO}_3)_x\text{F}_{2-x}$$

عددی که برای  $x$  در نظر گرفته شد، بین  $0/39$  تا  $1/36$  است و مقدار متوسط آن  $0/75$  است، لیکن مقادیر آن تغییرات وسیعی را شامل می‌گردد.

از جمله جانشینی‌های دیگر در آپاتیتهای رسوبی، جانشینی  $\text{Na}^+$  و  $\text{Mg}^{2+}$  به جای  $\text{Ca}^{2+}$  است. این نوع جانشینی هم زمان با جانشینی  $\text{PO}_4^{3-}$  به وسط  $\text{CO}_3^{2-}$  صورت می‌گیرد. این موضوع بخاطر اینست که دو عنصر فوق ( $\text{Mg}, \text{Na}$ ) بخصوص به همراه  $\text{F}^-$  خاصیت خنثی الکتریکی بلور را حفظ می‌کند و توازنی را که توسط  $\text{Na}^+$  به همراه  $\text{F}^-$  خاصیت خنثی الکتریکی بلور را حفظ می‌کند.

جابجایی و جانشینی ضعیف دیگری بین  $\text{F}^-$  و  $\text{OH}^-$  در آپاتیتهای رسوبی صورت می‌پذیرد. وقتی مقادیر درصد وزنی  $\text{F}^-$  زیر ۱ درصد است، آپاتیت، داھالیت یا کربنات ئیدروکسی آپاتیت نامیده می‌شود و فرمول ساختمانی آن بصورت  $\text{Ca}_{10}(\text{PO}_4, \text{CO}_3\text{OH})_6(\text{OH}, \text{F})_2$  استخوانها و دندانهاست. کانی مزبور در گوانوها بیشتر است ولی در فسفاتهای دریایی نیز، کم و بیش یافت می‌گردد.

با توجه به جانشینی‌های اصلی ذکر شده در آپاتیتهای رسوبی، فرمول ساختمانی زیر برای این کانی پیشنهاد شده است.

$$(\text{Ca}, \text{Na}, \text{Mg})_{10}(\text{PO}_4)_{6-x}(\text{CO}_3)_x\text{F}_y(\text{F}, \text{OH})_2$$

در این فرمول  $y$  مقادیر بین  $x/5$  تا  $x/33$  تغییر می‌کند و  $x$  نیز مقادیر صفر تا  $1/5$  را تقبل می‌نماید [Slansky, 1986].

#### - جانشینی‌های جزئی

ساختمان آپاتیت رسوبی بغير از جانشینی‌های اصلی فوق الذکر، پذیرای برخی از عناصر و ترکیبات دیگر می‌باشد. پتاسیم و استرانسیم، از جمله عناصر فوق می‌باشند، لیکن هیچگاه حجم اشغال شده کلسیم توسط این عناصر به بیشتر از ۲ تا ۳ در هزار نمی‌رسد. اورانیم، توریم و عناصر نادر خاکی نیز بصورت خیلی ضعیف جانشین کلسیم می‌گردند. بعضی از محققین جانشینی  $\text{VO}_4, \text{AsO}_4, \text{SO}_4$  را گزارش داده اند. برخی نیز توسط کارهای آزمایشگاهی ثابت کرده اند  $\text{AlO}_4$  و  $\text{Al}$  قادرند به

ترتیب به جای  $\text{Ca PO}_4$  و آپاتیت بنشینند. کانی مربوطه تاکنون در نهشته های رسوبی یافت نشده است (McConnell, 1973).

### ۲-۱-۳- کانیهای غیر آپاتیتی

کانیهای غیر آپاتیتی در سنگهای فسفاتی خیلی زیاد است لیکن اهمیت آنها به اندازه آپاتیت نیست. این کانیها نیز مانند گروه قبلی به دو بخش اولیه و ثانویه قابل تقسیم می باشند.

#### ۱- کانیهای اولیه غیر آپاتیت در سنگهای فسفاتی آذرین

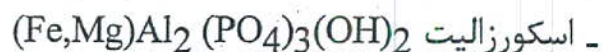
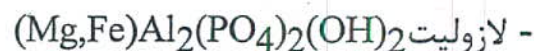
در مراحل مختلف تبلور مagma، بغير از فلوئور آپاتیت کانیهای دیگری نیز بوجود می آيند. برخی از مهمترین این کانیها عبارتند از: مونازیت، آمبليگونیت و لازولین-اسکورزالت.

- مونازیت [  $(\text{Ce}, \text{La}, \text{Y}, \text{Th}) \text{PO}_4$  ]

این کانی جزء کانیهای فرعی در گرانیتها، گنیسها، آپلیت و پگماتیتها است (Klein and Hurlbut 1985). سیستم تبلور آن مونوکلینیک بوده و در مقاطع میکروسکوپی (نور طبیعی) بیرنگ است. بر جستگی این کانی زیاد بوده و معمولاً بلورهای خیلی کوچک دارد. مونازیت بیرفرنژانس بالایی دارد و تقریباً شبیه اسفن است.

### (Li,AlPO<sub>4</sub>)<sub>4</sub> - آمبليگونيت

کانی نامبرده از کانیهای کمیاب در سنگهای پگماتیتی - گرانیتی است. سیستم تبلور آن تری کلینیک است. آمبليگونيت کمیاب بوده از نظر اقتصادی اهمیت ندارد.



کانیهای نامبرده مختص پگماتیتهای دگرگونی غنی از کوارتز هستند. سیستم تبلور این کانیها مونوکلینیک بوده (Klein and Hurlbut 1985) و در مقاطع میکروسکوپی (نور طبیعی) بیرنگ اند. گاهی چند رنگی آبی کم رنگ دارد. برجستگی این کانیها نسبتاً زیاد بوده و بیرفرنژانس بالایی دارند (سرابی ۱۳۶۹).

- ۲- کانیهای ثانویه غیر آپاتیتی در سنگهای فسفاتی رسوبی و هوازده هوازدگی نهشته های فسفات کلسیم و گوانو و دیاژنز در رسوبات دریاچه ای و رودخانه ای ، مهمترین فاکتوری است که مسئول تکامل کانیهای غیر آپاتیتی در سازندهای رسوبی است. آلتراسیون لاتریتی نهشته های فوق به ایجاد کانیهای فسفاتی آلومینینیم دار منتهی می گردد. گونه های مختلف از کانیهای فوق بصورت زیر معرفی شده اند (Slansky, 1986):



- میلیسیت (Millisite)

پالیت (Pallite) نوع آهندار میلیسیت با مقادیر کمی سدیم

$\text{Ca}_2\text{Al}_6 (\text{PO}_4)_4 (\text{OH})_{10} 2\text{H}_2\text{O}$	- کراندالیت (Crandalite)
$\text{Al}_2 (\text{PO}_4) (\text{OH})_3$	- اوژلیت (Augelite)
$\text{Al}_3 (\text{PO}_4)_2 (\text{OH})_3 5\text{H}_2\text{O}$	- واولیت (Wavellite)
$\text{CuAl}_6 (\text{PO}_4)_4 (\text{OH})_8 4\text{H}_2\text{O}$	- تورکواز، فیروزه (Turquoise)

سه کانی اول از همه فراوانترند و واولیت و تورکواز کمیاب می باشند. ترکیب شیمیائی این کانیها بشدت متغیر است زیرا این قبیل کانیها اغلب در برگیرنده Fe و مقادیر Ba, Sr می باشند (Slansky, 1986).

ویویانیت  $[\text{Fe}_3(\text{PO}_4)_2 \cdot 8\text{H}_2\text{O}]$ ، امکان دارد که در پروفیل هوازدگی تظاهر یابد، لیکن این کانی بیشتر در نهشته های رودخانه ای و دریاچه ای یافت می گردد. کانی مزبور ممکن است با ردینزیت همراه باشد. در سنگهای آهکی اشکال فسفاتهای کلسیم دار از قبیل مونتیت  $(\text{CaHPO}_4)$  و یا ویتلوقیت  $[\text{Ca}_3(\text{PO}_4)_2]$  فراوانترند در سنگهای سیلیسی فسفاتهای آلومینیوکلسیک از قبیل کراندالیت یا فسفاتهای آهن و آلومینیم تحت نام مشترک باراندیت حضور دارند.

## ۲-۳ - نهشته های فسفاتی و وزن آنها

تحقیق و بررسی در رابطه با زمین شناسی نهشته های فسفات دار منجر به شناخت منشاء این ماده حیاتی و طبقه بندی عوامل، مؤثر در تکوین آن و ارائه مدل های مناسب در این زمینه گردیده است. استفاده از این مدلها که بر اثر تحقیقات گستردگ

زمین شناسی تعریف شده اند، منجر به شناسائی ذخایر عظیم فسفات در نقاط مختلف گشته است. بدون شک با استفاده از مدلهای شناخته شده و بکارگیری اطلاعات حاصله از ذخایر شناخته شده، می توان ذخایر ناشناخته دیگری را نیز شناسائی نمود. در زیر به اختصار انواع نهشته های فسفاتی و عوامل مؤثر در تکوین و نیز فاکتورهای کنترل کننده آنها بیان می گردد.

### ۱-۲-۳ - فسفات رسوبی

تبیین الگوهای در رابطه با شرایط رسوبگذاری فسفات برای کشف و تشخیص مناطق تکوین آنها بسیار سودمند است. منشاء اینگونه فسفاتها آب دریاست، آبی که در شرایط فشار بالا و دمای پائین از نظر میزان  $P_2O_5$  به حالت اشباع نرسیده است. بدین ترتیب آبهای سرد نظیر آب مناطق عمیق و یا قطبی دارای فسفات محلول بیشتری نسبت به آبهای سطحی و گرم می باشند. بطور کلی نهشته های فسفات دار مختلف در جزئیات متفاوتند ولی فاکتورهای کنترل کننده اصلی در همگی آنها یکسان است. این فاکتورها در تبیین و ساخت مدلهای رسوبی بکار گرفته می شود. عمدۀ ترین فاکتورهای کنترل کننده تشکیل فسفات رسوبی و مهمترین مدلهای آن بدین شرح بیان می گردد.

#### ۱- ویژگیهای عمومی ذخایر فسفات رسوبی

- حجم ذخایر فسفات رسوبی

حجم اینگونه نهشته ها (فسفات رسوبی) عموماً بسیار زیاد است، بطوریکه ذخایر آنها متجاوز از میلیارد تن و منابع شناخته شده آنها بالغ بر صدها میلیارد تن می باشد.

### - زمانهای فسفات زائی

الف- پروتزوژئیک پایانی-کامبرین آغازی

ب- پرمین پایانی

پ- کرتاسه پایانی-ائوسن آغازی

ج- میوسن

این حقیقت که ذخایر فسفات رسوبی پر عیار و با کمیت قابل توجه در دوره های محدودی از تاریخ زمین تکوین یافته اند، موجب می گردد که جستجو جهت کشف اینگونه ذخایر بروی رسوبات متعلق به دوره های یاد شده مرکز گردد.

### جغرافیای دیرینه

فسفاتها در عرضهای جغرافیائی پائین در آبهای کم عمق فلات قاره و یا آبهای عمیق تر نواحی مجاور فلات قاره ته نشین شده اند.

جغرافیای دیرینه و نیز دیرینه اقیانوس شناسی بعنوان ابزار عمدی در کشف ذخایر فسفات مورد استفاده قرار میگیرند. به استناد تحقیقات بعمل آمده ذخایر فسفات در امتداد عرضهای جغرافیای دیرینه ۴۰ درجه و عرضهای مجاور ته نشین گشته است (Shelbon, R.P. 1964). بعلاوه عمدی ترین فسفات شناخته شده نشانه

هائی دال بر تکوین در آبهای کم عمق در امتداد حاشیه فلات قاره و یا نواحی مجاور عمیقتر از خود نشان می دهد.

#### - ساختمان

این ماده معدنی در حوضه های رسوی گستردگی کم عمق و پایدار از لحاظ تکتونیکی در ارتباط با جریانات اقیانوسی بوده و میزان رسوبگذاری مواد تخریبی در آنها حداقل ، می باشد.

وضعیت ساختمانی و تکتونیک ناحیه ای حوضه رسوی نیز عنوان یک راهنمای اکتشافی ارزشمند در اکتشاف این ماده معدنی مورد توجه قرار می گیرد. از این لحاظ که بخش عمدی فسفات رسوی شناخته شده در حاشیه فلات قاره و در مناطقی که در ارتباط با جریانات اقیانوسی بوده اند و نیز در زمان حداقل ته نشینی مواد آواری، تشکیل یافته اند. بعلاوه این ذخایر در تله های رسوبگذاری وسیع و کم عمق که بوسیله ساختهای محلی و یا بلندی های توپوگرافیکی کنترل می شوند، محصور شده و تکوین یافته اند.

#### - شکل

نهشته های فسفاتی لایه ای هستند و مناطق وسیعی را می پوشانند. مساحت این مناطق غالباً بالغ بر هزاران کیلو متر است. دانه های فسفاتی عموماً پلتی بوده و کانی تشکیل دهنده آن کربنات فلور آپاتیت (فرانکولیت) می باشد.

ذخایر عمدی فسفات رسوی لایه ای شکل هستند و در مناطقی که از لحاظ تکتونیکی برای زمانی نسبتاً طولانی آرام بوده، ته نشین شده اند. از آنجاییکه فسفات

معمولا با شیل سیاه، سنگهای کربناتی آلی و دیاتومه ای همراه است، پیجوانی آن در چنین سکانسی توجیه پذیر می باشد.

## ۲- الگوهای ژنتیکی تشکیل فسفات رسوبی

الگوهای ژنتیکی نحوه نهشته شدن و محل تکوین فسفات، بر اساس عوامل مختلفی بازسازی شده و مطلق نمی باشند. لذا پژوهشگران برای کشف اینگونه ذخایر، الگوهای ارائه شده را با توجه به شرایط محلی بکار می گیرند. ذیلاً عمدت ترین الگوهای مورد قبول در فرآیند تشکیل فسفات که بوسیله عوامل اصلی گروه بندی شده اند، ارائه می گردد:

**الگوی اول**- فسفات تکوین یافته در امتداد حاشیه کم عمق سواحل غربی قاره ها: اکثر پژوهشگران معتقدند که تشکیل اینگونه ذخایر در ارتباط با پدیده فورانی (Upwelling) می باشد و سنگهای در برگیرنده آنها شامل شیلهای سیاه، چرت و سنگهای کربناتی غنی از مواد آلی است (Christie, R.L. et al., 1979). این گونه نهشته ها در غرب آمریکا و همچنین در پرو و مکزیک زیاد دیده می شوند.

**الگوی دوم**- فسفات نهشته شده در امتداد شرقی - غربی حاشیه کم عمق قاره ها: این نهشته ها که بنام نهشته های Tethian معروفند، در امتداد حاشیه قاره هائی که امتداد شمال-جنوب دارند تکوین نیافته اند، بلکه در بخش جنوبی حاشیه کم عمق با امتداد شرقی - غربی، قاره های نیمکره شمالی (در امتداد دریای تیس) و یا در امتداد بخش شمالی نیمکره جنوبی نهشته شده اند. جریانات اقیانوسی

فورانی منبع تأمین فسفر اینگونه رسوبات محسوب می‌گردند. این الگو گروه وسیعی از ذخایر فسفات شناخته شده را در بر می‌گیرد.

**الگوی سوم- فسفات نهشته شده در امتداد حاشیه کم عمق ساحل شرقی:** نقش جریانات فورانی در تأمین فسفر اینگونه نهشته‌ها بخوبی روشن نیست. برخی معتقدند جریانات اقیانوسی ناشی از ناهمواریهای کف اقیانوس و جریانات آبهای سرد قطبی و اختلاط آنها با آبهای گرم سطحی از عوامل اصلی تمرکز فسفر در این رسوبات است. ردیف سنگهای در بر گیرنده شامل رسهای غنی از منیزیم، دولومیت، گلوكونیت و مواد دیاتومه‌ای است. بهترین مثال از این نوع فسفات، ذخایر فسفات میوسن در ایالت فسفرزائی ساحل اقیانوس اطلس در ایالات متحده آمریکا را می‌توان نام برد.

**الگوی چهارم- نهشته‌های فسفات پلاتفرمی:** نهشته‌های پلاتفرمی غالباً بصورت ذخایر کوچک عدسی شکل و در محل نبودهای چینه شناسی تکوین یافته و سنگهای میزبان آنها شامل شیل و آهک می‌باشد. در اینگونه ذخایر تناوبی از لایه‌های فسفاتی و لایه‌های غیر معدنی مشاهده می‌گردد. دانه‌های فسفاتی در آنها بزرگتر از دانه‌های تشکیل دهنده زمینه سنگ می‌باشد. بهره برداری از اینگونه ذخایر غالباً غیر اقتصادیست و فقط در زمینه‌های کشاورزی محلی مورد استفاده قرار می‌گیرند. اگر چه حجم کلی ذخایر فسفات پلاتفرمی زیاد است ولی میزان  $P_2O_5$  در واحد سطح در آنها کم است و از اینرو نمی‌توان آنها را بعنوان اهداف قابل بهره

برداری در نظر گرفت. فسفات حوضه لندن بویژه گچ های فسفاتی زیرین با سن کرتاسه بالایی در این الگو جای می گیرد.

الگوی پنجم- نهشته های گرهکی پشته ها و جلگه های مرتفع: این نوع فسفات در نواحی نسبتاً عمیق که عمق آنها به چند صدمتر نیز بالغ می گردد، تشکیل می گردند. نمونه هائی از این گروه شامل نهشته هایی در زلاندنو و افریقای جنوبی می باشد.

الگوی ششم- فسفات جزایر اقیانوسی: اینگونه نهشته ها در جزایر نواحی استوایی تکوین یافته اند. جایگزینی فسفر فضولات پرنده گان دریائی در سنگهای آهکی-مرجانی، موجب تشکیل آنها شده است. نمونه اینگونه نهشته ها، ذخایر فسفات جزایر اقیانوس آرام است (Christie, et al., 1979).

الگوی هفتم- بر حسب دوره های فسفات زائی: در این الگو کلیه ذخایر فسفات شناخته شده جهان با سن میوسن، کامبرین و پروتوروزئیک جای می گیرند.

الگوی هشتم- نهشته های استروماتولیتی متعلق به پروتوروزئیک: این نوع فسفات در حال حاضر فقط در هند شناخته شده ولی در دیگر مناطق جهان نیز می تواند وجود داشته باشد.

الگوی نهم- نهشته های فسفریت ناپیوستگیها: شامل ذخایر فسفریتی کوچک می باشد. این نهشته ها غالباً نازک و وسیع بوده و بطور گسترده در سنگهای مربوط به

زمانهای مختلف تشکیل شده اند. تشکیل این نهشته ها طی مراحل افت رسوبگذاری و در سطوح فرسایش و ناپیوستگی صورت گرفته است.

الگوی دهم- طبقات استخوانی فسیل شده: نهشته های تریاس در جنوب آلمان و نهشته های روسیه از این الگو می باشند.

مدلهای فسفات زائی در انتخاب نواحی مناسب جهت کشف فسفات رسوبی ابزار بسیار مفیدی بحساب می آیند. اما از آنجایی که به استناد این مدلها فقط می توان مناطقی با وسعت هزاران کیلومتر مربع را بعنوان مناطق مستعد در نظر گرفت، لذا محدود کردن محلهای دقیق وقوع کانسار با استفاده از روشها و تکنیکهای تکمیلی صورت می گیرد.

فسفاتهای دریائی عموماً محتوی اورانیم بیش از حد زمینه هستند. این امر سبب می شود که اینگونه نهشته ها در مناطقی که پوشش آنها کمتر از یک متر باشد، با استفاده از روش رادیومتری هوایی بطور مؤثر مورد شناسائی قرار گیرند. استفاده از روش سنجش اشعه گاما در چاههای که بمنظورهای مختلف (مانند چاههای آب) حفر شده اند، می تواند در تشخیص نهشته های فسفاتی عمقی مؤثر باشد. آبهای سطحی جاری در مناطق فسفات دار در ایالت فلوریدا آنومالی بالائی از اورانیم را نشان می دهد. همچنین فرسایش رودخانه ای نهشته های فسفاتی منجر به انباشتگی دانه ها و ندولهای فسفاتی (بدلیل بالا بودن وزن مخصوص فسفات نسبت به سنگهای همراه) بصورت سدهای در امتداد رودخانه ها می گردد. این انباشتگی ها در فصولی که سطح آب پائین است قابل روئیت می باشند. همچنین می توان آنها را بوسیله رادیومتری

هوایی تشخیص داد. اخیرا نیز با استفاده از مدلهای شناخته شده و اطلاعات موجود و نیز با روش همسان سازی اطلاعات با کمک نرم افزار، اکتشاف این مواد معدنی بكمک تصاویر ماهواره ای امکان پذیر شده است.

### ۲-۲-۳ - فسفات با منشاء آذرین

در سالهای اخیر اطلاعات قابل توجهی در مورد زمین شناسی فسفات آذرین و نحوه تشکیل و توزیع آنها در مناطق مختلف جهان گردآوری شده است. ذخایر اقتصادی فسفات آذرین بصورت توodeh های نفوذی و یا رگه های هیدروترمال و یا بصورت نهشته های حاصل از تفريق سنگهای آذرین آلکالن مانند ایژولیت، نفلین سینیت، پیروکسنیت و کربناتیت تشکیل یافته اند. این توodeh های نفوذی بشکل حلقوی و یا بیضوی دیده می شوند. ذخایر آپاتیت کربناتیتی در امتداد ریفت ها تشکیل می شوند. کانی تشکیل دهنده فسفات آذرین اغلب هیدروکسی فلوئور آپاتیت است و فقط بندرت در بعضی کانسارها میزان کلر در آن قابل توجه می باشد. کانیهای همراه با آپاتیت غالبا شامل ورمیکولیت، آناتاز، پیروکلر و عناصر خاکهای نادر می باشند که بعنوان محصولات جانبی و با ارزش همراه با آپاتیت مورد توجهه برداری قرار می گیرند. بعنوان مثال کربناتیتهای بزریل محتوى مقادیر قابل توجهی از ورمیکولیت، آناتاز، عناصر خاکی نادر و نیوبیوم هستند که از آنها بعنوان محصولات جانبی بهره برداری می گردد. همچنین در ایران کانسار آهن-آپاتیت اسفوردی دارای مقادیر قابل توجهی از عناصر خاکی نادر (مونازیت و انستازیت) می باشد.

فسفات آذرین همانطوری که بیان شد در سنگهای آذرین آلکالن و به شکل توده های حلقوی یا بیضوی تمرکز می یابد. همچنین کربناتیت ها نیز می توانند تمرکزی از آپاتیت داشته باشند، از اینرو مطالعه این توده ها و نیز مطالعه مناطق دارای سنگهای آلکالن با استفاده از روش های مختلف نظریه ژئوفیزیک هوایی (مغناطیس سنجی) می تواند در شناسائی محل تمرکز آپاتیت کمک نماید. ذیلا مهمنترین تیپ سنگهای آذرین آپاتیت دار و نیز کانسارهای شناخته شده مربوط به آنها بیان می گردد:

- سنگهای ایژولیتی-اورتیتی(نفلین-آژیرین، آپاتیت-اسفن، فلدسپات). کانسار مربوطه: Khibiny در شوروی سابق.
- فوسکوریت(آپاتیت-اولیوین و آپاتیت-اولوین-منیتیت). کانسار مربوطه: کانسار در آفریقای جنوبی Palabora.
- پیروکسنیت های غنی از آپاتیت، کانسار مربوطه: کانسار Palabora در آفریقای جنوبی.
- کربناتیت. کانسار مربوطه: کانسارهای Araza, Catalao در برزیل.
- رگه های آپاتیت-منیتیت و کانسنگ های آهن فسفردار. کانسار مربوطه: اسفوردی در ایران.

### ۳-۲-۳- گوانوها و نهشته های مشتق از آنها

نهشته های گوانو که حاصل مدفوع پرندگان دریائی و یا خفاشها می باشند، عموما از لحاظ کمی کوچکند. عمدۀ ترین کانسار شناخته شده گوانو در صحراي پرو قرار دارد که میزان تولید آن از چند هزار تن تجاوز نمی کند. نحوه تشکیل گوانو بدین ترتیب است که فسفر موجود در آب دریا و در امتداد سواحلی که پدیده فوران (Upwelling) در آنها جریان دارد بوسیله موجودات میکروسکوپی جذب می گردد. فسفر جذب شده توسط این موجودات بر اثر تغذیه پرندگان ، خفاشها و پستانداران موجود در اطراف این مناطق از موجودات مذکور، وارد سیستم بیولوژیکی آنها گشته و با مدفوع آنها بصورت گلوله های Coprolite و یا پلت های Fecal دفع و بر اثر انباشتگی منجر به تکوین گوانو می گردد (فیض نیا، س. ۱۳۷۱).

نهشته های فسفاتی مشتق از گوانو در غارهای آهکی نقاط مختلف جهان شناسائی شده اند ولی این نهشته ها ذخایر محدودی در حد چند هزار تن را تشکیل می دهند.

### ۴-۲-۳- نهشته های ثانویه دیگر

نهشته های فسفاتی ثانویه که بر اثر عمل لیچینگ فسفریتها حاصل می شوند، در مناطق متعددی از جهان وجود دارند. از مهمترین ذخایر فسفات ثانویه، ذخایر آلومینیم فسفات سنگال می باشد که بر اثر عمل هوازدگی لاتریتی آپاتیت اولیه

حاصل شده است. نوع دیگر این گونه نهشته ها بر اثر جانشینی فسفر محلول در سنگهای آهکی حاصل می شود البته این نهشته از لحاظ حجم، کوچک محسوب می شود و ارزش اقتصادی لازم را ندارد.

### ۳-۳- ذخائر و منابع فسفات رسوبی دونین فوکانی در ایران

در مقیاس جهانی این نوع فسفات از گسترش محدودی برخوردار است، بطوری که می توان گفت مهمترین حادثه فسفات زایی در این دوره از تاریخ زمین شناسی جهان در منطقه ایران و ارمنستان روی داده است. علاوه بر آن در شمال باختری پلاتفرم سibirی و پلاتفرم روسیه منابعی از این تیپ فسفات شناسائی شده است. در کشور چین لایه ای با ضخامت ۵ متر و عیاری متغیر بین ۸ تا ۱۸ درصد  $P_2O_5$  با همین سن کشف گردیده است. در کشور تایلند نیز ذخیره ای از سنگ فسفات متعلق به دونین شناسائی شده است. در ایالت تنسی آمریکا، ماسه سنگهای فسفات دونین در میان واحد شیلی جای دارد. در ایران این نوع فسفات در سازند جیروود در البرز مرکزی و سازندهای هم ارز در دیگر مناطق کشور شناسائی شده اند.

جدول شماره (۱-۳) مهمترین کانسارها و اندیشهای فسفات رسوبی دونین بالایی ایران را نشان می دهد.

تاریخچه کشف فسفات بالایی ایران به سال ۱۳۴۲ باز می گردد (موجه اول ۱۹۶۶) در آن زمان کارشناسان زمین شناسی کشور در چهار چوب یک برنامه اکتشافی وسیع موفق به کشف اولین منابع فسفات در دره جیروود و در منطقه

فیروزکوه گردیده اند. اکتشاف این نوع فسفات متعاقباً توسط افراد و سازمانهای مختلف در سراسر کشور پیگیری گردید بطوریکه در حال حاضر می‌توان گفت که پوشش اکتشافی نهشته‌های دونین فوچانی در سراسر کشور تکمیل شده است.

### جدول شماره (۱-۳)- کانسارها و اندیسه‌های فسفات دونین بالایی ایران

منطقه	کانسار	اندیس
شمال تهران	جیروود، گسیل، لالون	-
دماوند	-	دریاچه تار، امامزاده هاشم، اردینه
فیروزکوه	گدوک، دوگل، چالمیش، پاقلعه	-
شهرورد	دهملا، مرگدر	-
دامغان	-	کوه زنگی، کوه شوراب
آذربایجان	-	ماکو
یزد	-	بنه اولیک
کرمان	-	کوه زنگو، ده ذکاد، کوه تیزی، گسک
زاگرس	-	فراقون

### ۴-۳- تاریخچه اکتشاف در محدوده مورد مطالعه شمال تهران

اولین بار در سال ۱۹۵۹ میلادی تحقیقات وسیعی توسط Assereto از دانشگاه

میلان در منطقه ای بین دره کرج تا توده آذربین دماوند شروع شد که گزارش آن در

سال ۱۹۶۳ میلادی منتشر گردید. در این مطالعات ضمن بررسی و برداشتهای زمین شناسی، تعداد ۳۰ مقطع برداشت شده است. مقطع تیپ سازند جیرود به ضخامت ۷۵۰ متر (فرازین بالائی-کربونیفرزیرین) که بین سازند میلا و درود قرار گرفته است، مجموعه سنگهای شامل پروتو کوارتزیت خاکستری رنگ، شیل های سیاهرنگ، آهک های فسیلدار، ماسه سنگ و بازالت و یک کنگلومرای سبز رنگ و غیره معرفی شده است.

در گزارش‌های فوق، آسرتو Assereto (۱۹۶۳) هیچگونه اشاره‌ای به آثار فسفات در این منطقه ننموده است (به لایه‌ای از آهن الیتی - پیزولیتی اشاره شده است). لیکن دلنجذاب در سال ۱۹۶۴ در گزارش خود به قطعات فسفات در کوارتزیت و ماسه سنگهای پالئوزوئیک در کوههای البرز و در دره‌های مبارک-لالون و لتیان در شرق تهران اشاره نموده است.

نظر به اهمیت سنگهای پالئوزوئیک در کوههای البرز، با پیشنهاد آقای مهندس نصرالله خادم رئیس وقت سازمان زمین شناسی در رابطه با فسفات، دکتر Sheldon از سازمان زمین شناسی ایالت متحده امریکا در تابستان ۱۹۶۵ به ایران دعوت شد. مطالعاتی بر روی سنگهای پالئوزوئیک که قبل از توسط اشتوكلین-دوتنه-نبوی تشریح شده بود، انجام داد. نامبرده نقاط مختلف را برای جستجو پیشنهاد نمود و بیشتر توجه وی معطوف به شیلهای سیاهرنگ به همراه چرت و دولومیتهای بخش شیل چپکلو مربوط به پرکامبرین پسین یا کامبرین پائینی بوده است.

در ژوئیه ۱۹۶۵ دکتر شلدون بهمراه موحد و صمیمی از سازمان زمین شناسی ایران، یک بازدید مقدماتی از شیلهای چپللو و سازند باروت و زاگون، ماسه سنگ لالون، سازند میلا و جیروود انجام دادند. اما در این بررسی آنها موفق به کشف فسفات قابل توجهی نشدند.

پس از عزیمت دکتر شلدون، موحد و صمیمی با متدهای ژئوشیمی صحرائی و با به کار بردن معرف مولیبدو و آنادات سدیم به جستجو ادامه دادند. در تاریخ ۲۷ ژوئیه ۱۹۶۵ آنها موفق به پیدا کردن افق حاوی پلتهای سیاهرنگ فسفاته در قسمت تحتانی سازند جیروود در دره لالون شدند. در ماه اوت همان سال یک لایه دو متری با درصد قابل توجهی از فسفات در شرق رودخانه، در دهکده جیروود را کشف نمودند. آنگاه در تاریخ ۱۰ اوت ۱۹۶۵ موحد به اتفاق قاسمی پور از نقطه اصلی شروع به تعقیب افق مذکور و همچنین حفر چند ترانشه و نمونه گیری کردند.

سپس مطالعاتی در سال ۱۹۶۶ توسط صمیمی و شاد بطرف شرق البرز و در پالئوزوئیک ایران مرکزی انجام شد. لیکن در تمام این مناطق تغییر رخساره‌ها در دونین بالائی مانع از تشکیل متصل و مداوم افق فسفات دار گردیده است. در ادامه همین عملیات موحد توجه خود را بطرف مناطق جابن و فیروزکوه معطوف نمود. او در امتداد افق فسفات بسمت شرق البرز ترانشه‌هایی با طول مختلف حفر کرد. ضمناً افق مذکور بعدها در منطقه یزد و سپس در منطقه وسیعی در جنوب شرق کرمان تا بندر عباس دنبال شد.

بطور کلی عملیاتی که روی فسفات جیرود تا قبل از اعزام اکیپ طرح اکتشاف فسفات انجام گردیده و گزارش شده است، به قرار زیر می باشد:

**حفر ۱۴** ترانشه، تعداد سه حلقه گمانه حفاری تا عمق ۱۰۰ متری در دره جیرود و لالون، حفر یک تونل اکتشافی بطول ۱۸۰ متر در مجاورت دهکده جیرود، اندازه گیری مقاطع، نمونه گیری ترانشه ها، آزمایشگاهی لازم و ... می باشد که گزارش بطور مجزا و در گزارش شماره ۱۰ سازمان زمین شناسی بنام نخستین کشف ذخایر فسفات در ایران موجود می باشد. در سال ۱۳۵۷ یک شرکت فرانسوی بصورت پیمانکار شرکت مهندسان مشاورژئومتال ایرانی بنام B.R.G.M، تحت عنوان اکتشافات فسفات در ایران، یک سری مطالعاتی را در سطح کشور و منجمله در البرز مرکزی شروع کردند که گزارش آن تحت عنوان پروژه شماره ۲ گزارش شده است ولی این گزارش در دسترس نمی باشد.

با تشکیل طرح اکتشافات فسفات، فعالیتهای پیگردی در سراسر ایران شروع شد، منجمله همین افق در سال ۱۳۶۲ و دیگر نقاط تعقیب گردیده و مناطقی نیز شناسایی شدند.

## فصل چهارم

# زمین شناسی عمومی منطقه

### ۱-۴ - زون بندی منطقه

منطقه عمومی مورد مطالعه از لحاظ تقسیمات زمین ساختی ایران در زون البرز قرار می گیرد . سلسله جبال البرز خود جزوی از قسمت شمالی کوههای آلپ - هیمانیا در آسیای غربی به شمار می رود . این رشته کوه از شمال به بلوک فرو رفته کاسپین و از جنوب به فلات ایران مرکزی محدود می شود .

زون البرز در طول امتداد خود اختصاصات چینه شناسی و تکتونیکی یکنواختی ندارد و به همین دلیل به واحدهای مختلفی تقسیم می شود .

با توجه به گستردگی سلسله جبال البرز که از آذربایجان تا خراسان ادامه می یابد، این واحد ساختمانی در تمام گستره خود از حیث چینه شناسی و زمین شناسی ساختمانی دارای اختصاصات یکسانی نمی باشد ، به همین دلیل محققین مختلف این رشته کوهها را از نظر زمین شناسی ساختمانی به واحدهای مختلف تقسیم بندی کرده اند که در اینجا فقط تقسیم بندی آنگالن، ۱۹۶۸ به صورت فهرست وار اشاره می شود.(شکل شماره ۱-۴).

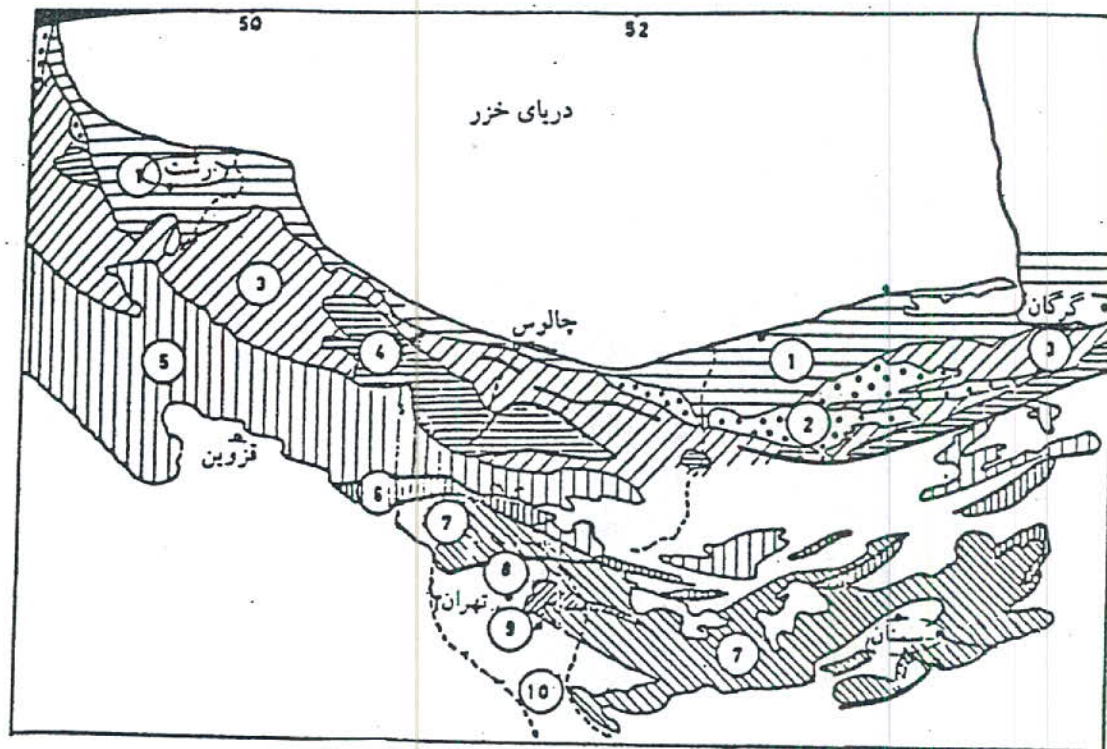
- ۶- زون پالئو-مزوزوئیک جنوبی .
- ۷ - زون ترشیر جنوبی .
- ۸- سنکلینوریوم میانی .
- ۹- آنتی البرز .
- ۱۰- ایران مرکزی .
- ۱- دشت ساحلی خزر .
- ۲- زون ترشیر خزر .
- ۳- نوار چین خورده حاشیه شمالی .
- ۴- رشته پالئوزوئیک مرکزی .
- ۵- زون ترشیر مرکزی .

از نظر تقسیمات زمین ساختی این منطقه در زون البرز مرکزی قرار گرفته است . البرز مرکزی ، تحدب جنوبی دریای خزر را شامل می شود و از سمنان تا قزوین ادامه دارد . بخش شمالی این زون را البرز شمالی می نامند که واحد زمین شناسی جداگانه ای بوده و گاهی با نام زون گرگان - رشت از آن یاد می شود .

بخش مرکزی البرز که زمین شناسی آن بهتر مطالعه شده است، دارای ساختمانی جداگانه بوده و غالباً "با نام البرز مرکزی و جنوبی معرفی می شود .

سلسله جبال البرز در دامنه جنوبی خود نه تنها از نظر ساختمان زمین بلکه از نظر چینه شناسی با ایران مرکزی شباهت دارد . در حالی که دامنه شمالی و جنوبی آن دارای اختلافات فاحشی است، بطوریکه به عنوان مثال بیشترین بخش دامنه شمالی البرز عاری از وجود رسوبات پالئوسن و توف های سبز ائوسن است.

زون جنوبی - مرکزی که محدوده مورد مطالعه در این زون واقع است، شامل رسوبات کم عمق که تقریباً "از کامبرین آغازی تا کرتاسه بالایی ادامه دارد و توسط ولکانیک های ضخیم دوران سنوزوئیک خصوصاً" ائوسن پوشیده شده است . روراندگی (Thrusting) مهم بعد از ائوسن در این زون مشاهده می شود.



- ۱- دشت ساحلی خزر .
- ۲- زون ترشیر خزر .
- ۳- نوار چین خورده حاشیه شمالی .
- ۴- رشته پالئوزوئیک مرکزی .
- ۵- زون ترشیر مرکزی .
- ۶- زون پالئو-مزوزونیک جنوبی .
- ۷- زون ترشیر جنوبی .
- ۸- سنتکلینوریوم میانی .
- ۹- آنتی البرز .
- ۱۰- ایران مرکزی .

شکل شماره (۱-۴) واحد های اصلی ساختمانی البرز مرکزی (آنگالن، ۱۹۶۸)

## ۲-۴- جغرافیای دیرینه

### ۱-۲-۴- فعالیت های کوهزائی، آتشفشنایی و مagmaتیسم در منطقه

در البرز رسوبات دگرگون شده پرکامبرین در اطراف علم کوه، ناحیه تکاب و غرب زنجان دیده شده است و در آنها توده های نفوذی گرانیت دوران و سنگ های آتشفشنای ریولیت های قره داش دیده می شود که آنها را به پرکامبرین پسین نسبت می دهند. پس از آن و در پالئوزوئیک در گوشش شمال غرب ایران به سنگ های دگرگونی ناشی از فاز کوهزائی کالدونین بر می خوریم که به وسیله رسوبات دونین پوشیده شده اند. رسوبات کربونیفر میانی و فوقانی در قسمت اعظم این زون دیده نمی شود.

وجود رسوبات زغالسنگی لیاس در قسمت اعظم این بخش، نشان دهنده حرکات تریاس و بالا آمدگی زمین است. وجود عدسه‌های بازالتی فرسوده (ملافیر) در داخل رسوبات تریاس بالایی و لیاس، احتمالاً "تجدید فعالیت گسل ها و کشش پوسته قاره ای را پس از حرکات کمپرسیونی کیمرین پسین نشان می دهد.

رسوبات کرتاسه نیز، به طور ناپیوستگی هم شیب بر روی رسوبات قدیمیتر از خود قرار گرفته اند. در اواخر کرتاسه، فعالیت آتشفشنای وسیعی در تمام این بخش از کشور رخ داده است.

طی دوران سنوزوئیک، این زون به شدت تحت تأثیر فازهای کوهزایی آلپی قرار داشته است و فعالیتهای آتشفشنای ائوسن در تمام طول آن دوران دیده می شود

طی دوران سنوزئیک، این زون به شدت تحت تأثیر فازهای کوهزایی آلپی قرار داشته است و فعالیتهای آتشفسانی اثوسن در تمام طول آن دوران دیده می شود و هر قدر به سمت مغرب متوجه می شویم، بر شدت این فعالیت افزوده می گردد. البرز مرکزی در این مدت در حال فرونشینی تدریجی نیز بوده و در آن رسوبات آذر آواری خاصی (توفیت های سبز البرز) در بخش اعظم آن در حال تشکیل شدن، بوده است و در عین حال رسوبات تبخیری نیز در برخی نقاط ته نشین شده است.

طی الیگوسن آغازی فعالیت ماقماییسم به صورت توده های نفوذی متعدد و با ترکیبات متنوع در اکثر نقاط البرز و آذربایجان دیده می شود. از این نوع توده های ماقمایی می توان توده های اطراف تهران، قزوین، تاکستان، زنجان، میانه و اطراف سبلان که بیشتر گرانیتی و برخی سینیتی بوده اند را نام برد. رسوبات الیگو- میوسن تنها در بخش جنوبی البرز دیده می شود که علاوه بر فعالیتهای ماقمایی مورد اشاره در این بخش، آهک، مارن، رسوبات تبخیری نیز به صورت پراکنده در آن وجود دارد. سرانجام توده های نفوذی علم کوه و آتشفسان عظیم دماوند و سبلان نشانه ای از ادامه آخرین فعالیت ماقماییسم در این زون است.

#### ۲-۲-۴- گسترش رخساره های دونین بالایی

عقب نشینی دریایی عمدہ ای که طی سیلورین و دونین پائینی صورت گرفته بود، پیشروی دریایی مختصری در اتنای دونین میانی را به دنبال داشت. این پیشروی در دونین بالائی سریعاً "گسترش یافت بطوری که در این زمان تقریباً" نیمی از ایران تحت پوشش دو قلمرو دریایی جداگانه قرار گرفت. حوضه دریایی آزاد و وسیع خزر که

نواحی شمال و شمال شرقی ایران را می پوشاند و حوضه پهناور ایران مرکزی که به شکل خلیج گلابی شکل عریض که در جهت شمال شرقی به دریای آزاد شمال خراسان متصل می شد.

حوضه دریایی ایران مرکزی بوسیله برآمدگی (Horst) نائین به دو بخش تقسیم می شد. در غرب آن حوضه کویر بزرگ که از طریق خلیج کرمان در جهت جنوب شرقی ادامه می یافت و در شرق حوضه فرو نشیننده طبس که از طریق خلیج طبس در جهت جنوب ادامه پیدا می کرد (BRGM, 1979). بدین ترتیب در میان نهشته های دونین بالائی سه رخساره متفاوت قابل تمیز است.

#### - رخساره بخش A سازند جیروود

این رخساره با تناوب شیل و کوارتزیت و میان لایه های آهکی مشخص می شود که در رأس آن طبقات ماسه سنگی حاوی بقایای گیاهی و گدازه های بازالتی نمود دارند. این رخساره منعکس کننده محیطی ساحلی با شرایط رسوب گذاری متغیر می باشد که بخش عمده آن را نهشته هایی با منشأ قاره ای تشکیل می دهند. رخساره مذکور مناطق وسیعی را در البرز مرکزی و در تمام نواحی شمالی گسل عطاری تا دامغان و نیز در نواحی غربی ایران تا آذربایجان شرقی را می پوشاند. همچنین نواحی متعددی از ایران مرکزی نظیر شمال شرقی اصفهان، آباده و ده بید، در منطقه یزد - اردکان در امتداد مرز جنوبی هورست نائین و در خلیج کرمان رخساره بخش A سازند جیروود دیده می شود.

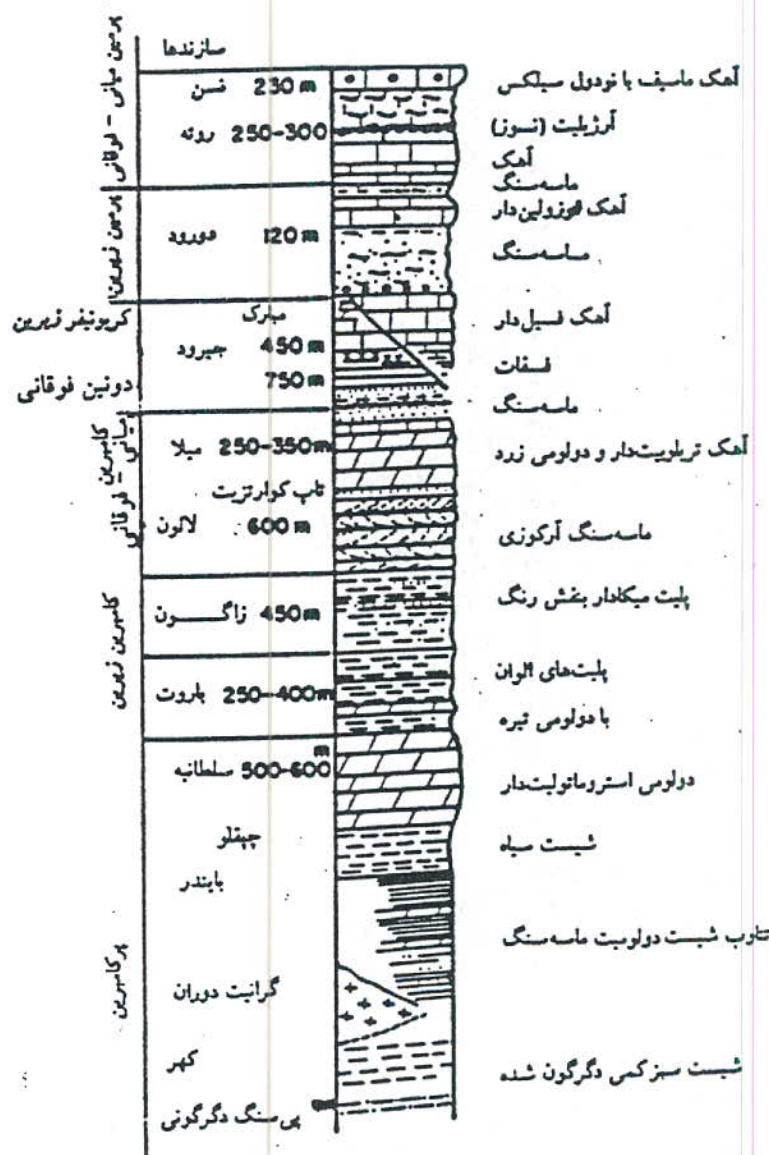
### - رخساره خوش بیلاق

این رخساره که امتداد شرقی رخساره جیروود شمال دامغان و شرق شهرود را تشکیل می‌دهد و در سراسر بخش شرقی رشته کوههای البرز دیده می‌شود. رخساره خوش بیلاق در یک محیط سکویی که رسوبات قاره‌ای را از جهت جنوب دریافت می‌کرده و در جهت شمال به قلمرو دریایی متصل بوده، نهشته شده است (شکل شماره ۴-۲).

### - رخساره ازبک کوه

این رخساره غالباً "مارنی" و آهکی است و منعکس کننده حوضه‌های رسوبی دریایی فرونژیننده می‌باشد و در مناطقی نظیر قسمت جنوبی گسل عطاری و گرابن طبس دیده می‌شود.

از میان سه رخساره فسفاتی که شرح آن در قسمتهای قبل آمده است، رخساره جیروود از لحاظ فسفات زایی حائز شرایط لازم است. این رخساره در یک محیط دریایی کم عمق تکوین یافته و جریانات دریایی، آب‌های سرد نواحی عمیق را که غنی از فسفر است، به این محیط منتقل و در مناطق کم موج و یا در مناطق نزدیک به ساحل تحت شرایط مختلف هیدرو دینامیکی و شیمیائی؛ عنصر فسفاتی را همراه با مواد آلی دیگر بر جای گذاشته که منجر به تکوین مهمترین ذخایر فسفات دونین بالایی در مقیاس جهانی شده است.



شکل شماره (۲-۴) ستون چینه شناسی در پر کامبرین و پالئوزوئیک البرز

مرکزی (وارتان و یاسینی ۱۹۶۹)

رخساره ازبک کوه به دلیل اینکه در یک حوضه رسوبگذاری فرو نشیننده تکوین یافته، فاقد فسفات است و رخساره خوش بیلاق ویژگیهای لازم جهت فسفات زایی را ندارد. بطوری که اکتشافات انجام شده نشان می دهد تمرکز عمدۀ ترین ذخایر فسفات دونین بالایی در کمربندي بطول حدود ۳۰۰ کیلومتر در کناره جنوبی بالآمدگی البرز مرکزی صورت گرفته است. همچنین در نواحی دیگر که نهشته های دونین بالایی در انطباق با رخساره بخش A سازند جیرود قرار دارند، ذخایر و اندیشهایی از فسفات شناسایی شده است. این نواحی عبارتند از آذربایجان، کرمان، یزد و جنوب غربی زاگرس که در صفحات بعدی توصیف می گردند.

رسوبات پلاتفرمی سازند جیرود (اشکوب فامنین) در گستره ای به وسعت ۳۰۰ کیلومتر در نیمه جنوبی البرز مرکزی از رشته کوه های طالقان در غرب تا ناحیه شاهroud در شرق را می پوشانند. مطالعات انجام شده بر روی این نهشته ها وجود ذخایر قابل توجهی از فسفات در مناطق مختلف این گستره پهناور را نشان می دهد.

رسوبات فسفاتی به اشکوب فامنین (دونین بالایی) تعلق دارند که از ویژگی های سنگ شناسی خاصی برخوردارند و با دو رخساره دریایی و قاره ای در مناطق مختلف تکوین یافته اند. در مناطق جیرود و فیروزکوه وجود پیریت بهمراه مواد آلی در سنگهای فسفاتی نشان می دهد که محل تکوین فسفاتهای مناطق مذکور دارای عمق نسبتاً زیاد بوده و مواد تخریبی کمتری را دریافت نموده است. ولی در مناطق شاهroud و دماوند نسبت بالای مواد تخریبی و میزان آهن کمتر در نهشته های

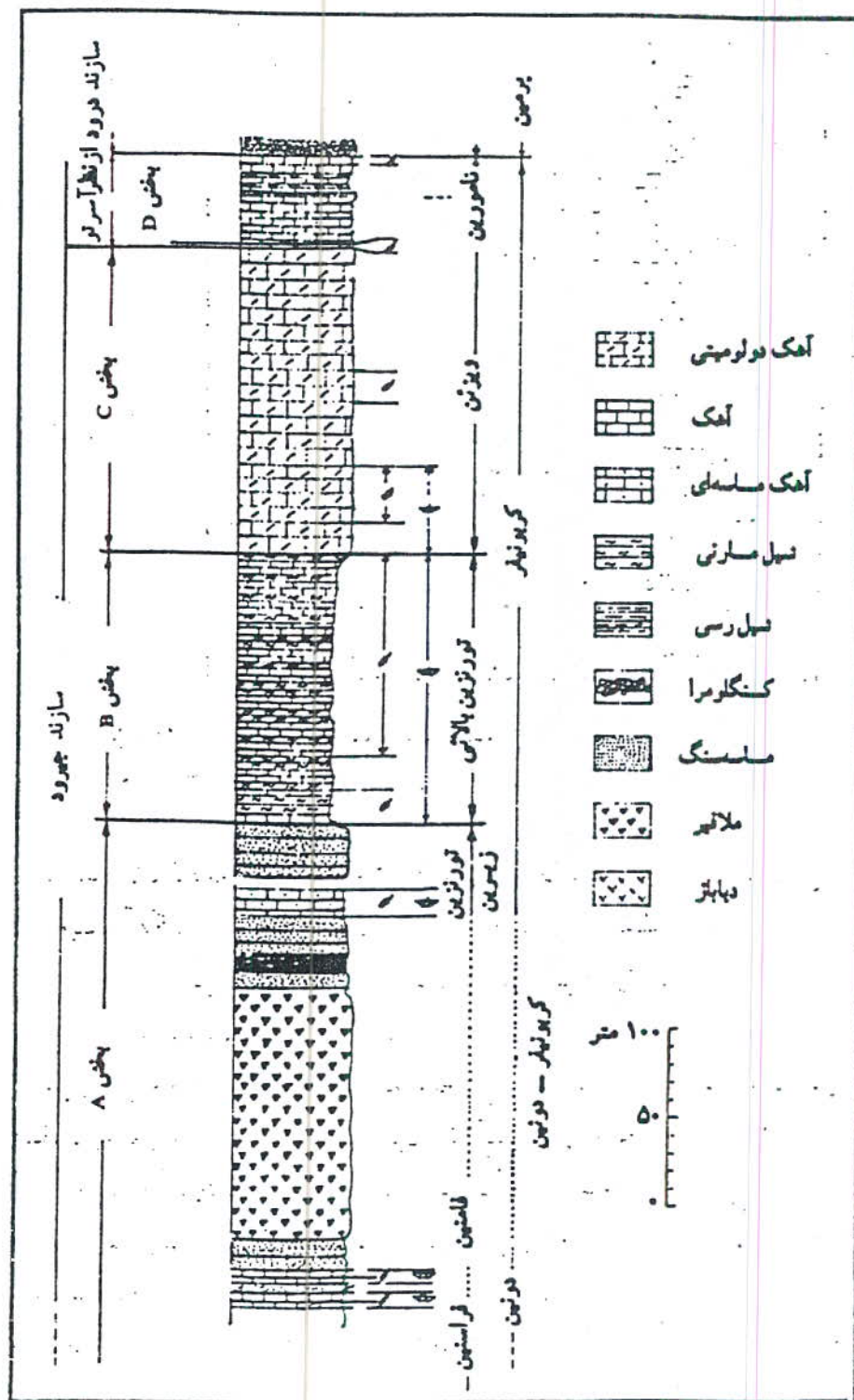
فسفاتی نشان از اهمیت نقش امواج در امتزاج مواد فسفاته، مواد تخریبی و رسویگذاری مجدد آنها تحت شرایط هیدرو دینامیکی فعال می باشد (BRGM, 1979).

بطور کلی در این گستره وسیع نهشته های فسفاتی مهم در چهار منطقه عمدۀ با ویژگیهای نسبتاً مشترک تشخیص داده شده که عبارتند از منطقه جیروود، منطقه دماوند، منطقه فیروزکوه، منطقه شاهروود. علاوه بر آن اندیشهای دیگری از این تیپ فسفات در مناطق دیگر نیز شناسایی شده است.

### ۴-۳-۲-۴- چینه شناسی و لیتولوژی منطقه مورد مطالعه

این منطقه معدنی در قسمت مرکزی رشته کوه های البرز قرار گرفته و خود نیز بخشی از یال شمالی چین گستردۀ با گسترش شرقی- غربی متشكل از نهشته پالئوزوئیک را تشکیل می دهد. بر اساس مطالعات آسرتو - لورنزو ددوال با رسوبات دونین بالایی در این منطقه از شرق به غرب متوالیا" واحدهای شماره ۱، ۲ و ۳ سازند میلا را می پوشانند. هم بری بالایی این نهشته ها را آهکهای متوسط تا ضخیم لایه فسیل دار تشکیل می دهد که بر اساس تقسیم بندی آسرتو مربوط به بخش های B و C سازند جیروود می باشد. این بخش بوسیله طبقات بیوژنیک سازند روتۀ پوشانده شده است.

رونده عمومی طبقات رسویی در منطقه به تبعیت از ناحیه البرز مرکزی E-W تا NW-SE است و شب طبقات دارای میانگین ۴۰ تا ۵۰ درجه در جهت شمال شرق است.



شکل شماره (۳-۴) - مقطع سازند جیرود در دره شمشک بر اساس داده های آسترتو

البته در منتهی الیه غرب منطقه شیب لایه ها نزدیک به قائم و در بخش مرکزی حداقل ۳۵ درجه می باشد.

طبقات رسوبی در این منطقه تحت تاثیر انواع گسلهای معکوس و راستای امتداد لغز قرار گرفته و جابجایی های قابل توجهی را متحمل شده اند. علاوه بر شکستگی های یاد شده، مراحل چین خوردنگی شدیدی نیز منطقه را تحت تاثیر قرار داده و چینهای متعددی در طبقات رسوبی بویژه در درون لایه های نرم و نامقاوم مشاهده می گردد.

سنگهای پالئوزوئیک و مزوژوئیک در قسمتی از البرز مرکزی ( حدفاصل جاده چالوس در غرب و آبنیک در شرق ) رخنمون دارند که از سازند سلطانیه ( کامبرین زیرین ) تا سازند الیکا و شمشک را شامل می شود.

از این مجموعه سازندهای باروت، زایگون، لالون، ميلا، جیروود، مبارک، درود، سازند نسن و همچنین الیکا و شمشک شرح داده می شود.

لازم به تذکر است که سه نبود چینه ای میان سازندهای لالون و کوارتزیت سفید فوکانی، سازندهای ميلا و جیروود و سازندهای جیروود با درود وجود دارد.

#### ۱- شیلهای رسی، سیلیسی و ماسه ای قرمز رنگ باروت ( $\epsilon_B$ )

قدیمی ترین سنگهای محدوده مورد مطالعه را شیلهای رسی تا ماسه ای قرمز رنگ باروت به سن اینفراکامبرین تشکیل می دهد. نام این سازند از دهکده باروت آگاجی واقع در غرب کوههای سلطانیه، در هجده کیلومتری جنوب غربی زنجان اقتباس شده است.

این سازند در مقطع تیپ ۷۱۴ متر ضخامت دارد و از تناوب شیل های رسی، سیلیسی و ماسه ای میکادار به رنگ ارغوانی، سبز، خاکستری، بنفش و سیاه و دولومیت و آهک استروماتولیتی تشکیل شده است.

در البرز نیز سازند باروت دارای رخساره مشابه با برش الگو می باشد. در محدوده مورد مطالعه سازند باروت به رنگ قرمز تیره تا بنفش با لایه های دولومیتی وجود دارد. گسترش این واحد را می توان در جنوب و شمال روستای روته و در امتداد دره روته ملاحظه نمود که دارای مختصات حدودی N30E/35-40NW می باشد. در جنوب غربی روستای روته و در شمال تراست شاد - فشم بروند این واحد نیز دیده می شود.

در شمال شرقی میگون و پیرامون جیروود بروندی از این سازند دیده می شود و شامل تناوبی از طبقات دولومیتی زرد رنگ بستر لایه تا توده ای چرت دار با شیلهای رسی، سیلتی و ماسه ای میکادار و به رنگ ارغوانی و سبز همراه با بخش های آتشفسانی بیشتر کاوکدار و تا حدودی دگرسان بوده و بافت آنها هیالوپلیتی تا میکرولیتی کاوکدار است و کاوکها به وسیله کانی های ثانویه مانند کلسیت، سریسیت، کلریت و کانی های کدر پر شده اند.

از لحاظ سنگ شناسی آنها را هیالوآندزی بازالت دانسته اند. سنگها گرایش سدیک نشان می دهند و در محدوده آلکالن قرار می گیرند. در بخش بالایی بر میزان شیل افزوده می گردد. سطح تماس آنها با واحدهای مجاور گسله است ولی در شرق ناحیه بطور هم شیب در زیر شیل های سازند زایگون جا دارد. ضخامت این واحد در

محدوده مورد مطالعه در حدود ۷۰ متر می باشد. این واحد در جنوب جنیرود شامل شیلهای سبز، بنفس و خاکستری تیره و ماسه سنگ با میان لایه های آهکی و دولومیتی همراه با بخش آتشفسانی زیر دریایی با ترکیب آندزیتی - بازالتی و بافت بادامکی است.

رگه های کلسیتی و سیلیسی، واحدهای شیل، ماسه سنگ و سنگهای آتشفسانی را قطع کرده اند.

به طور کلی از میگون تا زاگون این سازند در یک ساختار تاقدیس شکل دیده می شود. سازند باروت بصورت هم شیب و به تدریج توسط سازند زاگون پوشیده می شود.

## ۲- شیلهای میکاسه ارغوانی رنگ سازند زاگون ( $\epsilon_z$ )

نام این سازند از دهکده و دره زاگون در شمال تهران و در ناحیه مورد مطالعه اقتباس شده است. مقطع اصلی این سازند توسط آسرتو در حدود ۶۰۰ متری غرب روستای زاگون معرفی شده است.

لیتولوژی این واحد در مقطع تیپ شامل شیل های آهکی قرمز تیره تا بنفس همراه با لایه های بسیار نازک آهک مارنی، ماسه سنگهای آركوزی قرمز رنگ سیلتستون قرمز رنگ میکادار و ماسه سنگ صورتی و سیلتستون قرمز است.

این سازند بصورت تدریجی بر روی سازند باروت قرار گرفته است. در جنوب روستای زاگون واحد شیلهای میکادار قرمز رنگ توسط یک دایک دیابازی باروند شمالی - جنوبی قطع شده است.

در شمال شرقی میگون بروند محدودی از این واحد دیده می شود که از تناب شیل های سیلتی و ماسه ای به رنگ قرمز ارغوانی میکادار و ماسه سنگهای قرمز تیره میکادار تشکیل شده است. دایkehای دیابازی بطور پراکنده این واحد سنگی را قطع کرده اند.

در قسمتهای شرقی منطقه، این سازند بتدریج و هم شیب بر روی لایه های دولومیتی و شیلی باروت قرار گرفته است و خود نیز با همبری تدریجی در زیر ماسه سنگهای قرمز رنگ لالون قرار می گیرد ولی در محدوده مورد مطالعه همبری این واحد با واحد های مجاور خود اکترا " گسله است.

با بررسی های جدید سن سازند زاگون را کامبرین پیشین در نظر می گیرند. در دره روته در بخش های درشت دانه تر ماسه سنگی زاگون آثار چینه بندی متقطع دیده می شود.

### ۳- ماسه سنگ کوارتزیتی لالون (۱)

سازند زاگون بصورت هم شیب و تدریجی به ماسه سنگ های آركوزی قرمز رنگ لالون تبدیل می شود. بطور کلی گذر از سازند زاگون به لالون در بخش های بالایی سازند زاگون با افق سیلتستون میکادار قرمز تیره انجام می گیرد. مقطع تیپ این سازند در دامنه شرقی دره لالون واقع در بخش های شمال شرقی محدوده مورد مطالعه و در ۲۰۰ متری شمال غرب روستای زاگون توسط آسرو مشاهده شده است.

که در مقطع تیپ این سازند از ماسه سنگ آركوزی و کمی ماسه سنگ سیلیسی تشکیل شده است. این سازند در قسمت شمالی روستای میگون و در امتداد

شرقی - غربی مشاهده می شود که از ماسه سنگهای آركوزی با سیمان سیلیسی به رنگ قرمز و صورتی در برخی نقاط همراه با میان لایه های شیلی به رنگ بنفش و قهوه ای تشکیل می گردد. ماسه سنگ ها متوسط تا ستبر لایه بوده و چینه بندی متقاطع در آنها دیده می شود.

وجود کانیهای گلوكونی در ماسه سنگها گواه برمحيط کم عمق رسوبی است. ضخامت رسوبهای این واحد در محدوده مورد مطالعه حدود ۶۰ متر می رسد.

در شمال شرقی محدوده رسوب های این واحد به همراه دیگر واحدهای پالئوزوئیک در راستای سطح گسله رورانده و بر روی لایه دولومیتی سازند الیکا و در موارد دیگر بر روی توفهای سبز، شیل و ماسه سنگ ائوسن رانده شده است در بخش بالایی این واحد به ضخامت حدود ۴ متر تناوبی از شیل به رنگ بنفش و قهوه ای سوخته با ماسه سنگ قرمز رنگ وجود دارد و بر روی آنها و در مجاورت سازند میکا بطور هم شیب و عادی ماسه سنگ های آركوزی سفید رنگ واحد کوارتزیت بالایی قرار گرفته است. در قسمتهای از محدوده مورد مطالعه سطح زیرین این واحد همواره گسلی است ولی در شرق رسوبات بصورت هم شیب بر روی شیل های واحد زاگون قرار گرفته اند.

ضخامت ماسه سنگ لالون در تمام منطقه مورد مطالعه تقریباً ثابت وحدود ۶۰۰ متر است. در سازند لالون هیچ گونه فسیلی یافت نشده است و بر اساس موقعیت چینه ای آن با در نظر گرفتن سن لایه های بالایی و زیرینش می توان آنرا به بالای کامبرین پائینی نسبت داد. در محدوده مورد مطالعه سطح تماس زیرین این واحد در

غرب محدوده همواره گسله است ولی در شرق ناحیه رسوبات بطور عادی و هم شیب بر روی شیل های واحد زاگون قرار می گیرد.

در محدوده طرح، گسترش این واحد از غرب روستای میگون تا شمال غرب روستای زاگون دیده می شود. در دره روطه چینه بندی مقاطع و ریپل مارکهای این سازند که یکی از ویژگیهای عمدۀ آن می باشد، دیده می شود.

#### -۴- کوارتزیت بالایی ( $\epsilon_1^q$ )

کوارتزیت سفید بالایی اصطلاحی است که در ایران به کوارتزیت سفید رنگی اطلاق می شود که در بالاترین حد سازند لالون قرار دارد. شامل ماسه سنگ های آرکوزی روش رنگ است (بیشتر سفید رنگ) ماسه سنگ ها متوسط تا ستبر - لایه بوده و دایکهای دیابازی آنها را قطع کرده است. حد بالایی لالون با سازند میلا با واسطه کوارتزیت سفید رنگ مشخص می شود. این افق را به تازگی از بخش بالای سازند لالون حذف کرده و آن را بعنوان قاعده سازند میلامحسوب می کنند. این واحد در سراسر منطقه مورد مطالعه ضخامتی از ۳۰ تا ۵۰ متر را دارا می باشد. رنگ آن سفید، کمی فلدسپاتی و بسیار متراکم است. بعضی جاهای دارای لکه هایی به رنگ زردتا نارنجی و قرمز است که نشان دهنده مقداری از اکسیدهای آهن می باشد که احتمالاً "بصورت ثانویه داخل ماسه سنگ قرار گرفته است. این ماسه سنگ کوارتزیتی دارای لایه بندی خوب و بصورت ساختمان نواری مقاطع به ضخامت ۶۰-۸۰ سانتی متر می باشد. این واحد با همبری تدریجی در زیر مارن های ماسه ای زرد رنگ سازند میلا قرار می گیرد.

## ۵- سنگ آهک و دولومیت خاکستری - کرم رنگ میلا ( $\epsilon_m$ )

سازند میلا از قاعده با لیتولوژی دولومیتی مشخص می شود که در سطح هوازده به رنگ قهوه ای می باشد. این دولومیت بشکل توده ای و بصورت محلی دارای لایه های گرهک دار چرتی است که بطور بین لایه ای با مارن دولومیتی نرم و شکننده زرد رنگ دیده می شود. این واحد توسط آهک دولومیتی سیاه رنگ و "کاملاً" مطابق که بصورت بین لایه ای با مارن آهکی، دولومیت و شیل دولومیتی قرار گرفته، پوشیده می شود.

سرانجام مقطع با لایه هایی از آهک اسپاری سفید رنگی که بصورت متناوب با آهک ماسه ای گلوکونی دار صورتی یا سبز رنگ، محتوى برآکیوپود و تریلوبیت قرار دارد، پایان می پذیرد.

سازند میلا در محل مقطع تیپ واقع در میلا کوه منطقه دامغان، از ۵ بخش تشکیل شده و ضخامت آن در مقطع تیپ به ۵۸۵ متر می رسد.

در منطقه مورد مطالعه دو بخش بالایی سازند میلا وجود ندارد و در برخی نقاط این نبود چینه ای بخش های پایین تر رانیز در بر می گیرد بطوری که در قسمت بالایی دره زاگون کوارتزیت قاعده ای سازند جیروود مستقیماً "بر روی لایه های دولومیت سیاه رنگ سازند میلا قرار می گیرد. ضخامت سازند میلا در منطقه بین ۳۵۰ تا ۴۵۰ متر تغییر می کند. سن سازند میلا به کمک فسیل های موجود از کامبرین میانی تا اوائل اردوبویسین تعیین شده است. بخش ۵ سازند میلا مربوط به اردوبویسین است.

روی سازند میلا را سازند جیزود می پوشاند. همبری میان این دو واحد کاملاً"

نگهانی و با پیدایش لایه ضخیمی از کوارتزیت سفید با ناپیوستگی، بر روی آهک های سازند میلا قابل تشخیص است.

این واحد زیست شناسی با یک سری ماسه سنگ کوارتزیتی سفید رنگ شروع می شود و در دره روتہ بخوبی با ضخامت حدود ۲۰۰ متری خود قابل شناسایی است.

رخنمونهای این واحد در شمال روستای روتہ تا شرق آبادی جیرود گسترش یافته است. در این منطقه رخنمون میلا به صورت لایه های دولومیتی و ماسه ای تشکیل شده و به تدریج به سمت شمال به لایه های ضخیم دولومیت و آهک تبدیل می شود و در بخش های شمالی مقدار آهک بیشتر از مقدار دولومیت به نظر می رسد.

رخنمون های دیگری از میلا در شمال روستای زاگون و در کنار جاده زاگون -

لالون می توان ملاحظه نمود، ستبرای این بخش حداکثر به ۲۰۰ متر رسیده و در بخش زیرین توسط یک گسل شمال غربی - جنوب شرقی قطع گردیده است.

بعد از یک نبود چینه شناسی که در نتیجه فعالیتهای کوهزایی کامبرین زیرین - میانی و کالدونین می باشد، رسوبات دونین (جیرود) نهشته شده اند. این واحد رامی توان در آبادی جیرود مطالعه نمود.

#### ۶- شیل ، ماسه سنگ و سنگ آهکهای جیرود (D-C<sub>g</sub>)

برای اولین بار این سازند توسط آسرتو در شمال روستای جیرود واقع در جنوب محدوده مورد مطالعه معرفی شده است و عموماً "شامل ماسه سنگ ، ماسه سنگ آهکی ، شیل و سنگ آهک می باشد. رخنمون اصلی این سازند را می توان در

شمال روستای جیرود تا دوراهی شمشک و در وسط محدوده مورد مطالعه، ملاحظه نمود رخنمون دیگر این واحد در امتداد دره لالون و در جنوب این روستا دیده می شود. در این مقطع سازند جیرود با یک سری ماسه سنگ سفید کوارتزیتی شروع می شود که بطور پیشرونده برروی نهشته های سازند میلا قرار می گیرد.

این سازند به دلیل داشتن آثار کانی سازی فسفات بالهمیت می باشد که موضوع طرح اکتشاف فسفات، مطالعات بیشتر در این سازند می باشد. بطورکلی این سازند را در منطقه مورد مطالعه می توان به اجزای زیر تفکیک کرد:

- شیل و ماسه سنگ فسفات دار ۱۰ متر
- سنگ آهک ضخیم تا متوسط لایه ۱۵-۱۰ متر
- تناوب شیل با لایه های نازک و متوسط، ماسه سنگ به رنگ تیره همراه با لایه های فسفات دار ۵۰ متر
- تناوب ماسه سنگ و شیل تیره ۵۰-۶۰ متر
- بخش آندزی بازالتی (واحد DE) با ضخامتی در حدود ۱۰۰ متر، شامل گدازه های زیر دریائی با ترکیب آندزیتی بازالتی و بافت میکرولیتی - میکرولیتی پرفیری است. میکرولیت ها بشدت تجزیه شده و شیشه باز بلورین شده نیز در متن سنگ وجود دارد. سنگ های آتشفسانی این واحد در سری سنگ های کالکوآلکالن قرار گرفته و تمایل به سدیک نشان می دهند.

### ۷- سازند مبارک (c)

این واحد شامل سنگهای آهکی متوسط لایه و در برخی موارد همراه با مارن "مجموعاً" به رنگ خاکستری تیره بوده و رگه‌های سفید رنگ کلسیتی آنها را قطع کرده است. ماکروفسیلهای براکیوپود و مرجان به فراوانی در سنگها وجود دارد. سنگهای آهکی این سازند به طور هم شیب بر روی سطح فرسایشی سنگهای آهکی، ماسه سنگ و شیلی سازند جیروود قرار گرفته است. سن این سازند کربونیفر زیرین تعیین شده است.

### ۸- سازند درود (P<sub>d</sub>)

در شمال میگون برونزد کوچکی از این واحد دیده می‌شود و شامل شیلهاست. قرمز رنگ همراه با میان لایه‌های آهکی تیره رنگ بازک لایه تا ستر لایه و ماسه سنگ قرمز رنگ و در برخی نقاط همراه با شیلهاست سبز رنگ است. قسمتی از این سازند در این نقطه برونزد دارد و ضخامتش به حدود ۵۰ متر می‌رسد. سطح تماس با واحدهای مجاور گسله است. سن آن بر اساس فسیلهای به دست آمده پرمین زیرین تعیین شده است.

### ۹- سازند نسن (P<sub>n</sub>)

برونزدهای محدودی در شمال شرقی میگون از این واحد دیده می‌شود که شامل آهکهای سیاه رنگ همراه با رگه‌های سفیدرنگ کلسیتی است. دایکهای

دیابازی آنها را قطع کرده اند. سن رسویهای این واحد با توجه به فسیلهای موجود به پرمین پایانی نسبت داده شده است.

بر روی آهکهای سیاه رنگ این واحد به طور هم شیب و عادی آهکهای ورقه ای سازند الیکا (تریاسن زیرین) قرار گرفته است ولی سطح تماس قسمت زیرین این واحد گسله و نامشخص است. ضخامت آنها به حدود ۶۰ متر می‌رسد. سنگهای آهکی این واحد مورد استفاده کارخانه سیمان ری قرار می‌گیرد.

رسویهای مزوژوئیک شامل رسویهای تریاس و کرتاسه است. تریاس خود شامل سازند الیکا است که بیشتر در شمال شرقی محدوده گسترش و در امتداد گسله بر روی توفهای سبز، شیل و کنگلومرای ایوسن رانده شده است.

#### ۱۰- سازند الیکا<sup>۱</sup> (بخش آهکی)

این سازند در زون کوچکتر میگون برونزد دارد و شامل آهکهای ورقه ای و به طور محلی مارنی و تا حدودی دولومیتی به رنگ خاکستری و کرم با آثار کرمی شکل (Worm like)، آهکهای دولومیتی متوسط تا ستبر لایه است. ضخامت آنها به حدود ۱۰۰ متر می‌رسد. آهکهای این واحد کم فسیل هستند. این واحد به طور هم شیب و عادی بر روی سنگهای آهکی خاکستری تیره سازند نسن قرار گرفته و لایه های دولومیتی و آهک دولومیتی سازند الیکا آن را به طور هم شیب و عادی پوشانده است.

#### ۱۱- سازند الیکا ، بخش دولومیتی (TR<sub>e</sub><sup>d</sup>)

این سازند در شمال شرقی ورقه دیده می‌شود و شامل سنگهای دولومیتی و آهک دولومیتی ستبر لایه تا توده ای به رنگ قهوه ای روشن و خاکستری است که

صخره های پرشیبی را تشکیل داده است. ضخامت آنها به حدود ۱۵۰-۲۰۰ متر می رسد. سنگها چرت دار و کم فسیل هستند. رگه های کلسیتی سنگها را قطع کرده اند و به طور محلی برشی شده اند. در شمال شرقی ورقه رگه های باریت در این سنگها وجود دارد. این واحد توسط گلوس (M. Glaus) در ۵ کیلومتری دهکده الیکا بررسی شده است.

با توجه به اینکه این واحد بر روی زسوبهای تریاس زیرین قرار گرفته به تریاس میانی نسبت داده شده است ولی بر پایه بررسیهای فسیل شناسی به تریاس زیرین تعلق دارد.

در شمال غربی میگون نهشته های ائوسن با کنگلومرا و ماسه سنگ قرمز رنگ سازند فجن بر روی سطح فرسایشی دولومیتهای این واحد قرار گرفته است.

**۳-۴- تکتونیک و وضعیت ساختمانی منطقه در مقیاس ناحیه ای**

کوههای البرز متشکلی از قوسی عریض از تاقدیس ها و ناویدیسهایی است که در پهنه جنوبی دریای خزر قرار دارد. این منطقه در شمال با فرورفتگی دریای خزر و در جنوب با فلات ایران مرکزی هم مرز است. قسمت غربی این رشته کوهها با روند ساختمانی شمال غربی - جنوب شرقی تقریباً موازی با کمربند فعل چین خورده زاگرس می باشد و قسمت شرقی موادی با گسل بزرگ درونه (ایران مرکزی) و با روند تقریباً شمال شرقی - جنوب غربی مشخص می شود. این دو روند ساختمانی متفاوت

در البرز مرکزی با یکدیگر تلاقی کرده و ساختاری در هم ریخته تراز قسمتهای دیگر

آن بوجود آورده است.

"تقریباً" در سرتاسر البرز، سری سنگهای پالئوزوئیک دلالت بر وجود یک محیط

قاره‌ای و بین قاره‌ای در این دوران دارد. نبود رسوبات سیلورین، دونین زیرین

و کربونیفر بالایی در نواحی وسیع، گویای حرکات خشکی زایی کالدونین و هرسینین

در کوههای فوق الذکر بوده است.

منطقه مورد مطالعه قسمتی از البرز مرکزی است که به دلیل تلاقی روندهای ساختمانی متفاوت البرز شرقی و غربی، از درهم ریختگی ساختمانی چشمگیری

برخوردار است.

گذشته از روراندگیهای گسترده و گسل‌های بزرگ سراسری که به دلیل

محدود بودن منطقه عملیات، نمی‌توان تصور روشی از عملکرد برخی از آنها داشت،

دو سیستم گسلی را می‌توان مشخص کرد. یک سیستم گسل‌ها و شکستگی‌هایی با

جهت عمده "شمالی - جنوبی" که به نظر می‌سد همزمان با چین خوردگی و بالا

آمدن منطقه از آب به وجود آمده‌اند. سیستم دیگر، گسل‌های طولی معکوس با

حرکاتی اکثراً "عمودی" می‌باشد که احتمالاً از سیستم اول جوانتر بوده و بعد از

حرکات کوهزایی عمل کرده‌اند.

برخی از گسل‌ها دارای هر دو نوع حرکات افقی و عمودی هستند که آن را

می‌توان از جابجایی‌های جانبی و تغییرات ضخامت ناشی از حرکات عمودی و

معکوس در روی نقشه به خوبی مشاهده کرد (نقشه‌های کوچک مقیاس).

این دو نوع گسل و گسل های توا م عمودی و افقی در تمام منطقه از انتهای غربی آن واقع در شمال دهکده گسیل تا انتهای شرقی آن واقع در جنوب آبنیک مشاهده می شوند.

خط گسلی این گسیختگی ها در روی زمین کمتر به صورت خط راست و بیشتر با پیچ و خم دیده می شود.

#### ۴-۳-۱- گسل های با امتداد تقریبی شمالی - جنوبی

این گسل ها در تمام طول منطقه مشاهده می شوند. بعضی از این گسل ها دامنه عمل بیشتری دارند و باعث جابه جایی سری رسوبات از جریان بازالتی سازند. جیروود تا کوارتزیت قاعده میلا شده اند. ولی بعضی از آنها محلی بوده و تغییر مکان کوچکی را در بین لایه های یک واحد رسویی یا در بازالت ها به وجود آورده و به تدریج در دو طرف کم شده است.

بیشترین تعداد این گسل ها در منطقه بین دکل تلویزیون در منطقه دیزین تا رودخانه جیروود دیده می شود. بعضی از این گسل ها دارای حرکات عمودی و برخی دارای حرکات دوگانه عمودی وافقی هستند.

در شرق دره جیروود و در غرب دره لالون این گسلها همراه با دایک ها و اغلب متاثر از آنها ظاهر شده اند.

#### ۴-۳-۲- گسلهای طولی

این گسلها امتداد تقریباً "شرقی - غربی" دارد و در تمام موارد دارای حرکت معکوس هستند. این نوع گسل در سه منطقه دیده می شوند. یکی در منطقه گسیل

که در سمت غربی خود واحد آهکی بالای شیل های سیاه رنگ فسفاتدار را حذف نموده و جریان بازالتی را مستقیماً "بر روی شیل ها قرار داده است. امتداد این گسل به سمت شرق قسمت بیشتری از شیل ها را حذف نموده و از ضخامت آن می کاهد و در انتهای به یک گسل عرضی نسبتاً" بزرگ وصل می شود. گسل بعدی در منطقه بین دیزین، در بندر سر عملکرد دارد. در اثر عملکرد عمودی این گسل دیواره جنوبی شامل رسوبات میلا و سازندهای زیر آن بالا آمده و میلا را در مقابل رسوبات بالای آن قرار داده است.

در بعضی قسمتها (در محدوده بین دکل تلویزیون تا گردنۀ پایا) لایه های بالایی میلا به علت عملکرد دو گسل عمودی وجود ندارد و گسل مزبور مرز شمالی این نبود را تشکیل می دهد. اولین چیزی که به نظر می رسد این است که یک گسل شبیل لغز (Dip slip Fault) لایه های بالایی را بر روی سطوح فوق به سمت شمال لغازانده است. اگر این فرض درست باشد بایستی قبول کرد که لایه قاعده ای طبقات لغازیده نباشد. در زیر سطح لغزش رخنمون کامل لایه های شیلی فسفاته و بخش غربی این محدوده در زیر سطح لغزش رخنمون کامل لایه های شیلی فسفاته و روی این شیل ها نیز قسمت های پائین واحد آهکی بالای شیل دیده می شود. ضمن اینکه در قاعده لایه های لغازیده نیز ضخامت کمی از شیل البته به صورت درهم ریخته و ضخامت کامل آهکهای بالایی آنها دیده می شود.

فرض دوم این است که گسل شیب لغزی در بین نیست و تنها گسلی که بین طبقات بالا آمده قدیمی (میلا و تکه های منفرد شیل) و طبقات جدیدتر بالای آنها عملکرد دارد، همان گسل طولی و معکوس است.

در مورد رسوبات حذف شده بالایی آهک های میلا و شیل اگر فرض کنیم که سری رسوبات که در منطقه رخنمون دارند یال شمالی یک تاقدیس باشد، احتمالاً همان تاقدیس، عامل حذف یال جنوبی بوده است. همزمان با حذف این یال و همراه با آن لایه های بالای سازند میلا را نیز با خود برده است. به عبارت دیگر پدیده حذف لایه ها در محدوده مورد بحث در سطح بالای سازند میلا حالتی انحرافی (انحراف از خط راست) یافته و بر اثر این انحراف، لایه های بالایی میلا را حذف نموده است.

در منطقه لالون در بخش غربی دره لالون نیز یک گسل طولی وجود دارد که رسوبات میلا را در مقابل رسوبات بالایی آن قرار داده است. این گسل به سمت غرب به تراست آبنیک منتهی می شود.

در مجموع می توان گفت که کل منطقه مورد مطالعه یک منطقه پرگسل است.

## فصل پنجم

### زمین شناسی منطقه

### مورد مطالعه

#### ۱-۱- مقدمه

پس از بررسی اسناد و مدارک موجود و مطالعه عکس های هوایی منطقه تعیین شده توسط کارفرما (در حدود ۱۸۰ کیلومتر مربع)، دو منطقه از نظر کار معدنی با اولویت فسفات، حائز اهمیت شناخته شد. درمجموع وسعت این دو منطقه نزدیک به ۴۰ کیلومتر مربع می باشد. که در گزارش با نام ذخایر لالون - آبنیک و شمشک از آنها یاد شده است.

ذخیره لالون-آبنیک در قسمت شرق محدوده موردنظر کارفرما و در امتداد شرقی- غربی به وسعت ۵ کیلومترمربع و ذخیره شمشک به وسعت نزدیک به ۳۵ کیلومتر مربع در شمال غرب محدوده و در امتداد شمال غربی - جنوب شرقی واقع

شده است. در شکل شماره (۱-۵) منطقه معدنی آببیک-لالون، در شرق محدوده تعیین شده توسط کارفرما نشان داده شده است.

قبل از شروع عملیات صحرایی در منطقه محلول مولیبدو و انادات سدیم با نام تجاری شاپیرو تهیه گردید. شاپیرو محلولی بی رنگ است که اگر در واکنش با ماده فسفردار قرار گیرد به رنگ زرد - سبز تغییر می یابد.

در هنگام انجام عملیات نمونه برداری از لایه فسفات دار و سنگهای مشکوک به فسفات، از این محلول استفاده شده است تا حتی الامکان تعداد نمونه ها کاهش یابد.

خلاصه ای از روند انجام مطالعات، عملیات صحرایی، کارهای دفتری و آزمایشگاهی طبق شرح خدمات قرارداد به این قرار است. چون عکس های هوایی ۲۰۰۰۰: ۱ منطقه موجود نبود مبنای مطالعات، عکس های هوایی ۵۰۰۰: ۱ سازمان جغرافیایی ارتش شد. فتوژئولوژی مقدماتی عکس ها در کنار اطلاعات نقشه توپوگرافی ۵۰۰۰: ۱ و همچنین نقشه زمین شناسی منطقه باعث شناسایی مقدماتی محدوده و آشنایی با توپوگرافی و غیره شده، همچنین مسیرهای احتمالی پیمایش های سطحی (تراورس ها) مشخص شد.

پس از انجام این مطالعات، عملیات صحرایی بمدت (۳۰ روز) جهت مشخص شدن محدوده، راههای دسترسی، برآورد پرسنل، زمان و هزینه ها و همچنین طی تراورس ها و حفریات جهت شناخت ساختار زمین شناسی و سازندها انجام شد.

پس از شناخت سازندها و گسترش آنها در منطقه نمونه های سنگ شناسی برای اطمینان و همچنین تعیین محل دقیق کنتاکت سازندها گرفته شد. در ضمن در تمام مراحل در صورت امکان ضخامت ، امتداد و شیب لایه ها تعیین شد و جایگاه افق فسفاته در بین سازندها و لایه راهنمای شناخت فسفات (Key bed) مشخص شد. (پس از مشخص شدن لیتواستراتیگرافی و چینه شناسی منطقه) از فسفات های محدوده که داخل شیل ها و ماسه سنگهای قاعده سازند جیروود قرار داشت در حدود ۱۰۰ نمونه جهت انجام آزمایش‌های مختلف پترولوزی، XRD ، XRF و شیمیایی برداشت شده و به آزمایشگاههای مربوطه فرستاده شد.

همچنین ترانشه های متعددی در منطقه جهت شناسایی بیشتر و دسترسی به نمونه سالم حفر شد که برداشت ترانشه ها همراه با نمونه برداری از واحدهای مختلف سنگی انجام گرفت.

محل برداشت تمام نمونه ها و عوارض با G.P.S روی نقشه های توپوگرافی پیاده شده در ضمن نقشه های نمونه برداری ها و ترانشه ها و نتایج آزمایشات و تفسیر آنها ضمیمه این گزارش می باشد.

مطالعات زمین ساختاری گسل ها ، شکستگی ها، چین ها و غیره به منظور تعیین جهت و مقدار تنש های مؤثر در منطقه انجام شد. پس از مشخص شدن نوع گسل، جابجایی ، شیب و امتداد آن روی عکس های هوایی مشخص شد.

در قسمت مطالعات دفتری ابتدا فتوژئولوژی بر روی عکس‌های هوایی

۱: ۵۰،۰۰۰ صورت پذیرفت و پس از تطابق واحدها و سازندها بر روی زمین، نقشه

۲: ۵۰،۰۰۰ تهیه گردید. پس از این کار نقشه به دست آمده با بزرگنمایی به مقیاس

۳: ۲۰،۰۰۰ تبدیل گردید. بر روی این نقشه علاوه بر مشخص نمودن تمامی واحدها،

سازندها، گسلها و... محل نمونه برداری‌ها و همچنین لایه فسفات دار نشان داده شده

است.

محدوده ذخیره آبنیک - لالون در مقایسه با محدوده مطالعاتی شمشک از

اهمیت بیشتری برخوردار می‌باشد. بنابراین عمدۀ کارهای صحراوی، برداشت‌های

زمین شناسی، تهیه نقشه زمین شناسی ۱:۱۰،۰۰۰ در این محدوده صورت گرفته

است. دلایلی که در این قسمت لازم است به آن اشاره شود به شرح زیر می‌باشد:

۱- از نظر شرایط و موقعیت جغرافیایی، منطقه آبنیک - لالون مشابه منطقه فسفاتدار

روستای جیروود می‌باشد. (معدن مهم فسفات جیروود در آن فعالیت دارد)

۲- مشکل احداث جاده، انتقال نیرو، دسترسی به آب مصرفی و مسائلی از این قبیل

در مورد این منطقه صدق نمی‌کند. همچنین این منطقه نزدیک به مرکز می‌باشد.

۳- از نظر زمین شناسی کمربالا و کمرپائین ماده معدنی کاملاً "شناخته شده است و

ذخیره آن به آسانی قابل ارزیابی می‌باشد. عملکرد تکتونیک در این منطقه در

جهت حذف لایه و کاستن حجم ماده معدنی نبوده است. به عبارت دیگر تأثیر

گسلها بر روی لایه تنها به صورت جابه جایی های محدود بوده و قطع شدگی در

امتداد لایه فسفات چندان بارز نمی باشد.

۴- شب لایه بندی به گونه ای است که در دسترسی به لایه فسفاتدار و استخراج آن

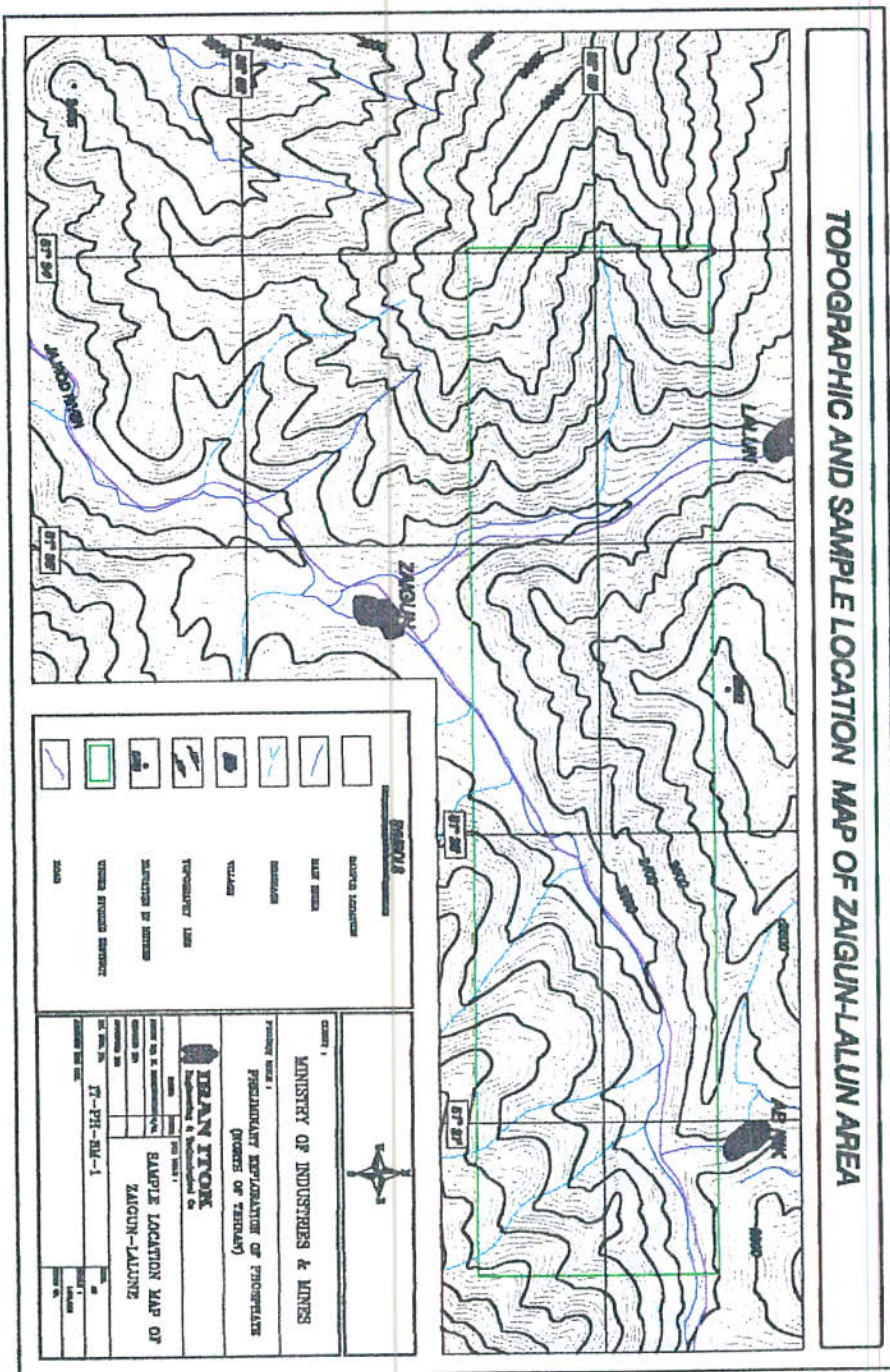
مشکل چندانی ایجاد نمی شود.

۵- دسترسی به سینه کار ماده معدنی در اغلب موارد در زمینهای لایملک بوده و در

این رابطه در صرف هزینه های مربوط خرید زمینهای زراعتی و مسکونی صرفه

جویی می شود.(در صورت معدن شدن کانسار)

۶- ذخیره قابل استخراج ، بسیار نزدیک به ذخیره زمین شناسی می باشد.



شکل (۱-۵) - محدوده فسفاتدار ذخیره آبنیک-لالون

## ۲-۵- واحدهای شناسایی شده در منطقه

از بین تمام واحدها و سازندهایی که به طور کامل مقطع تیپ آنها تشریح گردید، در منطقه لالون - آبنیک به وسعت پنج کیلومتر مربع واحدهای مشروحة ذیل شناسایی شده اند.

### ۱-۲-۵- سازند لالون

این واحد قدیمی ترین واحد شناسایی شده در منطقه لالون - آبنیک است. گسترش عمده این سازند در قسمت جنوبی منطقه و در امتداد شرقی - غربی و در زیر "تمام سازندها و واحدهای شناسایی شده، قرار گرفته است. جنس این سازند عمدتاً ماسه سنگ آرکوزی قرمز رنگ می باشد. شیب لایه بندی این سازند در حدود ۵۰ درجه به سمت شمال می باشد. در کمربائین لالون، سازند زاگون می باشد که به دلیل عملکرد گسل معکوس واقع جنوب محدوده، در کنار دولومیت ضخیم لایه و توده ای و آهکهای دولومیتی سازند الیکا با شیب حدود ۳۰ - ۵۰ درجه به سمت جنوب قرار گرفته است که البته سازند اخیر، گسل مربوطه و قسمت اعظم خود سازند جز محدوده مورد مطالعه نمی باشد.

### ۲-۲-۵- سازند میلا

این سازند که با ماسه سنگ سفید رنگ آرکوزی (کوارتزیت) شروع می شود از جنوب در کنタکت با سازند لالون می باشد. ضخامت متوسط کوارتزیت در حدود

۳۵ - ۲۰ متر و به صورت هم شیب بر روی سازند لالون واقع شده است. گسترش این واحد در سراسر محدوده و در امتداد شرقی - غربی می باشد. شیب لایه بندی در حدود ۷۵ - ۵۰ درجه است که مقدار آن به سمت غرب افزایش می یابد. در منطقه اطراف لالون تقریباً "شیب لایه بندی به صورت قائم می باشد. عکس شماره (۱-۵)



عکس شماره (۱-۵) - شیب لایه کوارتزیتی در اطراف منطقه لالون

(دید به سمت شرق)

بر روی واحد کوارتزیتی، آهک و دولومیتهای متوسط تا نازک لایه همراه با میان لایه های نازک شیلی و مارنی کرم تا قهوه ای رنگ قرار گرفته است. گسترش این سازند در امتداد شرقی - غربی است.

متوسط ضخامت ظاهری آن بر روی زمین در قسمتهای مختلف منطقه متفاوت بوده و از  $15^{\circ}$  متر تا  $500$  متر متغیر است. هر چه از مرکز محدوده به شرق و غرب پیش برویم ضخامت ظاهری این سازند افزایش می یابد. شب لایه بندی کماکان به سمت شمال بوده و مقدار آن در حدود  $85^{\circ}$  -  $50^{\circ}$  درجه می باشد که بیشترین مقدار در سمت غرب محدوده است.

از بین پنج بخش سازند میلا، دو تا سه بخش در محدوده رخنمون دارد بخش اول از دولومیت توده ای تشکیل یافته است که در سطوح هوازده به رنگ قهوه ای در آمده است. بخش دوم آهکهای دولومیتی سیاه رنگ مطبق می باشند و بخش سوم از آهکهای اسپاری لایه لایه و سفید رنگ تشکیل گردیده است بخش اخیر در شرق دره لالون در نزدیکی دکل تلویزیون وجود ندارد.

### ۳-۲-۵ - سازند جیروود

طبق تقسیم بندی آسترتو سازند جیروود از چهار بخش، تشکیل یافته است. بخش چهارم در محدوده مشاهده نشده است. در ادامه، هر یک از بخش‌های شناسایی شده به تفصیل مورد بحث قرار می گیرد.

## A- بخش ۱-

این بخش با یک کوارتزیت سفید رنگ که در سطوح هوازده به رنگ خاکستری تا خاکستری تیره با ضخامت ۴ الی ۶ متر می باشد، شروع می شود.

آهک نازک لایه به رنگ خاکستری تیره، پر از فسیل برآکیوپود با ضخامت ۱۰ - ۳ متر وجود دارد که در قسمت های مختلف ضخامت تغییر می کند. در انجام عملیات صحرایی از این لایه به عنوان یک لایه راهنمای جهت تشخیص لایه فسفاتدار استفاده شده است.

تناوب شیلهای سیاه ورقه ای و ماسه سنگ کوارتزیتی، که افقهای شیلی در قسمت های پائینی ضخامت بیشتری داشته و در بعضی لایه ها عیار فسفات حداقل حدود ۲۰ درصد ( $P_2O_5$ ) می رسد. لایه های ماسه سنگی بین این شیلهای سرشار از پلت های ریز و درشت فسفات است. تعداد این تناوبها گاهی به ۱۸ عدد می رسد. که ضخامتی حدود ۵ سانتی متر تا  $2/3$  متر دارند. هر چه به سمت شمال پیش می رویم ضخامت شیل کاسته شده و به ضخامت ماسه سنگها افزوده می شود. در ضمن عیار  $P_2O_5$  نیز در این ماسه ها به سمت بالا (شمال) کمتر شده تا حدی که قسمت های فوقانی عادی از هرگونه فسفر می باشد. عیار فسفر در شیلهای لایه های بالایی نیز به همین ترتیب کاهش یافته و بیشتر کربنی می شوند.

در ادامه بخش A به طرف بالا حدود ۷۰ متر آهک تخریبی ماسه‌ای به رنگ خاکستری تیره و فسیل دار قرار می‌گیرد که به صورت بین لایه‌ای با آن، ماسه سنگهای خاکستری مایل به زرد قرار گرفته است. جریان بازالتی (ملافیری) با بافت میکروولیتی - میکروولیتی پروفیری به ضخامت ۱۰۰ الی ۱۴۰ متر که میکروولیت‌ها به شدت تجزیه شده‌اند و شیشه دوباره متبلور شده در متن سنگ قابل مشاهده است. این گدازه‌های زیر دریایی حفره دار ترکیب بازالت آندزیتی داشته و حفره‌های آن در خیلی موارد توسط کلریت پر شده است. سنگهای آتشفسانی این واحد درسی سنگهای کالکوآلکالن به سمت سدیک قرار گرفته است. عمدۀ گسترش این واحد در شمال محدوده بوده و همانند سایر واحدها امتداد شرقی - غربی دارد کل ضخامت بخش A بدون در نظر گرفتن سنگهای بازالتی حدود ۲۳۵ متر است. روند این بخش نیز همانند سایر سازندهای زیرین شرقی - غربی بوده و شیب لایه بندی آن نسبت به سازند میلا که در کنタکت آن قرار گرفته است کمتر می‌باشد.

## B - بخش ۲-

این بخش شامل آهک تخریبی سیاه رنگ اسپاری و بیوژنیک - نازک لایه سرشار از فسیل است که در قسمت پائینی به صورت بین لایه‌ای با آن شیل سیاه مارنی قرار گرفته است.

## ۳- بخش C

این بخش شامل آهک تقریباً "سیاه خیلی متراکم و دارای لایه های منظم ۴۰ سانتی متری است که در قسمت بالایی به آهک دولومیتی بلورین به رنگ خاکستری روشن با لایه بندی نامشخص تبدیل شده است.

## ۴- بخش D

رسوبات این بخش را آهک سیاه || لیتی و پیزولیتی تشکیل می دهد که در قسمت بالایی آن، میان لایه های نازک مارن سیاه رنگ دیده می شود. حداکثر ضخامت این بخش ۳۰۰ متر است.

## ۵- ۳- تکتونیک منطقه مورد مطالعه

در فصل قبل این گزارش تکتونیک منطقه به طول مفصل تشریح گردید و اشاره شد که منطقه مورد مطالعه قسمتی از البرز مرکزی می باشد که به دلیل تلاقی روندهای ساختمانی متفاوت البرز شرقی و غربی از درهم ریختگی ساختمانی چشمگیری برخوردار است.

در این فصل سعی شده است با استفاده از مشاهدات و مطالعات صحرایی ساختار تکتونیکی منطقه با جزئیات بیشتری مورد بحث و بررسی قرار گیرد.

در منتهی الیه شرقی محدوده مورد مطالعه امتداد لایه فسفات دار جیرود را

گسل معکوس جنوب دهکده آبیک با امتداد شمالی - جنوبی و شیب حدود ۳۰ درجه

به سمت غرب قطع می کند.

این گسل راست لغز با جابجایی ۱۵۰ متر بصورت افقی و عمودی باعث تغییر

وضعیت امتداد کلی لایه ها از حالت شرقی - غربی به شمال شرقی جنوب غربی شده

است و باعث جابجایی سری رسوبات از جریان بازالتی سازند جیرود تا کوارتزیت قاعده

میلا شده است. بطوریکه لایه بازالتی را در سمت راست گسل در امتداد لایه فسفات دار

جیرود (سمت چپ گسل) قرار داده است و اثری از لایه فسفات دار دیده نمی شود.

امتداد این گسل در پائین احتمالاً به سمت جنوب غربی منحرف شده است. در فاصله

بین این گسل تا جاده اصلی زاگون - آبیک و همچنین تا دهکده لالون ، شاهد

عملکرد گسل های شمالی - جنوبی (و در اغلب موارد از نوع نرمال) متعددی هستیم

که بصورت نزدیک به هم و موازی باعث جابجایی های مختصری در امتداد لایه ها شده

است ولی این شکستگی ها تأثیر قابل توجهی در سیستم کلی نداشته است و تغییر

مکانهای کوچکی را در بین لایه های یک واحد رسوبی یا در بازالت بوجود آورده است

که مقدار این جابجایی ها به تدریج در اطراف کم شده است.

در قسمت غربی دره لالون این گسل ها همراه دایک و در اغلب موارد متأثر از

عملکرد دایکها در منطقه بوده که این مطلب در مورد شرق دره جیرود نیز صادق است.

در بخش غربی دره لالون بر اثر تأثیر یک گسل طولی رسوبات میلا در مقابل

رسوبات بالایی آن قرار گرفته است که این گسل به سمت غرب به تراست آبنیک منتهی می شود.

#### ۴-۵- وضعیت ماده معدنی فسفات در منطقه

##### ۱-۴- مشخصات عمومی واحدهای فسفاته

ذخیره فسفات در منطقه آبنیک - لالون به دو صورت ظاهر شده است. این کانی سازی هم در شیل های سیاه و هم در ماسه سنگهای بخش A از سازند جیروود اتفاق افتاده است. کانی سازی در شیلها عمدتاً به صورت پلتها و گرهکهای فسفاته متوسط تا درشت (حداکثر ۱ سانتی متر) رخ داده است. در ماسه سنگها نیز پلتها فسفات دار تشخیص داده شده است ولی این پلتها در شیلها بیشتر می باشد. از نظر سختی این ماسه سنگها در دو حالت نرم و سخت هستند. رنگ تمام واحدهای فسفات دار قهوه ای تیره تا سیاه است. و با افزایش مقدار اکسید آهن رنگ واحد ها روشن تر می شود.

کانی سازی فسفات در ماسه سنگها عمدتاً به صورت سیمان (یا ژل) (فسفاته است که فضای خالی بین دانه های دیگر سنگ را تشکیل داده اند.

متوسط عیار  $P_2O_5$  در شیلهای فسفاته در حدود ۴-۸ درصد و در ماسه سنگها

۱۸-۲۷ درصد می باشد.

واحدهای شیلی و ماسه سنگی در تناوبهای تقریباً زیادی در بخش A از سازند

جیرود با ضخامت های متفاوت تشکیل شده اند. ضخامت هر یک از این واحدها در امتداد لایه بندی نیز متغیر است.

ضخامت واحد های فسفاته در بعضی قسمت ها به  $1/2$  متر نیز می رسد ولی به طور متوسط می توان گفت که ضخامت حقیقی لایه فسفاته در حدود ۱ متر است. شب این لایه ها زیاد بوده و مقدار آن  $85-85$  درجه به سمت شمال است.

#### ۴-۲-۴-۵- میزان ذخیره زمین شناسی ، ذخیره آببیک - لالون

با توجه آنالیز شیمیایی نمونه های سنگی مختلف کانی سازی شده فسفات در سازند جیرود و در منطقه آببیک - لالون ، مقدار  $P_2O_5$  در دامنه  $5-27$  درصد قرار گرفته است. بر این اساس سه بازه برای این تغییرات در نظر گرفته شد که به ترتیب کم عیار ، عیار متوسط و پر عیار می باشند. این تقسیمات به صورت زیر می باشند.

$$(P_2O_5 = 5 - 10\%)$$

- واحدهای کم عیار

$$(P_2O_5 = 10 - 15\%)$$

- واحدهای عیار متوسط

$$(P_2O_5 = >15\%)$$

- واحدهای پر عیار

در حال حاضر با وجود شرایط تکنولوژیکی و اقتصادی ، استفاده از ذخایر کم عیار و همچنین عیار متوسط فسفات مقرر به صرفه نمی باشد و تنها ، ذخایری که عیار بالایی دارند می توانند مورد استفاده قرار گیرند. در آینده ، می توان با مخلوط

نمودن واحدهای پرعیار و عیار متوسط، خوراک مناسب برای کارخانه فرآوری فراهم نمود.

به این ترتیب، برای به دست آوردن ذخیره زمین شناسی منطقه ذخیره آبنیک - لالون تنها ذخایری که عیار  $P_2O_5$  در آنها بیش از ۱۵ درصد بوده است مورد محاسبه قرار گرفته اند.

براساس اطلاعات حاصل از حفر هفت ترانشه در منطقه ذخیره آبنیک - لالون که همگی عمود بر لایه بندی بوده اند و همچنین برداشت پروفیل در کنار جاده زاگون - لالون و تراورسهايی انجام شده بر روی ذخیره مشخص شد که واحدهای قطع شده توسط این ترانشه ها و پروفیل تقریباً حالتی مشابه به یکدیگر دارند. به عبارت دیگر مشخصات لایه های کانی سازی شده فسفاته در سراسر لایه بندی تقریباً مشابه به هم می باشند. بنابراین با توجه به این برداشت ها و همچنین آنالیزهای شیمیایی مشخص گردید که ضخامت متوسط واحد کانی سازی شده (ماسه های فسفاته) در حدود ۱ متر و عیار متوسط  $P_2O_5$  آن در حدود ۲۰/۶۷ درصد است. شیب این لایه ها نیز ۸۵-۸۵ درجه است که به طور متوسط می توان ۷۵ درجه به سمت شمال محسوب کرد. وزن مخصوص برای ماسه سنگهای پرعیار فسفاته  $2/9$  تن بر متر مکعب و برای سنگهای فسفاته کم عیار  $2/7$  تن بر متر مکعب در نظر گرفته شده است.

با توجه به این مطلب که لایه های اطراف این واحد نیز عیاری در حدود ۱۷-۲۰ درصد دارند، می توان در مجموع ضخامتی معادل ۱۰۰ سانتی متر را برای لایه فسفاته در نظر گرفت.

جهت تخمین ذخیره زمین شناسی محدوده ذخیره آبنیک-لالون پس از تهیه نقشه زمین شناسی و مشخص کردن واحد فسفات دار پیروفیلهای (۶ پروفیل) در طول لایه زده شد. هر یک از این پیروفیلهای در بین دو قطع شدگی (گسل یا جاده) واقع شده اند که کل طول واحد کانی سازی شده را پوشش داده اند. پس از ترسیم این مقاطع، مساحت زیر هر یک از پائین ترین ارتفاع تا بالاترین ارتفاع به وسیله کامپیوتر محاسبه گردید. این مساحت برابر سطح لایه کانی سازی، ۱ است. حاصلضرب این مقدار در ضخامت متوسط ۱۰۰ سانتی متر، حجم کل واحد کانی سازی شده را نشان می دهد. در نتیجه پس از حاصلضرب حجم کل در وزن مخصوص واحد پر عیار (۲/۹ تن بر متر مکعب) مقدار کل سنگهای کانی سازی شده در این ذخیره به دست خواهد آمد. روش این محاسبات در جدول (۱-۵) نشان داده شده است.

بنابراین میزان ذخیره زمین شناسی واحد کانی سازی شده فسفات در سازند جیرود و در ذخیره لالون-آبنیک در حدود ۲ میلیون تن می باشد.

## جدول (۱-۵) محاسبات به تفکیک پروفیلهای طولی ترسیم شده

شماره پروفیل	مساحت زیر پروفیل $S(m^2)$	حجم ماده معدنی $(m^3)$	وزن واحد فسفاته $(ton)$ $M = V \times 2.9$
۱	۳۷۳۷	۳۷۳۷	۱۰۸۰۸
۲	۱۵۸۴۸۴	۱۵۸۴۸۴	۴۵۹۶۰۳
۳	۳۴۲۹۴۵	۳۴۲۹۴۵	۹۹۴۵۴۰
۴	۱۱۵۵۳۶	۱۱۵۵۳۶	۳۳۵۰۵۴
۵	۱۷۶۱۲	۱۷۶۱۲	۵۱۰۷۴
۶	۸۳۸۵۷	۸۳۸۵۷	۲۴۳۱۸۵
حجم کل	۷۲۲۱۶۱	۷۲۲۱۶۱	۲۰۹۴۲۶۴

## فصل ششم

# نمونه برداری، حفاری و

## آزمایشات

### ۱-۶ - مقدمه

پس از شناسایی کامل منطقه و مشخص کردن زونها ، آنومالی های معدنی با اولویت ماده معدنی فسفات، در وسعت تقریبی ۴۰ کیلومترمربع ، عملیات صحرایی در این منطقه انجام شد. براین اساس علاوه بر نمونه برداری سطحی از کل منطقه ، نمونه های عمقی و غیر هوازده از محل ترانشه ها در منطقه لالون - آبنیک (به منظور بررسی کیفیت ماده معدنی) برداشت گردید.

پس از انجام نمونه برداری ، نمونه ها به آزمایشگاههای مختلف جهت مطالعات سنگ شناسی ، کانی شناسی و تعیین عیار ارسال گردید.

## ۲-۶ - نمونه برداری در قالب طرح

در حین انجام عملیات صحرایی و برداشتهای زمین شناسی ، نزدیک به ۱۰۰

نمونه از واحدهای مختلف سنگی برداشت شده است. از این تعداد نمونه ، تعداد ۲۱

نمونه برای مطالعات پتروگرافی و تهیه تیغه نازک به آزمایشگاه فرستاده شده است. از

نتایج این بخش از آزمایشها در تهیه نقشه زمین شناسی استفاده شده است.

علاوه بر آن ، تعداد ۶۱ نمونه از شیلهای و ماسه سنگهای فسفات دار انتخاب و

جهت تعیین عیار  $P_2O_5$  به آزمایشگاه ها ارسال گردید. همچنین تعداد ۳ نمونه ، برای

تعیین نوع کانی سازی به وسیله پراش اشعه ایکس و ۲ نمونه پر عیار  $P_2O_5$  جهت

تعیین عناصر نادر خاکی همراه به وسیله فلورسانس اشعه ایکس انتخاب شده اند.

لیست تمام نمونه ها و نوع آزمایش آنها در جدول (۱-۶) و (۲-۶) آورده شده است.

جدول شماره (۱-۶)- لیست نمونه ها ای ارسالی برای آنالیز شیمیایی

ردیف	شماره نمونه						
1	PH-3	17	PH-40	33	PH-63	49	PH-81
2	PH-12	18	PH-44	34	PH-64	50	PH-82
3	PH-15	19	PH-47	35	PH-65	51	PH-85
4	PH-19	20	PH-48	36	PH-66	52	PH-86
5	PH-21	21	PH-49	37	PH-67	53	PH-87
6	PH-24	22	PH-50	38	PH-69	54	PH-88
7	PH-25	23	PH-51	39	PH-70	55	PH-89
8	PH-26	24	PH-52	40	PH-71	56	PH-93
9	PH-29	25	PH-54	41	PH-73	57	PH-94
10	PH-31	26	PH-56	42	PH-74	58	PH-95
11	PH-33	27	PH-57	43	PH-75	59	PH-96
12	PH-34	28	PH-58	44	PH-76	60	PH-97
13	PH-35	29	PH-59	45	PH-77	61	PH-98
14	PH-36	30	PH-60	46	PH-78	62	PH-99
15	PH-37	31	PH-61	47	PH-79	63	PH-100
16	PH-39	32	PH-62	48	PH-80	64	

### جدول شماره (۶-۲)- لیست نمونه های ارسالی برای مطالعات دیگر آزمایشگاهی

ردیف	پراش اشعه ایکس	فلورسانس اشعه X	تیغه نازک	ردیف	تیغه نازک
1	PH-15	PH-93	PH-1	11	PH-16
2	PH-72	PH-94	PH-2	12	PH-17
3	PH-77		PH-4	13	PH-18
4	-		PH-7	14	PH-20
5	-		PH-9	15	PH-22
6	-		PH-10	16	PH-28
7	-		PH-11	17	PH-36
8	-		PH-12	18	PH-41
9	-		PH-13	19	PH-91
10	-		PH-14	20	PH-92

### ۶-۳- حفاریهای منطقه

به منظور برداشت نمونه های سالم و دست نخورده از لایه فسفات دار مورد مطالعه تعداد ۵ رشته ترانشه در مجموع به طول ۲۰۰ متر عمود بر امتداد لایه بندی در منطقه ۵ کیلومترمربعی لالون - آبنیک حفر گردید. از هر یک از این ترانشه ها برداشت های لازم زمین شناسی صورت پذیرفت. از بین ترانشه های حفر شده ترانشه های دوم و سوم به ترتیب به طول ۴۰ و ۴۷ متر بیشترین واحد شیلی - ماسه سنگی فسفات دار را قطع کرده اند که سنتون چینه شناسی آنها در پیوست گزارش آورده شده است.

### ۶-۳-۱- ترانشه اول (Tr. I)

این ترانشه در منطقه معدنی لالون - آبنیک ، در لایه فسفات دار جیروود و در ۷۰۰ متری غرب مسیر جاده زاگون - گرمابدر به طول ۲۷ متر در امتداد شمالی -

جنوبی حفر شده است. موقعیت دقیق این ترانشه در نقشه نشان داده شده است روباره حاصل از فرسایش سنگهای بالا دست در اطراف این ترانشه زیاد بوده است ، به طوریکه برای دسترسی به نمونه شیل فسفاتدار لازم بود که در بعضی قسمت ها تا عمق ۲ متری حفاری انجام پذیرد که با وسایل دستی به راحتی نمی توان تا چنین عمقی حفاری کرد. در عکس شماره (۶-۱) نمایی از این ترانشه نشان داده شده است.

### ۶-۳-۲- ترانشه دوم (Tr. II)

این ترانشه نیز در منطقه ذخیره لالون - آببیک و در منتهی الیه شرق لایه فسفات دار این محدوده به طول ۴۰ متر و در امتداد شمالی - جنوبی (عمود بر لایه ماده معدنی) حفر شده است. این ترانشه "عمدتاً" واحدهای سنگی شیل و ماسه سنگ آهکی فسفاتدار را قطع کرده است. ستون چینه شناسی قطع شده به وسیله این ترانشه متر به متر به تفکیک واحد نشان داده شده است. عکس شماره (۶-۲) نمایی از این ترانشه را نشان می دهد.

### ۶-۳-۳- ترانشه سوم (Tr. III)

این ترانشه بزرگترین ترانشه حفر شده در منطقه به طول ۴۷ متر در امتداد "قریباً" شمالی - جنوبی و در ذخیره لالون - آببیک است. محل این ترانشه در غرب ذخیره مذکور و در مسیر جاده زاگون - لالون است.

این ترانشه تماماً "در واحد سنگی فسفات دار سازند جیرود حفر شده و مناسب ترین برشی است که اکثر تناوب های شیل و ماسه سنگ را قطع کرده و می توان به راحتی لایه های این تناوب را مشاهده و برداشت کرد. نمونه از این ترانشه به مقدار کافی برداشت شده است که تمام آنها برای اندازه گیری  $P_2O_5$  به آزمایشگاه ارسال شده است. عکس شماره (۳-۶) نمایی از این ترانشه را نشان می دهد.



عکس شماره (۱-۶) نمایی از ترانشه Tr.I واقع در غرب جاده زاگون - گرمابد

در واحد شیلی - ماسه سنگی

### ۴-۳-۶- ترانشه چهارم (Tr . IV)

محل این ترانشه ۸۰۰ متری شرق جاده زاگون - لالون و در لایه فسفاتدار می باشد. طول این ترانشه در حدود ۲۲ متر و در امتداد شمال شرقی - جنوب غربی عمود بر لایه بندی حفر شده است. این ترانشه نیز واحدهای سنگی عمدتاً "شیلهای فسفات دار را قطع کرده است ولی تناوب ماسه و شیل در این قسمت چندان مشهود نمی باشد. تعداد ۲ نمونه سالم از این ترانشه به منظول تعیین عیار به آزمایشگاه ارسال شده که نتایج آن در ادامه ارائه شده است. در عکس شماره (۴-۶) نمایی از این ترانشه نشان داده شده است.

### ۴-۳-۷- ترانشه پنجم (Tr . V)

علاوه بر ترانشه هایی که در منطقه ذخیره لالون - آبیک حفر گردیده اند ، یک رشته ترانشه در جنوب این محدوده ، خارج از منطقه پنج کیلومترمربعی ذخیره مذکور به طول ۱۵ متر عمود بر لایه بندی در امتداد شمال غربی - جنوب شرقی حفر شده است. این ترانشه به منظور برداشت نمونه غیر هوازده از لایه فسفات دار جهت تعیین دقیق  $P_2O_5$  حفر گردید. علت دیگر انتخاب این محل ، نزدیک بودن آن به ذخیره لالون - آبیک بوده است. عکس شماره (۵-۶) نمایی از این ترانشه را نشان می دهد.



عکس شماره (۲-۶) - نمایی از ترانشه Tr.II واقع در شرق ذخیره



عکس شماره (۳-۶)- نمایی از ترانشه Tr.III واقع در غرب محدوده ذخیره



عکس شماره (۴-۶)-نمایی از تراشه Tr.IV حفر شده در لایه شیلی فسفات دار

## ۴-۶- نتایج مطالعات آزمایشگاهی

### ۴-۶-۱- مطالعات تیغه نازک و سنگ شناسی

از بین تمام نمونه های سنگی برداشت سنگ شده از منطقه فسفاتدار لالون -

آبنیک تعداد ۲۰ نمونه به منظور مطالعات میکروسکوپی و سنگ شناسی به آزمایشگاه

ارسال گردیده که از نتایج آن در تهیه نقشه زمین شناسی استفاده شده است. نتیجه

این مطالعات در ادامه به طور مفصل اورده شده است.

#### ۱- نمونه شماره PH - ۱-

- توصیف نمونه ماکروسکوپی

در نمونه دستی این سنگ به رنگ خاکستری و حاوی رگه های اکسید آهن است.

سختی آن تقریباً "زیاد می باشد و بر روی شیشه خط می اندازد. کانی غالب این سنگ

عمدتاً" کوارتز می باشد. این نمونه در تقسیم بندی سنگ های رسوبی قرار گرفته

است.

- توصیف میکروسکوپی

اندازه ذرات تشکیل دهنده این سنگ متوسط و جور شدگی آن ها نیز متوسط

است. از نظر مچوریتی (درجه بلوغ) این نمونه ساب مچور تا جزئی ایمچور است. بلورها

عمدتاً" نیمه گرد و نیم گوشه دار می باشند.

فراوان ترین کانی و نیز جزء آواری سنگ، کوارتز است که غالباً "به قطر متوسط

۰/۴ میلیمتر می باشند. جور شدگی و گرد شدگی متوسطی دارند و در برخی از بلورها نیز خاموشی موجی دیده می شود (متاکوارتز).

فلدسپات‌های این نمونه اغلب بی‌شکل و به مقدار کم بوده و دارای ماکل می باشند. گاهی این کانی‌ها به کانی‌های رسی - میکایی (سریسیت) تجزیه شده‌اند.

فلدسپات از نوع قلیایی (پتاسیک) و پلاژیوکلاز سدیک می باشند.

قطعات سنگی شامل قطعات آذرین و گاه شیشه‌ای با بافت‌های هیالین، میکروکریپتوکریستالین با ترکیب اسیدی و متوسط می باشند. در برخی از قطعات به فراوانی کانی‌های ریزدانه کدر اکسید آهن دیده می شود. همچنین قطعات چرت متشکل از کوارتز کریپتوکریستالین نیز وجود دارد.

اجزاء آواری خیلی ریز با فراوانی کم، همچنین کلسیت (گاه آغشته به اکسید آهن و تمرکزهای اغلب بی‌شکل) و کلریت (که در بخشی از مقطع قابل توجه است) را در فضای بین اجزاء آواری می توان مشاهده کرد.

- نام سنگ

ماسه سنگ دانه متوسط (ساب لیتارنایت فلدسپاتی، کربناتی)

(Subarkosic Litharenite)

## - نمونه شماره ۲ - PH - ۲ -

## - توصیف نمونه ماکروسکوپی

این نمونه سنگی رسوبی به رنگ قهوه ای است که از نظر دانه بندی و اندازه دانه ها، متوسط است. آثار اکسید آهن در آن به خوبی دیده می شود.

## - توصیف نمونه میکروسکوپی

اندازه ذرات در این سنگ متوسط و در حدود ۰/۷۵ تا ۰/۲۵ میلیمتر با جور شدگی متوسط، ساب مچور به طرف مچور با گردش دگی ضعیف و تراکم خوب می باشد. سیمان آن کمتر از ۵ درصد است که جنس آن سیلیسی و کربناتی آغشته به اکسید آهن است. کانیهای این سنگ متشكل از دانه های نیمه گوشه دار کوارتز و کمی فلدسپات (پلاژیوکلاز سدیک و فلدسپات آلکالن) می باشد. و به ندرت کانیهای ریز مسکویت دیده می شود. قطعات سنگی عمدتاً "قطعات چرت و متشكل از کوارتز کریپتوکریستالین و گاهی کانیهای کدر در قسمت های مختلف مقطع دیده می شود (۵ درصد کل سنگ).

اکثر دانه ها به هم اتصال مستقیم داشته و فاقد زمینه می باشند ولی گاهی بین دانه ها، فضاهای کوچکی است که متشكل از سیلیس و گاهی سیمان آهکی با آغشتنگی به اکسید آهن، می باشد.

## - نام سنگ

(Subarkosic Litharenite) ماسه سنگ

## - ۳- نمونه شماره PH-4

## - توصیف نمونه ماکروسکوپی

این نمونه، سنگی کربناتی به رنگ خاکستری تیره متمایل به قهوه ای، دارای لکه های کوچک سفید رنگ است که با اسید کلریدریک رقیق می جوشد.

## - توصیف نمونه میکروسکوپی

این سنگ با بافت کریپتوکریستالین تا میکروکریستالین مشخص می شود. درخششایی از آن آغشتگی به اکسید آهن دیده می شود. فضاهای خالی با کلسیت شفاف میکرواسپار تا اسپاری اشغال شده است. این نمونه دارای قطعات فسیلی نسبتاً ریز نیز می باشد.

آلومینیم های آن عمدتاً "قطعات فسیلی هستند که پوسته آنها غالباً" با کلسیت میکرو اسپار پر شده است. اندازه تقریبی قطعات فسیلی از حدود  $0.3 \text{ میلیمتر}$  تا نزدیک به  $1/5 \text{ میلیمتر}$  می باشد.

ارتوكام آن نیز شامل کلسیت کریپتوکریستالین تا میکروکریستالین است گاه اکسید آهن به صورت رگچه های باریک نیز دیده می شود که در فضاهای خالی موجود در سنگ، متبلور شده است.

## - نام سنگ

بایومیکرایت به طرف بایومیکرواسپاریت

**۴- نمونه شماره ۷ PH -****- توصیف نمونه ماکروسکوپی**

این نمونه سنگی کربناته، ریزدانه و خاکستری نسبتاً "تیره است که دارای لکه های سفید رنگ می باشد. با اسید کلریدریک می جوشد و با ماده آلیازارین قرمز می شود (حاوی کلسیت).

**- توصیف نمونه میکروسکوپی**

این سنگ بسیار ریز دانه و متتشکل از دانه های میکروکریستالین کلسیت است که به طور یکنواخت و یک دست در همه مقطع دیده می شود. آلوکم (از جمله آثار فسیلی) در این سنگ دیده نمی شود. گاهی رگچه های کوچکی دیده می شود که در آن کلسیت کمی درشت تر متببور شده است و در حال حاضر هیچ نوع حفره و یا فضای خالی وجود نداشته و سنگ کاملاً "متراکم" است. بعضی از دانه ها آغشته مختصر و ضعیفی به اکسید آهن دارند. محیط رسوبگذاری بسیار آرام و به دور از تلاطم و امواج بوده است.

**- نام سنگ**

آهک میکروکریستالین

## PH-۹ - نمونه شماره ۵-

## - توصیف نمونه ماکروسکوپی

این نمونه سنگی رسوبی قهوه ای (آهن دار) است که از نظر دانه بندی و اندازه دانه ها متوسط است. رگه های اکسید آهن به رنگ قهوه ای در آن کاملاً مشخص است. این نمونه شیشه را خط می اندازد (حاوی مقادیر زیادی کوارتز)

## - توصیف نمونه میکروسکوپی

اندازه ذرات تشکیل دهنده، متوسط با جورشدگی متوسط می باشند. گردش دگی دانه ها متوسط، نیمه گرد تا نیمه گوشه دار است. تراکم خوبی داشته و از نظر مچوریتی، ساب مچور تا مچور می باشد. عمدہ کانی تشکیل دهنده این سنگ کوارتزها می باشند که غالباً بی شکل با جورشدگی و گردش دگی متوسط هستند. قطر دانه ها غالباً تا حدود ۰/۶ میلیمتر است. اغلب این بلورها با حاشیه ظریفی از اکسید آهن احاطه شده اند.

فلدسباتهای این نمونه بی شکل و گاه نیمه شکل دار و ماکله بوده (تعدادی میکروسکلین بنز قابل تشخیص است) و گاهی آثار تجزیه به کانیهای رسی و سریسیت در آنها دیده می شود.

قطعات سنگی تشکیل دهنده این سنگ، چرت مت Shank از کوارتز کریپتوکریستالین و به ندرت قطعات آذرین با بافت ها میکروکریستالین و

کریپتوکریستالین و ترکیب متوسط تا اسیدی می باشد. در بعضی از قطعات، کانیهای

کدر دیده می شود. قطعات کربناته و معمولاً "فروژینه نیز دیده می شود.

سیمان و ماتریکس در این سنگ کم و تا حدود ۵ درصد است و شامل کانیهای

کریپتوکریستالین سیلیس، اکسید آهن و گاه کربناته با آغشتگی شدید به اکسید آهن

است.

همچنین در این سنگ مسکویت نیز دیده می شود.

#### - نام سنگ

ماسه دانه متوسط (ساب آركوز قطعه سنگ دار کربناتی و سیلیسی) فروژینه

(Ferogineous Subarkosic Litharenite)

#### - نمونه شماره PH - 10

##### - توصیف نمونه ماکروسکوپی

این نمونه، سنگی آذرین درونی به رنگ خاکستری است که در آن رگه های

کربناتی تشکیل شده است. این سنگ از نظر ترکیب شیمیایی متوسط متمایل به کمی

بازیک است.

##### - توصیف نمونه میکروسکوپی

در این سنگ آثاری از بافت دانه ای (گرانولار) دیده می شود که در اثر

آلتراسیون و تجزیه بافت اولیه سنگ در حال متلاشی شدن می باشد.

کانیهای تشکیل دهنده این سنگ از فلدسپات و کانیهای ثانویه تشکیل شده است. از کانیهای مافیک اثری به جا نمانده و در اثر آلتراسیون به طور کامل از بین رفته اند. در حال حاضر کانیهای تشکیل دهنده آن عبارتند از: پلاژیوکلاز، فلدسپات آلکالن، کانیهای ثانویه و... پلاژیوکلازهای این سنگ، با ترکیب شیمیایی آندزین هستند. اکثر بلورها به حالت متقطع نسبت به هم قرار دارند و متمایل به ترکیب بازیک هستند. غالباً "به پرهیت و کربنات تجزیه شده و گاه در بعضی از بلورها نیز جایه جایی با کلریت دیده می شود. بعضی از بلورها نیز کوارتز آزاد کرده اند.

مقدار فلدسپات های آلکالن این نمونه جزئی است و ترکیب آنها پتاسیک می باشد. آلتراسیون در این کانیها مشابه تجزیه پلاژیوکلازها می باشد. کانیهای ثانویه این سنگ کلریت، کربنات، کوارتز، پرهیت و... می باشند.

کلریت ها در جایه جایی با بلورهای فلدسپات دیده می شوند و همچنین احتمالاً حاصل آلتراسیون کانیهای مافیک سنگ اولیه نیز می باشند. پرهیت حاصل تجزیه فلدسپاتها است. کانیهای فرعی به تعداد نسبتاً "چشمگیری دیده می شود که غالباً" شکل دار و نیمه شکل دار بوده و بعضی از آنها متمایل به اشکال اسکلتی می باشند. اکثراً به حالت تنگاتنگ با کربنات ها دیده می شود.

- نام سنگ

(مونزو) دیوریتیک گابرو به شدت تجزیه شده

## ۷- نمونه شماره PH-11

### - توصیف نمونه ماکروسکوپی

این نمونه سنگی کربناتی به رنگ خاکستری دارای رگه های نسبتاً "فراوان و متقطع قهوه ای و سفید است. این رگه ها با اسید کلریدریک رقیق در سطوح مختلف واکنش های متفاوتی دارند، اکثراً با آن می جوشند ولی در یکی از سطوح، واکنش کمتر بوده و فقط صدای جوشش به گوش می رسد.

### - توصیف نمونه میکروسکوپی

این سنگ از بلورهای تقریباً "یک دست کربنات به صورت میکرواسپاری تشکیل شده است که عمدتاً" از نوع کلسیت می باشد. ممکن است مقادیری نیز دولومیتیزه شده باشند. در بخش هایی از مقطع، بلورها کمی درشت تر شده اند. رگه های موجود در سنگ که گاه به ضخامت حدود ۱ میلیمتر هستند با کلسیت اسپارتی پرشده اند که غالباً به همراه اکسید آهن هستند که به موازات بلورها دیده می شوند. گاه اکسید آهن به موازات رخ های بلور نیز دیده می شود و بعضی از بلورها با آن حاشیه دار شده و به صورت خطوط قهوه ای دیده می شوند. هیچ منفذ، حفره و یا رگه خالی دیده نمی شود و سنگ به حالت متراکم است.

### - نام سنگ

میکرواسپارایت

## PH - 12 - نمونه شماره ۸-

## - توصیف نمونه ماکروسکوپی

این نمونه سنگی رسوبی بسیار ریز دانه به رنگ خاکستری تیره متمایل به سیاه به حالت ورقه ای و دارای لایه بندی مشخص و تورق خیلی ظریف است.

## - توصیف نمونه میکروسکوپی

بافت این سنگ میکرو و کریپتوکریستالین است که شامل دانه های پراکنده کوارتز در زمینه ای تیره رنگ شامل کانیهای فیلوسیلیکاته (عمدتاً سریسیت) می باشد. کانیهای کدر آن اکسیدهای آهن (احتمالاً لیمونیت) و کمی کربنات است.

## - نام سنگ

سنگ رسوبی بسیار ریزدانه (شیلی؟) (Shale – Siltyshale)

## PH-13 - نمونه شماره ۹-

## - توصیف نمونه ماکروسکوپی

این نمونه سنگی رسوبی به رنگ خاکستری تیره متمایل به سیاه، دارای سختی زیاد به طوریکه شیشه را خط می اندازد.

## - توصیف نمونه میکروسکوپی

این سنگ دارای بافت دانه ای یا آواری ریز، گاه موزائیکی است. با توجه به نمونه دستی و ویژگیهای بافتی نمونه، در اصل سنگ رسوبی دانه متوسط تا ریز آواری

یا ماسه سنگی بوده که دیاژنز و دگرگونی خفیف در آن تغییراتی را به وجود آورده است.

عمده کانی این سنگ کوارتز است که غالباً "دانه متوسط تا ریز و بی شکل بوده و معمولاً" جهت دار و تداوم یافته اند، به طور موضعی آرایش موزائیکی نیز می یابند. به ندرت فلدسپات ریز و بی شکل، مسکویت به صورت ورقه های ریز و ظرف، تورمالین، زیرکن، کانیهای کدر و اکسید آهن می باشد. به مقدار بسیار کم گلوکونیت نیز تشکیل شده است.

#### - نام سنگ

ماسه سنگ آهکی ریز و مقداری دگرگون شده.

#### - ۱۰- نمونه شماره PH-14

##### - توصیف نمونه ماکروسکوپی

این نمونه، سنگی خاکستری تیره با لکه های فراوان سفید رنگ کربناتی است که به مقدار قابل توجهی کوارتز دارد.

##### - توصیف نمونه میکروسکوپی

این سنگ از قطعات مختلف سنگی و بلوری تشکیل شده که دارای حواشی غالباً "گرد بوده و در اندازه های تقریبی  $1/5$  تا کمی بزرگتر از  $1/5$  میلیمتر دیده می شوند. این قطعات دارای سیمان کربناتی (کلسیت) می باشند که غالباً به صورت کلسیت اسپاری شفاف و گاهی با ادخالهایی از دانه های کدر ریز می باشند. در این

سنگ قطعات بلوری و سنگی دیده می شود. قطعه بلوری در این نمونه شامل کوارتز است که به صورت دانه های نیمه گرد و به قطر تقریبی  $0.5/3$  میلیمتر مشاهده می شوند. در داخل سنگ قطعات فراوانی مشاهده می شود که شیشه ای بوده و در نور پلاریزه ایزوتروپ و در نور طبیعی به رنگ قهوه ای و زرد متمایل به قهوه ای دیده می شوند و به نظر می رسد که بیشتر آنها ژل فسفاته باشد. حواشی این قطعات کاملاً گرد بوده و در بعضی از آنها مقداری دویتیریفیکاسیون شیشه به سیلیس دیده می شود. بعضی از قطعات شیشه ای حاوی مقداری کانیهای کدر نیز می باشند که دارای بی رفرنژانس خاکستری بوده ولیکن به علت ریز دانه بودن قابل تشخیص دقیق میکروسکوپی نیستند. تعداد کمی از قطعات نیز شامل دانه های ریز و گوشه دار کوارتز در زمینه ای شیشه ای می باشند. به ندرت قطعات ریز حاوی کوارتز ری کریستالیزه نیز دیده می شود.

- نام سنگ: ماسه آهکی فسفاته

## 11- نمونه شماره PH-16

- توصیف نمونه ماکروسکوپی

این نمونه سنگی ولکانیکی تیره رنگ است که در آن لکه های قهوه ای و حفرات نسبتاً "بزرگ غالباً" سبزرنگ (پر شده بوسیله کلریت) مشاهده می شود.

## - توصیف نمونه میکروسکوپی

بافت این سنگ پرفیریتیک با زمینه میکرولیتی حفره دار (Vesicular) است. این نمونه شامل فنوکریست های پلازیوکلاز با ترکیب شیمیایی متوسط تا بازیک (حدود آندزین) است. بعضی از بلورها به طور ضعیف سریسیتیزه بوده و گاهی جایی با کلریت نیز دارند.

زمینه سنگ میکرولیتی و دارای بافت اینتر سرتال بوده و شامل میکرولیت های پلازیوکلاز است که فضای بین آنها با اکسید آهن، اپیدوت و کلریت اشغال شده است. در بخشی از مقطع به ندرت کمی کربنات نیز دیده می شود. حفره های گرد و گاه در ابعاد بزرگ در سنگ مشاهده می شود که تماماً "با کلریت اشغال شده اند.

## - نام سنگ

آنژیتیک بازالت اکسیده، کلریتیزه و اپیدوتیزه

## - ۱۲- نمونه شماره PH-17

## - توصیف نمونه ماکروسکوپی

این نمونه سنگی کربناتی به رنگ خاکستری دارای لکه های روشن و اثر اکسید آهن به رنگ قهوه ای است. این نمونه با اسید کلریدریک رقیق می جوشد. در یکی از سطوح بلورهای نسبتاً "براق دیده می شود.

### - توصیف نمونه میکروسکوپی

این سنگ غالباً "شامل دانه های ریز و میکروکریستالین کربنات است که با توجه به جوشش در نمونه دستی می بایستی نوع کلسیت باشند ولی با توجه به مشاهدات میکروسکوپی که شبیه دانه های دولومیت می باشند به نظر می رسد کلسیت دولومیتیزه شده باشند. بلورهای بزرگ کلسیت اسپاری شفاف و در بخش‌هایی دیده می شود.

آلوم کم های این نمونه قطعات فسیلی مختلف و متنوع دیده می شود که در اندازه های تقریبی  $0/5$  تا  $1/5$  میلیمتر می باشد. پوسته های فسیلی گاه با کلسیت شفاف اسپاری و گاه با میکرایت اشغال شده اند. گاهی پوسته بعضی از فسیل ها علاوه بر اشغال شدن توسط کلسیت کریپتوکریستالین و میکرایتی دارای تبلور ریز بلور غالباً "به اشکال مشخص لوزی نیز می باشند که به هر حال به صورت ری کریستالیزه می باشند. تعداد کمی تک بلورهای کلسیت اسپاری که قادر ساختمان داخلی فسیلی می باشند نیز دیده می شود.

ارتوكم آن نیز سیمان کلسیتی است که غالباً "شفاف و در اندازه میکرو کریستالین میکرو اسپار می باشند.

### - نام سنگ

بایو میکرواسپارایت (احتمالاً دولومیتیزه).

## PH-18 - نمونه شماره ۱۳-

## - توصیف نمونه ماکروسکوپی

این نمونه، سنگی کربناتی به رنگ خاکستری بالکه های سفید رنگ است.

با اسید کلریدریک رقیق واکنش داشته و به شدت می جوشد و با ماده آلیازارین قرمز می شود.

## - توصیف نمونه میکروسکوپی

این سنگ از کربنات کلسیم(کلسیت) به صورت میکروکریستالین میکریت و همچنین کلسیت های اسپاریت شفاف تشکیل شده است. قطعات فسیلی نسبتاً "فراوان" است.

آلومین های این نمونه قطعات مختلف فسیلی هستند که غالباً "ریزدانه بوده، پوسته آنها با کلسیت میکرولیتی پرشده است. این قطعات به صورت لکه های تیره دیده می شوند ولی ساختمان داخلی آنها مشخص نمی باشد. تعداد دیگر از این فسیلها با کلسیت میکرواسپاری پرشده اند این فسیلها کمی درشت تر می باشند (۰/۵ تا ۰/۷۵ میلیمتر) تعدادی از لکه های گرد و کوچک که دارای ساختمان فسیلی نیستند مشکوک به پلت هستند.

ارتوم کم این سنگ سیمان کلسیتی است که به صورت اسپاری شفاف فواصل بین آلوکم ها را پر کرده اند. گاهی بلورهای اسپاریتی، رشد بیشتری داشته و به ندرت همراه

با سیلیس دیده می شوند. تک بلورهای ریز کوارتز گاهی به ندرت به طور پراکنده دیده می شوند.

#### - نام سنگ

#### میکرواسپارایت

### ۱۴- نمونه شماره PH-20

#### - توصیف نمونه ماکروسکوپی

سنگی است ولکانیکی ، به رنگ خاکستری تیره دارای فنوکریستال های براق،  
که در یکی از سطوح به خاطر وجود اکسید آهن فراوان به رنگ قهوه ای دیده می شود.

#### - توصیف نمونه میکروسکوپی

بافت این سنگ پورفیرتیک ، زمینه میکرولیتی و ساب افیتیک (Subophitic) است و فنوکریست های آن شامل پلاژیوکلاز در اندازه های مختلف از حدود  $5/5$  تا  $2/5$  میلیمتر بوده و غالباً "شکلدار (Euhedral)" و لیکن به علت تجزیه کانی های سرسیت و اکسید آهن در اغلب موارد حدود و شکل قالب بلوری، تعیین کننده کانی اولیه است. در ضمن اطراف بعضی بلورها فلدسپات پتاسیک تشکیل شده است.

- کانیهای مافیک سالم و مشخص بوده و گاهی آثار و حدودی از قالب های بلوری دیده می شود که تماماً" به کانیهای اپک ، کلریت ، سرپانتین تجزیه کامل شده

است این احتمال می‌رود که این کانی‌ها از آلتراسیون اولیوین موجود در سنگ (صورت اولیه) بوجود آمده باشند.

- زمینه شامل میکرولیت‌های فلدسپات (عمدتاً "پلاژیوکلاز و ندرتاً" فلدسپات پتاسیک) که اکثراً به سرسیت (مسکویت دانه ریز) تجزیه شده‌اند.

دانه‌های نسبتاً فراوان و زیر پیروکسن در فضای بین فلدسپات‌ها وجود دارد و مقدار کمی دانه‌های ریز تماماً ایدنگزیته و کلریتیزه (احتمالاً اولیوین؟) در شکل مشاهده شد. در ضمن حفراتی نیز که با کلریت پر شده بود و در یک مورد نیز حفره پرشده کربنات مشاهده شد. تجمع اکسید آهن در بخش‌هایی از زمینه زیاد بود. کانی‌های فرعی شامل کانیهای اپک، مقدار کمی دانه‌های ریز اسفن - لوکوکسن می‌باشد.

#### - نام سنگ

تراکی آندریتیک بازالت

- نمونه شماره PH-22-

#### - توصیف نمونه ماکروسکوپی

شیل بسیار ریز دانه به رنگ قهوه‌ای تیره (گاهی متمایل به سیاه) دارای خط شکستگی و ترک‌های متقطع در یکی از سطوح خارجی

#### - توصیف نمونه میکروسکوپی

این سنگ بسیار دانه بوده و دارای بافت کریپتوکریستالین تا میکروکریستالین بوده کانی‌های فیلوسیلیکات شامل (عمدتاً) رس، میکا، کلریت) بوده که به صورت

رشته های بسیار ریز و ظریف دیده می شود. دانه های کوارتز در حدود ۱/۰ میلیمتر بطور پراکنده دیده می شود و کلسیت به صورت رگه های پهن و باریک و در بعضی موارد به صورت پراکنده در سنگ مشاهده شده است. به خاطر انشعاب رگه ها مقطع سنگ به حالت قطعه گونه (کاتاکلاست) دیده می شود. رگه های اکسید آهن نیز بصورت منشعب و متقطع دیده می شود.

بخش دیگر مقطع که در کنار این قسمت دیده می شود کمی درشت دانه تر بوده و عمدتاً "از سیلیس (دانه های مشخص کوارتز) و مقدار کمی رشته های فیلوسیلیکات تشکیل شده است. دانه های پراکنده کلسیت در این بخش بیشتر دیده می شود و امتداد رگه های کربناتی در این بخش نیز دیده می شود.

#### - نام سنگ

به علت نامتجانس بودن مقطع اسم کلی که بتواند همه قسمتها را پوشش دهد نمی توان انتخاب کرد قسمت ریز دانه بیشتر در حد شیل (Shale) و قسمت کمی درشت تر در حد سیلیستون می باشد که هر دو قسمت شامل آهکی می باشند.

#### ۱۶- نمونه شماره PH-28

##### - توصیف نمونه ماکروسکوپی

سنگی است رسوبی (ماسه سنگ) به رنگ خاکستری نسبتاً "تیره و دارای اثر اکسیداسیون به رنگ قهوه ای با اسید کلریدریک رقیق بطور خفیف صدای جوشش به گوش می رسد (حاوی کمی کلسیت)

### - توصیف نمونه میکروسکوپی

این سنگ نسبتاً "ریزدانه و عمدتاً" از دانه‌های کوارتز تشکیل شده است که متراکم و غالباً هم اندازه (دارای جورشدگی و سورتینگ خوب) و بصورت دانه‌های نیمه گرد - نیمه گوشه دار دیده می‌شوند.

در بخشی از سنگ مقدار کمی رشته‌های بسیار ظریف و کربپتوکریستالین کانی‌های فیلوسیلیکات نیز دیده می‌شود.

### - نام سنگ

فروژینوس آرنایت (کوارتز آرنایت) کم آهکی

### - نمونه شماره PH-36

از این نمونه دو تیغه نازک تهیه شده است. تیغه دوم به منظور تشخیص جنس پلت‌های موجود در این سنگ بوده است. نتیجه این مطالعات به شرح زیر است.

### - توصیف نمونه ماکروسکوپی

این نمونه سنگی رسوبی خاکستری تیره است که حاوی دانه‌های ریز تیره (قهقهه‌ای) و همچنین پلت‌هایی در حدود حداقل یک سانتی متر می‌باشد. در قسمت هایی از این سنگ جوشش با اسید کلریدریک مشاهده می‌شود.

### - توصیف نمونه میکروسکوپی

این سنگ نسبتاً ریزدانه بوده و شامل دانه‌های حدود  $0/2$  تا  $0/4$  میلیمتر است.

به مقدار جزئی فلدسپات‌های این سنگ سریسیتیزه شده اند که در بستری آهکی

"این سنگ عمدتاً" از دانه های نیمه گوشه دار و کوارتز است که غالباً به حالت موزائیکی به هم اتصال مستقیم دارند. در بخشهايی که ماتریکس کمی دیده می شود، حاوی کانیهای اکسید آهن (نسبتاً فراوان) و فیلوسیلیکات است. در این قسمت گاهی کانیهای کدر نیز مشاهده می شود.

#### - نام سنگ

کوارتز آناریت (ماسه سنگ)

#### ۱۹- نمونه شماره PH-90

##### - توصیف نمونه ماکروسکوپی

این نمونه، سنگی رسوبی خاکستری روشن است که لکه های روشن (کرم و قهوه ای) در آن وجود دارد. این سنگ شیشه را خط می اندازد.

##### - توصیف نمونه میکروسکوپی

ذرات این نمونه در حد متوسط و با جورشدگی متوسط است. دانه ها عمدتاً گوشه دار و نیمه گرد بوده و از نظر مچوریتی، ساب مچور می باشد.

این سنگ شامل دانه های نیمه شکل دار نیمه گرد کوارتز(بیشتر متمایل به گوشه دار) است. که گاه خاموشی موجی دارند. (احتمالاً) تحت تأثیر مختصری فشار وارد (کوارتز فراوان ترین جزء آواری را در این سنگ تشکیل می دهد). فلدسپات به تعداد خیلی کم و به ندرت دیده می شود. تورمالین، کانیهای کدر اکسید آهن، زیرکن و کربنات خیلی ناچیز از دیگر اجزاء موجود می باشد. همچنین تجمع بلورهای بسیار

ریز سریسیت نیز در بخش‌هایی دیده می‌شود که گاه تشکیل دهنده ماتریکس بوده و بین بلورها دیده می‌شوند.

به ندرت قطعات چرت متشکل از کوارتز کریپتوکریستالین نیز مشاهده می‌شود. سیمان در بخش‌هایی عمدتاً "متشکل از اکسید آهن و همچنین کانیهای کربناتی با آغشتگی شدید به اکسید آهن است. سیمان کم در بخش‌هایی از مقطع و در بین تعداد کمی از دانه‌های کوارتز دیده می‌شود به طوریکه این قسمتها به صورت پیچ گونه به نظر می‌رسد.

#### - نام سنگ

ماسه سنگ کوارتز آرنالیتی مقداری فروژینه

#### ۲۰- نمونه شماره PH-91

##### - توصیف نمونه ماکروسکوپی

این نمونه سنگی رسوبی خاکستری تیره است که دارای آثار اکسید آهن در سطوح سنگ می‌باشد.

##### - توصیف نمونه میکروسکوپی

ذرات این نمونه ریز تا متوسط و با جور شدگی و گردش دگی متوسط می‌باشند. از نظر مچوریتی بافتی ساب مچور تا مچور است.

این نمونه نیز از انواع سنگ های رسوبی آواری یا ماسه سنگی است که شامل اجزاء آواری در حد ماسه ریز است که توسط کانیهای کربناته و گاه مخلوط کلسیت و اکسید آهن، سیمانی شده اند.

کوارتز و مقادیری متاکوارتز فراوان ترین کانی آواری موجود می باشد. قطر این بلورها به  $3^{\circ}$  میلیمتر و گاهی بزرگتر می رسد. فلدسپاتهای ریز بی شکل و به تعداد جزئی، مسکویت های ورقه ای کشیده که گاه در امتداد یکدیگر واقع شده و در جهت خاصی آرایش یافته اند، کمی زیرکن، کانیهای کدر اکسید آهن، تورمالین (به ندرت) و گلوکونیت نیز از اجزاء دیگر سنگ می باشند. رگچه هایی حاوی کلسیت و کانیهای کدر اکسید آهن نیز در نمونه مشاهده می شود.

#### - نام سنگ

ماسه سنگ آهکی دانه ریز (ماسه سنگ سیلتی) فروژینه

#### ۴-۲-۶- نتایج آنالیز شیمیایی

جهت انجام آنالیز شیمیایی نمونه ها و تعیین مقدار  $P_2O_5$  سنگهای منطقه و همچنین به منظور کنترل نتایج آزمایشگاهی در چند نوبت، تعدادی نمونه به آزمایشگاه ارسال گردید. لازم به توضیح است که تمامی نمونه های ارسالی به آزمایشگاهها پس از انجام تست شاپیرو (قسمت فسفاته) انتخاب شده اند.

در نوبت اول تعداد ۴۳ نمونه از شیلهای فسفاته مشخص گردید و به آزمایشگاه کرج فرستاده شد. دامنه تغییرات عیار در این شیلهای در محدوده ۰/۲ تا ۴/۵ درصد بوده است. به منظور حصول اطمینان از نتایج سری اول، تعداد ۵ نمونه تکراری از نمونه های مرحله اول و ۶ نمونه جدید به آزمایشگاه پژوهشگران شیمی ارسال گردید. نتایج نمونه های تکراری نزدیک به نتایج قبلی بوده است و به گونه ای می توان با این نتایج به دقت هر دو آزمایش پی برد.

جدول شماره (۳-۶)- نتایج آنالیز شیمیایی شیل های فسفاته ارسالی به آزمایشگاه کرج

ردیف	شماره نمونه	(%)P2O5	ردیف	شماره نمونه	(%)P2O5
1	PH-12	1.09	23	PH-60	1.83
2	PH-15	0.34	24	PH-61	0.29
3	PH-24	0.47	25	PH-62	0.31
4	PH-25	0.34	26	PH-63	0.83
5	PH-26	1.94	27	PH-64	0.72
6	PH-29	0.36	28	PH-65	0.36
7	PH-31	0.41	29	PH-66	0.57
8	PH-33	0.47	30	PH-67	0.29
9	PH-34	0.41	31	PH-69	0.40
10	PH-37	2.79	32	PH-70	0.52
11	PH-39	0.27	33	PH-71	4.51
12	PH-40	0.63	34	PH-73	0.21
13	PH-44	0.25	35	PH-74	2.62
14	PH-47	0.23	36	PH-75	1.67
15	PH-48	1.15	37	PH-76	3.64
16	PH-50	0.27	38	PH-77	0.34
17	PH-52	0.12	39	PH-78	0.59
18	PH-54	0.22	40	PH-79	1.33
19	PH-56	0.88	41	PH-80	0.79
20	PH-57	0.17	42	PH-81	0.43
21	PH-58	0.72	43	PH-82	0.36
22	PH-59	0.17			0

پس از تأیید نتایج آزمایشگاهی، در نوبت سوم، تعداد ۲ نمونه از شیلهای پر عیار

و از ماسه سنگهای منطقه به آزمایشگاه پژوهشگران شیمی فرستاده شد. مقدار  $P_2O_5$

در نمونه شیلی ۱۳/۱ درصد و در نمونه ماسه سنگی ۲۷/۶ درصد تعیین شده است.

در مرحله بعد به منظور کنترل آزمایشگاه کرج تعداد چهار نمونه تکراری از

پودر نمونه های ارسالی در مرحله اول انتخاب گردید و مجدداً "به آزمایشگاه کرج

ارسال گردید که نتایج این نوبت نیز تأییدی بر نتایج مرحله اول است.

در مرحله آخر نتایج آنالیز شیمیایی به تفکیک شماره نمونه و آزمایشگاه در

جداول جداگانه آورده شده است.

جدول شماره (۴-۶)- نتایج نمونه های کنترلی شیلهای فسفاته ارسالی به

#### آزمایشگاههای کرج و پژوهشگران شیمی

ردیف	شماره نمونه	کرج ( $P_2O_5$ )	( $P_2O_5$ ) پژوهشگران شیمی
1	PH-37	2.79	2.32
2	PH-54	0.22	0.68
3	PH-56	0.88	1.06
4	PH-67	0.29	0.36
5	PH-71	4.51	2.1

اختلاف های ناچیز بین دو آزمایشگاه ناشی از این مطلب است که نمونه پودر

شده آزمایشگاه اول به آزمایشگاه دوم ارسال نشده است.

در نوبت بعدی تعداد ۳ نمونه از ماسه سنگهای فسفاتی منطقه به آزمایشگاه پژوهشگران شیمی ارسال گردید که از سه لایه مختلف فسفاته بوده است. عیار P2O5 در این سه نمونه بیش از ۱۰ درصد می باشد. در جدول (۷-۶) نتایج این آنالیزها آورده شده است.

جدول شماره (۵-۶)- نتایج آنالیز نمونه های ارسالی به آزمایشگاه پژوهشگران شیمی (مرحله دوم)

ردیف	شماره نمونه	کد آزمایشگاهی	P2O5 (%)
1	PH-3	2922	0.63
2	PH-19	2923	0.20
3	PH-21	2924	1.04
4	PH-36	2925	0.57
5	PH-49	2927	0.35
6	PH-51	2928	0.40

جدول شماره (۶-۶)- نتایج آنالیز شیمیایی مرحله سوم (آزمایشگاه پژوهشگران شیمی)

ردیف	شماره نمونه	جنس سنگ	P2O5 (%)
1	PH-93	ماسه سنگ پر عیار	27.6
2	PH-94	شیل پر عیار	13.1

جدول شماره (۷-۶)- نتایج آنالیز نمونه های ماسه سنگ فسفاته (پژوهشگران شیمی)

ردیف	شماره نمونه	شماره آزمایشگاهی	P2O5 (%)
1	PH-86	4216	16.7
2	PH-88	4217	10.4
3	PH-89	4218	24.7

پس از دریافت این نتایج تعداد ۸ نمونه دیگر از ماسه سنگهای فسفاته منطقه

جهت اندازه گیری P2O5 به آزمایشگاه پژوهشگران شیمی فرستاده شد که نتایج آن در جدول (۸-۶) آورده شده است.

جدول شماره (۸-۶)- نتایج آنالیز نمونه های ماسه سنگی در آخرین مرحله

(پژوهشگران شیمی)

ردیف	شماره نمونه	شماره آزمایشگاهی	P2O5 (%)
1	PH-85	6	6.14
2	PH-87	7	16.4
3	PH-95	8	12.2
4	PH-96	9	5.6
5	PH-97	10	15.6
6	PH-98	11	11.2
7	PH-99	12	8.8
8	PH-100	13	22.9

همچنین در آخر جهت کنترل نتایج آنالیز آزمایشگاه کرج تعداد ۴ نمونه از

پودرهای مرحله اول به صورت انتخابی به آن آزمایشگاه ارسال گردید. نتایج این نمونه

ها نزدیک به نتایج قبلی بوده، که دقیق آزمایشگاه مذکور را می رساند. در جدول (۹-۶)

نتایج آنالیز کنترلی نشان داده شده است.

جدول شماره (۹-۶)- نتایج آنالیز کنترلی (آزمایشگاه کرج)

ردیف	شماره نمونه	مرحله اول (P2O5)	مرحله دوم (P2O5)
1	PH-52	0.12	0.11
2	PH-54	0.22	0.19
3	PH-59	0.17	0.15
4	PH-71	4.51	4.39

### ۴-۳-۶- نتایج مطالعات XRD

از بین نمونه های فسفات دار تعداد سه نمونه جهت تشخیص کانیهای تشکیل دهنده و تعیین نوع فسفات به آزمایشگاه ارسال گردید. نتیجه ای که از این آزمایشات به دست آمده، نشان می دهد که کانیهای عمدت تشکیل دهنده سنگ فسفاته عمدتاً کوارتز، فلدسپات و سریسیت می باشد. کانیهای فسفاته عمدتاً به صورت آمورف بوده و سیمان ژلی در بین دانه ها و بلورها قرار گرفته اند. به همین دلیل کانیهای فسفاته در این سنگها توسط مطالعات XRD تشخیص داده نشده است.

### ۴-۴-۶- نتایج مطالعات XRF

از آنجایی که عمدتاً در کانی سازی های فسفات، مقدار عناصر کمیاب و نادر خاکی نسبت به مقدار زمینه افزایش نشان می دهنده، تصمیم بر این شد که یک نمونه از ماسه سنگهای پرعیار و یک نمونه از شیلهای پرعیار انتخاب شود و میزان این عناصر مهم مورد بررسی قرار گیرند. البته با دو نمونه نمی توان صریحاً مشخص کرد که کدام عنصر از خود غنی شدگی نشان داده است. با این وجود دو نمونه به آزمایشگاه فرستاده شد که نتایج آنها در جدول (۱۰-۶) و (۱۱-۶) آورده شده است.

با توجه به این نتایج می توان گفت که مقدار عناصر Y, Ce, Pb, Sr, Ba, S در مقایسه با مقدار متوسط آنها در پوسته افزایش یافته است.

جدول (۱۰-۶) بررسی ترکیبات اکسیدی نمونه های پرعیار و مقایسه آن با فسفات جیروود

نمونه فسفات جیروود	PH-94 (شیل)	PH-93 (ماسه سنگ)	اکسید مشکله
22.50	35.46	21.41	SiO <sub>2</sub>
2.60	15.10	3.71	Al <sub>2</sub> O <sub>3</sub>
0.43	0.26	0.33	Na <sub>2</sub> O
0.46	0.73	0.56	MgO
0.21	2.21	0.74	K <sub>2</sub> O
0.09	0.88	0.17	TiO <sub>2</sub>
0.38	0.16	0.16	MnO
36.40	19.15	30.66	CaO
22.4	9.58	17.28	P <sub>2</sub> O <sub>5</sub>
6.30	4.45	3.76	Fe <sub>2</sub> O <sub>3</sub>

جدول (۱۱-۶) بررسی عناصر همراه در دو نمونه پر عیار و مقایسه آن با مقدار متوسط پوسته

میانگین در پوسته زمین	PH-94 (ppm)	PH-93 (ppm)	عنصر همراه
2.7	1	1	U
8.75	1	1	Th
-	253	449	Cl
360	5945	10010	S
45.5	287	282	Ba
9.6	76	53	Ce
2	3	1	Co
62.5	46	28	Ca
26	14	33	Cu
-	4	8	Nb
35	43	39	Ni
17.5	81	149	Pb
91.5	58	12	Rb
160	650	802	Sr
75	15	22	V
1.7	1	1	W
22.5	109	125	Y
190	193	153	Zr
70	33	24	Zn
23	45	32	La

افزایش عناصر Ba, Sr می‌تواند در ارتباط با نوع سنگ و جایگزینی آنها به جای کلسیم باشد. ولی افزایش مقدار Y, Ce می‌تواند حائز اهمیت باشد و می‌توان در آینده بر روی این عناصر کار بیشتری انجام گیرد.

## ۵-۶- حفاری و مطالعات تکمیلی پروژه

پس از انجام کارهای صحرائی، آزمایشگاهی و مطالعات دفتری، گزارشی به صورت پیش نویس برای بررسی و ارائه نظر توسط کارشناسان محترم کارفرما تهیه گردید که پس از مطالعه ایشان بازدیدی از منطقه به عمل آمد. در نتیجه چنان تصمیم گیری شد که برای مطالعات دقیق تر در منطقه حفاری و نمونه برداری بیشتری انجام گیرد. این مهندسان مشاور نیز به حفر ترانشه و نمونه برداری تکمیلی در منطقه ذخیره لالون - آبنیک پرداخته است که در ادامه به آنها اشاره می شود.

### ۱-۵-۶- حفاری های تکمیلی

به منظور بررسی های بیشتر روی افق فسفاتدار منطقه آبنیک - لالون تعداد سه ترانشه ۸,۷,۶ عمود بر لایه بندی در افق های فسفاتدار زده شد و پس از رسم مقاطع ترانشه ها نمونه برداری دقیق از لایه های موجود انجام شد و نمونه ها جهت انجام آزمایشات X.R.F به آزمایشگاه مربوطه فرستاده شد که به نتایج و تعبیر و تفسیر آنها در ادامه بحث پرداخته می شود.

### ۱- ترانشه شماره VI

این ترانشه در محور جاده دزاگون - آبنیک در سمت چپ جاده و در بالای ترانشه شماره ۱ حفر گردیده که محل دقیق آن روی نقشه زمین شناسی ۱/۱۰۰۰

پیاده شده است . این ترانشه با طول ۲۰ متر در منطقه عمود بر لایه بندي حفر شده است.

از این ترانشه تعداد شش نمونه که از افقهای فسفات برداشت شده است که با شماره های PH(110-111A-111B.....114) مشخص شده است. تمام لایه های موجود در منطقه با شبیبی حدود ۷۵ ° به سمت شمال در کل منطقه گستردگی شده اند . عکس شماره ( ۶-۵ ) دور نمایی از این ترانشه را به نمایش می گذارد .



عکس شماره ( ۵-۶ ) نمایی از ترانشه شماره ۶ (نگاه به سمت شمال)

## -۲- ترانشه شماره VII

این ترانشه در محور جاده لالون ، نرسیده به دهکده لالون در سمت راست جاده در فاصله حدود ۲۰۰ متری از جاده در قاعده سازند جیروود حفر شده است .

از این ترانشه که ۱۸ متر طول دارد تعداد شش نمونه فسفاته به شماره های PH(120-121-122-123-124-125) برداشت شد و جهت تعیین میزان ۳۲ عنصر موجود تحت آزمایشات X.R.F قرار گرفت.

لازم به ذکر است که جهت دستیابی به نمونه های سالم و هوانزده عمق حفاری ها تا آنجا که ممکن بوده بالا برده شده و حتی در بسیاری از موارد از چکش و قلم برای دسترسی به نمونه های سالم استفاده شده است. (جهت نزدیک شدن به عیار واقعی لایه ها)

قطع این ترانشه ها دقیقاً با در نظر گرفتن لیتولوژی و عیار با مقیاس ۱:۱۰۰ رسم شده که ضمیمه گزارش می باشد. روی نقشه زمین شناسی محل این ترانشه نشان داده شده است. عکس شماره (۶ - ۶) دور نمائی از این ترانشه را به نمایش می گذارد.

مطلوب قابل توجه اینکه درست در کنار جاده، ترانشه ای که جهت جاده سازی زده است مقطع کاملی از سازند های موجود در منطقه را در معرض دید قرار می دهد. در این مقطع کلیه واحد های سازند جیروود شامل تناوب های شیل - آهک و شیل - ماسه سنگ و در انتهای لایه ملافیری (به عنوان آخرین قسمت از بخش A سازند جیروود ) مشاهده می شود.

این مقطع می تواند به عنوان یک مقطع تیپ مورد استفاده قرار گیرد چون از طرفی تمام لایه های موجود را قطع می کند و از طرفی به علت نزدیکی به جاده دسترسی خوبی دارد. عکس شماره (۷-۶) از ترانشه شماره VII می باشد.

### ۳- ترانشه شماره VIII

جهت اطمینان از ادامه دار بودن لایه های فسفاته در بالا دست ترانشه شماره VII ترانشه ای به طول ۱۹ متر به موازات آن حفر شد نمونه های این مقطع با شماره های (130-131) PH می باشد.

مشخصاً لایه های فسفاته این قسمت با تغییرات کم ضخامت و عیار در هر دو ترانشه قابل تعقیب می باشند.

بالاتر از این ترانشه متأسفانه به خاطر واریزه های کوارتزیتی و آهکی قاعده میلا (بخش C) ادامه لایه های فسفاته جیروود قابل پیگیری نیست ولیکن با فاصله ۱۰۰ متر جلوتر بر اثر عملکرد یک گسل کوچک مقیاس امتدادی چپ لغز دوباره لایه های فسفاتدار مشاهده شده و این امتداد تا منطقه زاگون - آبنیک ادامه می یابد.



عکس شماره (۶-۶) ترانشه شماره ۷



عکس شماره (۶-۷) نمایی از ترانشه شماره ۸ (نگاه به سمت جنوب)

## ۶-۵-۲- مطالعات تکمیلی آزمایشگاهی

در این بخش جمیعاً تعداد ۲۲ نمونه از ماسه سنگهای آهکی فسفاتدار جهت

آزمایش XRF به آزمایشگاه فرستاده شد. این نمونه‌ها که از ترانشه‌های ۶، ۷، ۸ و

ترانشه کنار جاده برداشت شده است علاوه بر مقدار P2O5 تعداد ۹ اکسید دیگر

نیز مورد آزمایش قرار گرفته تا تغییرات عیار و اکسیدهای اصلی مورد بررسی قرار گیرد.

(که مقدار بقیه اکسیدها و ۲۰ عنصر همراه در پیوست بطور کامل آمده است)

کد نمونه	مشخصات	موقعیت	Cm ضخامت	P205% عیار فسفات
PH-101	پروفیل کنار جاده	VI	۱۵-	۱/۲۳۱
PH-102			۲۰-	۰/۲۲۷
PH-103			۸-	۱۵/۱۷
PH-104			۶-	۵/۵۳۶
PH-105			۱۵-	۸/۶۳
PH-106			۵-	۲۵/۴۵۸
PH-107			۴-	۵/۶۴۹
PH-108			۴-	۶/۲۴۳
PH-110	ترانشه	VII	۲-	۱۴/۶۰۷
PH-111A			۲-	۲۴/۰۹۰
PH-111B			۱۱-	۲۶/۷۷۱
PH-112			۵-	۱۹/۲۲۸
PH-113			۲-	۲۱/۷۴۳
PH-114			۷-	۲۰/۸۰۸
PH-120	ترانشه	VIII	۴۵	۶/۷۷۱
PH-121			۷-	۸/۰۲۶
PH-122			۱-	۱۷/۰۵۸
PH-123			۱۲-	۱۳/۴-۵
PH-124			۶-	۱۶/۰۷۵
PH-125			۱۰-	۱۴/۹۱۷
PH-130	ترانشه	VIII	۴-	۲۳/۲۸۲
PH-131			۹-	۱۶/۹۴۴

با توجه به جواب آنالیزهای XRF از نمونه های ماسه سنگهای آهکی فسفاتدار سه ترانشه و یک پروفیل زمین شناسی منطقه آببیک - لالون به این نتیجه می رسیم که دامنه تغییرات درصد P2O5 بین ۵% تا ۲۷% متغیر است. به این ترتیب می توان سه بازه برای تغییرات عیار ، بصورت زیر تعریف کرد .

-۱ واحدهای کم عیار که درصد P2O5 آنها بین ۵% تا ۱۰% است . از بین ۲۲ نمونه ارسالی تعداد ۶ نمونه در این محدوده قرار می گیرند .(با عیار متوسط ۷ درصد).

-۲ واحدهای عیار متوسط که درصد P2O5 بین ۱۰% تا ۱۵% بوده و میانگین آن در حدود ۱۴/۳ درصد است .

-۳ واحدهای عیار بالا با بیش از ۱۵ درصد P2O5 و میانگین ۲۰/۶ درصد.

همانگونه که قبلانیز اشاره شد در حال حاضر با توجه به شرایط تکنولوژیکی استفاده از عیارهای زیر ۱۵ % مقرن به صرفه اقتصادی نمی باشد . بنا براین در تخمین ذخیره زمین شناسی فقط مشخصات واحد های با عیار بالای ۱۵% در نظر گرفته شده است.

باتوجه به این مطلب که پروفیل شماره ۲، ترانشه شماره ۷ و ۸ همگی در یک امتداد در افق فسفاته در ناحیه راست جاده لالون می باشند. اطلاعات حاصل از این سه مقطع می تواند علائمی را دال بر ممتد بودن لایه فسفاته می باشد.

با توجه به مطالب بالا به نظر می رسد که لایه های فسفاته با عیارهای مختلف در بعضی مواقع به صورت لنزها وعدسی های فسفاته و در اکثر موارد به صورت لایه های دنباله دار در منطقه قابل پیگیری می باشند.

در بین مقاطع و ترانشه های موجود در منطقه، ترانشه شماره ۶ که در منطقه جاده زاگون-آبیک در سمت چپ جاده زده شده دارای نتایج امیدوار کننده ای است بدین ترتیب که از بین ۶ نمونه برداشت شده از این ترانشه همگی عیاری بالا از خود نشان می دهند. مقطع این ترانشه در پیوست است.

برای این قسمت از منطقه (ترانشه شماره ۶) با توجه به عیارهای موجود می توان عیاری معادل ۶۴/۲٪ را با ضخامتی حدود ۷/۲ متر در نظر گرفت.

## فصل هفتم

# منابع، فرآوری و موارد مصرف

## فسفات

### ۱-۱- منابع و ذخایر فسفات در جهان و ایران

سنگ فسفات به لحاظ جغرافیایی و زمین شناسی بطور وسیعی در سراسر کره زمین گسترش دارد و منابع موجود بسیار فراوان است به حدی که تا سالهای متتمادی کفاف نیازهای فعلی این کره را تامین می نماید. منابع سنگ فسفات آذربایجان در حدود پنج میلیارد و پانصد میلیون تن برآورد شده که این رقم در حدود ۴ درصد کل منابع دنیاست . لازم به یادآوریست که ارقام یاد شده در رابطه با منابع جهانی فسفات شامل کلیه معادن و کانسارها حتی آنهایی که در حال حاضر بدلایل مختلف از جمله اقتصادی ، کانه آرایی ، تکتونیکی و فنی در حال بهره برداری نمی باشند ، می گردد. کانسارهای فسفریت از پرکامبرین تا عهد حاضر گزارش شده اند. ویژگی مشخص فسفریتها پرکامبرین از نوع بدون پلت (Pellet) ولیکن فسفریتهای فانروزوئیک

از نوع پلت دار می باشند. فسفریت ها در دوران سوم دارای گسترش فراوانی بوده اند و اهمیت آنها نسبتاً زیاد است.

همچنین باید دانست که کانسارهای فسفریت در رسوبات الیگوسن، تریاس و سیلورین تاکربونیفر تحتانی گزارش نشده اند. محدوده زمانی کانسارهای فسفریت کشف شده عبارت است از میوسن تا پلیوسن (ذخایر فلوریدا و پرو)، کرتاسه تا ائوسن (ذخایر شمال و غرب آمریکا و خاورمیانه)، ژوراسیک (شوروی سابق)، پرمیون و اردویسین (ذخایر آمریکا)، کامبرین (ذخایر شوروی سابق و استرالیا). کانسارهای پروتروزوئیک فوقانی در ۶۰۰ تا ۸۰۰ میلیون سال قبل تشکیل شده اند نظیر ذخایر ولتا و چین و کانسارهای پروتروزوئیک میانی در ۱۲۰۰ تا ۱۶۰۰ میلیون سال قبل نظیر ذخایر استرالیا اکثر فسفریتهای کشف شده در محدوده عرض جغرافیایی کم تشکیل شده اند.

در جداول (۷-۱) و (۷-۲) آخرین اطلاعات، منابع، ذخایر و میزان تولید این ماده حیاتی در کشور های مختلف جهان و ایران آورده شده است. در جدول (۷-۳) آنالیز برخی از منابع فسفات مهم جهان ذکر شده است.

در شکل شماره (۷-۱) توزیع جغرافیایی منابع مختلف فسفات ایران نشان داده شده است.

## جدول (۱-۷) - توزیع زمانی فسفریت های مهم جهان

زمان زمین شناسی	مکان
پر کامبرین:	شمال استرالیا - میشیگان آمریکا هند - سیبری - استرالیا - کانادا چین - سیبری مرکزی - بربزیل - فنلاند چین - غرب آفریقا - سنگال اطراف نیجر - ایران
کامبرین	حوضه جورجیا (استرالیا) - سیبری - چین - ویتنام - ایران هند
اردویسین	آمریکا - شوروی - شمال آرژانتین - ایران
سیلووین	فرانسه
دونین	ایران - سیبری - آمریکا - فرانسه - انگلستان - چین - فنلاند
کربونیفر	اروپا (کوههای پیرنه) آلمان - لهستان - لیبی - الجزایر - آمریکا - آلاسکا
پرمین	آمریکا - سیبری - ویتنام
تریاس	شمال آمریکا - لیبی - آلاسکا
ژوراسیک	فرانسه - یونان - سیبری - کانادا - آرژانتین - مکانیک
کرتاسه پائینی	شوری - مکریک - ایران - کلمبیا - ترکیه - یونان
کرتاسه بالائی - ائوس	آفریقا - شمال خاورمیانه - شوروی - یونان - بربزیل - ونزوئلا ایران
الیگوسن	ایران - پاکستان - چین
میوسن	آمریکا - پرو - ونزوئلا - گابن - سنگال - ایتالیا
پلیوسن	آمریکا (فلوریدا) - پرو - نامیبیا
پلیوستوسن	کوانوهای جزایر کریسمس
عهد حاضر	جزایر اقیانوس آرام - اقیانوس هند - سواحل پرو شیلی - آفریقای جنوبی

## جدول (۷-۲) - مهمترین کانسارهای فسفات شناخته شده در ایران

سن و نام کانسار	موقعیت جغرافیایی	ذخیره احتمالی به میلیون تن	عيار متوسط $P_2O_5$ درصد
کرتاسه - اوسن			
کوه لار	چرام کهگیلویه	۳۵۰	۸
کوه کومه	جنوبشرق دهدشت	۲۲	۹/۳
کوه ریش	شمال بهبهان	۱۰/۶	۱۱/۲
شیخ هایل	شمال دهدشت	۱	۲۲
کوه سفید	جنوب آیده	۱۷	۱۲/۵
* ریز رود		۱۶۰	۸/۲۵
* خور موج	شرق بوشهر	۵۶	۸/۵
* کوه نمک	شمال کنگان	۲۴	۸/۲
چناره **	شمالشرق اندیمشک	۵	۳/۲
دونین بالایی			
شمیرود - جیرود	شمال تهران	۷۳	۹/۱۳
فیروزکوه - گدوک	شمالشرق فیروزکوه	۵۶	۱۲
دهملا	جنوبغرب شاهروд	۹	۱۰
اردویسین - سیلورین			
تاقدیس کلمرد	جنوبغرب طبس	۶/۲	۵
داهونیه زرند	شرق زرند	۱/۱۳	۷/۵
پروتوروژنیک - کامبرین			
دلیر	جنوب چالوس	۲۳	۱۱/۵
ولی آباد	جنوب چالوس	۳	۹
زنجان	جنوبغرب زنجان	۱۲	۱۰/۷
فیروزآباد	جنوب چالوس	۴۰	۸
اسفوردی ***	شمالشرق بافق	۱۵	۱۲
زریگان ***	شمالشرق بافق	۰/۵۰۰	۳
جمع کل ذخایر شناسایی شده		۸۸۴/۴۳	۸/۷۸

\* این ذخایر در سطح تماس سازند گورپی و سازند پابده تکوین یافته و سن آنها پالوسن مشخص شده است.

\*\* ذخیره چناره در قاعده سازند گورپی با سن کرتاسه بالایی تشکیل یافته است.

\*\*\* این ذخایر تنها ذخایر فسفات آذرین شناخته شده کشور را تشکیل می دهند که در سازند ریزو تکوین یافته اند.

### جدول (۷-۳) آنالیز برخی از منابع فسقات مهم جهان

این مقطع می تواند به عنوان یک مقطع تیپ مورد استفاده قرار گیرد چون از طرفی تمام لایه های موجود را قطع می کند و از طرفی به علت نزدیکی به جاده دسترسی خوبی دارد. عکس شماره (۷-۶) از ترانشه شماره VII می باشد.

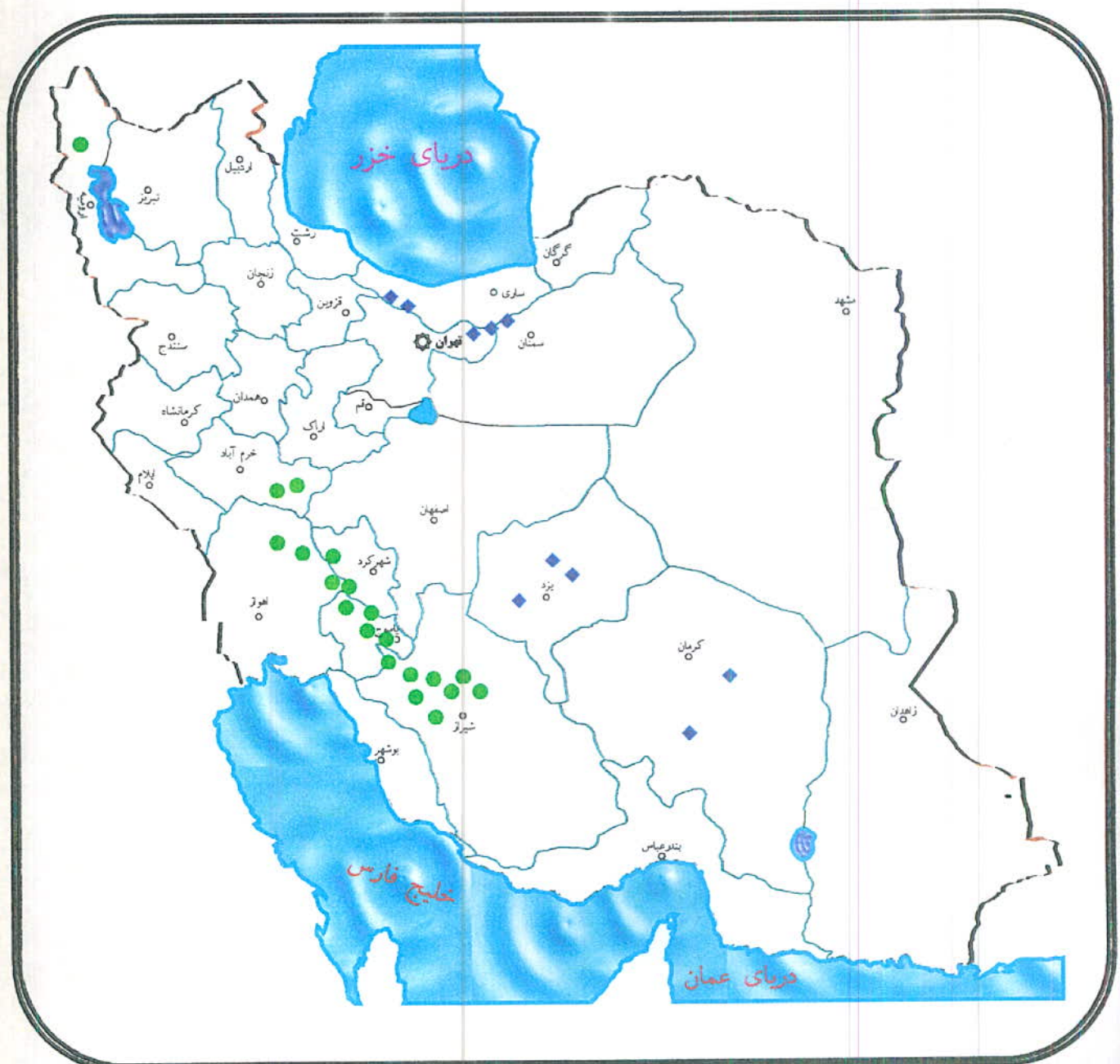
### ۳- ترانشه شماره VIII

جهت اطمینان از ادامه دار بودن لایه های فسفاته در بالا دست ترانشه شماره VII ترانشه ای به طول ۱۹ متر به موازات آن حفر شد نمونه های این مقطع با شماره های (130-131 PH) می باشد.

مشخصاً لایه های فسفاته این قسمت با تغییرات کم ضخامت و عیار در هر دو ترانشه قابل تعقیب می باشند.

بالاتر از این ترانشه متأسفانه به خاطر واریزه های کوارتزیتی و آهکی قاعده میلا (بخش C) ادامه لایه های فسفاته جیروود قابل پیگیری نیست ولیکن با فاصله ۱۰۰ متر جلوتر بر اثر عملکرد یک گسل کوچک مقیاس امتدادی چپ لغز دوباره لایه های فسفاتدار مشاهده شده و این امتداد تا منطقه زاگون - آبنیک ادامه می یابد.

## نقشه توزع و پراکندگی فسفات در ایران



❖ فسفات دوئین بالانی

❖ فسفات کرتاسه و انراسن

## ۲-۷- مصرف و کاربرد فسفات

سنگ فسفات بعنوان تنها منبع اقتصادی تأمین ترکیبات فسفری ، در توسعه بخش کشاورزی و صنعتی دارای نقش بسیار مهم حیاتی و غیر قابل جایگزین می باشد. با توجه به نقش حیاتی این ماده ، با افزایش جمعیت جهان ، نیاز به آن افزایش چشمگیری یافته است.

اهمیت فسفاتها و نقش آنها به عنوان کود در بخش کشاورزی در پایان سده هجدهم آشکار گردید. آشنایی با فسفات های طبیعی و شناخت قابلیت های بکارگیری آنها به عنوان کود در اوائل سده نوزدهم صورت گرفت و اولین کود فسفاتی متشكل از استخوانهای پودر شده و فضولات پرنده کان در همان زمان بکار برده شد ، اما بکارگیری منظم و اصلی آن از حدود سال ۱۸۵۰ شروع شد. تا پایان سده نوزدهم تنها کاربرد تجاری فسفات تولید کود و کبریت بود. اولین کانسار مورد بهره برداری ، در اروپا قرار داشت که متعاقباً "ذخایر عظیمی از این سنگ در ایالات متحده آمریکا ، شمال آفریقا و اقیانوسیه کشف و مورد بهره برداری قرار گرفتند. از آن زمان مصرف فسفات با توجه به نقش آن در ادامه حیات روز به روز افزایش یافته و زمینه های به کارگیری آن متنوع گردید. بطوریکه امروزه فسفات در زنجیره گستردۀ ای از صنعت و کشاورزی بکار می رود. همان طوری که اشاره شد سنگ های فسفاتی تنها منبع تأمین فسفر و ترکیبات آن محسوب می شوند و برای تولید ترکیبات مختلف فسفر دار در صنایع

گوناگون ضروریست، ابتدا این عنصر را از سنگ‌های فسفاتی استحصال نمود. برای این کار از دو روش استفاده می‌گردد.

۱- روش حرارتی، که در آن سنگ‌های فسفاتی را تحت تأثیر عامل حرارت قرار داده فسفر آنها بصورت گاز متصاعد شده و سپس آنرا به صورت فسفر عنصری بازیابی می‌کنند.

۲- روش مرطوب، که در آن سنگ‌های فسفاتی را تحت تأثیر اسید سولفوریک، اسید نیتریک و یا اسید کلریدریک قرار داده و فسفر آنها بصورت اسید فسفوکلرید بازیابی می‌شود.

پودر سنگ‌های فسفاتی با مشخصات ویژه فقط در موارد زیر بطور مستقیم مصرف می‌شوند.

- کاربرد مستقیم پودر سنگ فسفات با خواص انحلال پذیری مناسب بعنوان کود در زمینهای کشاورزی.

- کاربرد مستقیم آن در تولید کود سوپر فسفات ساده (SSP) و نیتروفسفات غیر از دو مورد یاد شده اسید فسفوکلرید و فسفر عنصری نقش کلیدی در ساخت و تولید کلیه مواد، ترکیبات و مصنوعات فسفدار ایفا می‌کنند. حال جهت احاطه کامل به موارد مصرف فسفاتها ضروریست که به طور مشروح زمینه‌های کاربردی اسید فسفوکلرید و نمک‌های آن و فسفر عنصری و ترکیباتش مورد بررسی قرار می‌گیرد.

## ۱-۲-۷- اسید فسفریک و کاربرد آن

اسید فسفریک به فرمول  $H_3PO_4$  با ارزش ترین اسید غیر آلی است که از نظر میزان مصرف بعد از اسید سولفوریک پر مصرف ترین اسید در جهان می باشد. همان طوری که اشاره شد این اسید به دو روش مرطوب و روش کوره های الکتریکی تولید می گردد. از مشخصات اسید فسفریک حرارتی ، درجه خلوص بالا و قیمت گران آنست. بدین سبب میزان مصرف آن محدود و در آینده نیز با توجه به سیر صعودی هزینه های تولید الکتریسیته محدودتر می گردد.

در حال حاضر در اغلب کشورهای جهان جهت تولید اسید با درجه خلوص بالا از روش تصفیه اسید مرطوب استفاده می گردد.

در حدود ۹۰ درصد از تولید جهانی اسید فسفریک در ساخت انواع مختلف کودهای شیمیایی به مصرف می رسد. جهت پی بردن به نقش حیاتی فسفات در زندگی انسانی ضروریست در اینجا به انواع کودهای شیمیایی فسفاتی ، میزان تولید و مصرف و نقش آنها در تأمین محصولات مورد نیاز انسان اشاره ای شود.

برای نخستین بار در سالهای آغازین سده نوزده کود فسفاتی حاصل از استخوان حیوانات بطور وسیعی در اروپا به کار گرفته شد. بتدريج میزان مصرف آن افزایش یافت و موجب گردید که از استخوان انسانها نیز برای اين منظور استفاده گردد. لذا تولید کنندگان اين نوع کود ، استخوان انسانها را از قبرستانها و صحنه های وقوع جنگها جمع آوری کرده پس از آسیاب کردن تحت تأثیر اسید سولفوریک قرار داده و با اضافه

نمودن نمکهای پتاسیم، سولفات آمونیوم مایع حاصل را در بشکه‌های چوبی عنوان

کود شیمیایی مایع به بازار عرضه می‌نمودند.

در حدود سال ۱۸۴۰ برای اولین بار از ترکیب سنگ فسفات با اسید سولفوریک،

کود شیمیایی بسیار مؤثری حاصل شد که به آن سوپر فسفات گفته می‌شد.

اولین تولید تجاری سوپر فسفات در سال ۱۸۴۲ در انگلیس آغاز گردید. در

سال ۱۸۸۰ در حدود ۸۰ کارخانه در انگلستان به تولید کود سوپر فسفات مشغول

بودند.

تاریخچه تولید کود تریپل سوپر فسفات به زمان تولید اسید فسفریک باز

می‌گردد. برای اولین بار T.S.P در سال ۱۸۷۰ در آلمان تولید گردید. بلافاصله پس از

آن کارخانه‌های متعددی در اروپا و آمریکا برپا گشت که اغلب کوچک بودند و بیشتر

تولید، در صنایع تصفیه شکر بکار می‌رفت تا در کشاورزی و به عنوان کود استفاده

شود. کود تریپل سوپر فسفات از سالهای دهه پنجاه قرن بیستم عنوان یک کود با

اهمیت شناخته شد.

کود فسفات آمونیوم گرچه از زمانهای دور به عنوان یک کود مؤثر شناخته شده

بود ولی تنها در سالهای دهه ۶۰ قرن حاضر در میان انواع مختلف کودهای فسفاتی از

بازار مصرف قابل توجهی برخوردار گردید. کود فسفات آمونیم در حال حاضر بر

صرف ترین نوع کودهای فسفاتی به حساب می‌آید.

## جدول شماره (۴-۷) مشخصات شیمیایی سه نوع اسیدفسفریک مرطوب، تصفیه شده و حرارتی

	اسیدفسفریک به روش مرطوب (درصد)	اسیدمرطوب تصفیه (درصد)	اسیدفسفریک حرارتی (درصد)
P2O5	53.1	54	54.32
CaO	0.06	0.005	0.001
F	0.8	0.08	0.0001
Al2O3	1.7	0.01	0.0003
Fe2O3	1.23	0.007	0.0004
MgO	0.58	0.003	0.0002
K2O	0.01	-	0.0007
Na2O	0.12	-	0.0025
SiO2	0.07	0.1	0.0015
SO4	2.2	0.2	0.002

تهیه و تولید کودهای نیترو فسفات در اروپا و در دهه ۱۹۳۰ آغاز گردید و در حال حاضر دارای بازار مصرف قابل توجه می باشد.

همان طور که ملاحظه می شود میزان مصرف کودهای شیمیایی همچنان سیر صعودی را طی می کند.

کاربرد وسیع اسید فسفریک در صنایع کودسازی سبب شده است که حدود ۹۰ درصد از تولیدات آن در این صنایع بکار رفته و ۱۰ درصد باقیمانده در رشته های مختلف صنعت بکار رود.

صنایع فلزی: در این صنعت از اسید فسفریک برای ایجاد لایه ضدزنگ بر روی ورقه های فلزی و نیز صیقل دادن فلزاتی نظیر آلومینیم، مس و برنج استفاده می شود.

صنایع غذایی: اسید فسفریک رقیق شده غیر سمی است و بدین لحاظ و با توجه به طعم دلچسب آن، در صنایع نوشابه سازی به کار می رود. در کارخانه های پروتئین سازی و مربا سازی، در ساختن غشای آنتی بیوتیکها کاربرد گسترده دارد.

در صنایع نسوز (نسوزهای آلومینیم، منگنز، زیرکن و کربن) اسید فسفریک

عنوان یک چسبنده به کار می‌رود. نسوزهای مخصوصی با زمینه فسفاتی (Phosphate bondon)، در مقابل خورندگی و حرارت از دوام و مقاومت قابل توجهی برخوردارند.

علاوه بر موارد فوق از کاربرد اسید فسفریک در تولید بتنزین و نایلون و نیز کاربرد آن به عنوان تمیز کننده بویلرها و نیز استفاده از آن در صنایع شیشه سازی، دندان سازی و غیره می‌توان نام برد.

## ۲-۲-۲-۳- املاح اسید فسفریک و کاربرد آنها

املاح فسفاتی اغلب عناصر در طبیعت شناسایی شده‌اند. املاحی که جنبه کاری بیشتری دارند شامل فسفاتهای فلزات قلیایی، قلیائی خاکی، فلزات سنگین و نمکهای فسفاتی آمونیم می‌باشند. فسفات سدیم و پس از آن املاح فسفات کلسیم، آمونیم با توجه به دامنه کاربردی وسیع آنها مهمترین این نمکها محسوب می‌گردند.

فسفاتهای سدیم شامل منوسدیم فسفات، دی سدیم فسفات و تری سدیم فسفات است. عمده ترین کاربرد منوسدیم فسفات استفاده از آن عنوان یک اسید جامد محلول در آب و یک ماده تمیز کننده اسیدی است.

بالاترین مصرف و تنها کاربرد دی سدیم فسفات، استفاده از آن عنوان مایه امولسیفایر (Emulsifier) در تولید پنیر پاستوریزه می‌باشد. این ماده در تولید محصولات

گوشتی، نشاسته و شیرخشک، همچنین در صنایع سرامیک، لعاب کاری، چرم سازی، پارچه بافی، رنگ سازی و شوینده‌ها به مصرف می‌رسد.

تری سدیم فسفات نمکی است بشدت قلیائی که از آن به عنوان تمیز کننده‌ای بسیار قوی و رنگبر استفاده می‌گردد. کمپلکس‌های هیپوکلریت - تری سدیم فسفات، بعد از سدیم تری پلی فسفات بین تمام املاح فسفاتی بیشترین حجم کاربرد را به خود اختصاص می‌دهد.

املاح فسفاتی پتابسیم شامل منو پتابسیم فسفات، دی پتابسیم فسفات، تری پتابسیم فسفات می‌باشند. این نمکها کمترین کاربرد نمکهای فسفاتی را به خود اختصاص داده‌اند.

منوپتابسیم فسفات بعنوان پیزوالکتریک در صنایع صوتی و الکتریکی کاربرد دارد. همچنین در صنایع کاغذ سازی بعنوان مخمر به کار می‌رود.

دی پتابسیم فسفات در صنعت ضد یخ سازی مورد استفاده قرار می‌گیرد.

نمکهای فسفاتی کلسیم بعد از املاح فسفاتی سدیم، پر مصرف‌ترین املاح فسفاتی را تشکیل می‌دهند و شامل نمکهای زیر می‌باشند:

منوکلسیم فسفات، که از آن بعنوان مایه خمیر در نان‌پزی و کیک‌پزی استفاده می‌گردد و همچنین در تهیه قرصهای جوشان و نیز صنایع سرامیک کاربرد دارد.

دی کلسیم فسفات، مهمترین مصرف دی کلسیم فسفات، کاربرد آن به عنوان

مکمل خوراک دام و طیور می باشد. دی کلسیم فسفات در ساختن خمیر دندان نیز به کار می رود. دیگر موارد مصرف دی کلسیم فسفات استفاده از آن به عنوان مخمر و نیز کاربرد آن در صنایع شیشه سازی، پلاستیک سازی و دارو سازی است.

تری کلسیم فسفات، نمکی است که از آن به عنوان خشک کننده و رطوبت گیر موادی نظیر شکر و نمک استفاده می شود. همچنین بعنوان سفید کننده و براق کننده در صنایع سرامیک به کلر می رود.

نمک آلومینیم فسفات اسید پلیمرهای پیچیده ای را تشکیل می دهد و به عنوان ماده سفت کننده در سیمان و نسوزها به کار می رود.

آلومینیم فسفات بشدت نامحلول، سخت، واکنش ناپذیر و مقاوم در برابر حرارت می باشد. نقطه ذوب آن ۱۸۰۰ درجه سانتی گراد می باشد و بعنوان ماده ای نسوز بکار می رود. منوآلومینیم فسفات در ساختن ترانسفورماتور بکار می رود.

نمک فسفات بور نیز دارای کاربرد محدود بوده و فقط به عنوان کاتالیست در سرامیک و نسوز بکار می رود.

نمک فسفات آهن نیز دارای کاربرد محدود در تولید شیشه های با کاربرد ویژه می باشد.

نمکهای فسفات فلزات سنگین در آب بشدت نامحلول بوده و کاربرد تجاری آنها

بسیار محدود است و عبارتند از:

فسفات روی  $Zn_3(PO_4)_2$  که در ساختن سیمان دندانسازی بصورت ماده اولیه

اصلی بکار می رود.

فسفات کروم در صنایع فلزی و جهت افزایش مقاومت فلزات در مقابل

خورندگی به کار می رود.

فسفات کبالت، به عنوان رنگدانه در صنایع رنگ و سرامیک مورد استفاده دارد.

فسفات مس، در صنایع تولید حشره کش مصرف می گردد.

فسفات های جیوه و سرب، در شیشه سازی و جهت ساختن شیشه های

مخصوص به کار می روند.

### ۳-۲-۷- کاربرد سوپر فسفریک اسید ( پلی فسفریک اسید ) و املاح آن

بالاترین میزان مصرف این اسید، به تولید کودهای شیمیایی مایع و با کیفیت

عالی مربوط می گردد. دیگر کاربرد آن در صنایع نفت و به عنوان کاتالیست می باشد.

مهمنترین نمکهای پلی فسفریک اسید که دارای کاربرد تجاری هستند شامل

املاح سدیم، پتاسیم و کلسیم می باشد.

پیروفسفاتهای سدیم در تولید شوینده ها و نیز تولید مواد لبني و دیگر مواد

غذایی به کار می روند.

پیروفسفاتهای پتاسیم نیز به عنوان ماده اولیه در ساختن شوینده های مایع به

کار می رود.

پیروفسفات کلسیم در صنعت تولید خمیر دندانهای فلوریددار مصرف می‌گردد.

مهمترین نمک از گروه املاح سوپر فسفریک اسید است و برای Sodium tripoly phosphat نخستین بار در سالهای ۱۹۴۰ بعنوان شوینده مصنوعی به بازار عرضه گردید. از آن زمان بعنوان پرمصرف ترین نمک فسفاتی بعد از کودهای شیمیایی محسوب می‌گردد. از دیگر موارد مصرف S.T.P ، می‌توان از کاربرد آن در ساختن محصولات گوشتی ( مواد غذایی گوشتی ) و نیز مصرف آن در تصفیه آب و پارچه بافی ، کاغذسازی ، لاستیک سازی ، رنگ سازی و نیز گل حفاری نام برد.

#### ۴-۲-۷- مصرف و کاربرد فسفر عنصری ، آلیاژها و ترکیبات فسفری

انواع فسفر عنصری و کاربرد آنها به شرح زیر می‌باشد:

فسفر عنصری به چند شکل و با حالت‌های مختلف در بازار مصرف ، وجود دارد.

از میان انواع مختلف آن که از نظر تجاری نیز اهمیت بیشتری دارند ، فسفر سفید یا فسفر زرد را می‌توان نام برد. نوع دیگر فسفر قرمز می‌باشد که این نیز دارای اهمیت تجاریست. دو نوع فسفر سیاه با کاربردهای خاص نیز در بازار مواد شیمیایی رواج دارند.

انواع فسفر عنصری ، تحت تأثیر حرارت و فشار متفاوت به یکدیگر قابل تبدیل می‌باشند.

فسفر عنصری در طبیعت فقط در سنگهای آسمانی و در یک کانی به نام

( شریبرسیت ) با فرمول  $P_{(Fe,Ni)_3}$  یافت می‌شود. مهمترین منبع تهییه فسفر عنصری

کانی‌های آپاتیت با فرمول عمومی  $Ca_5(PO_4)_3(F,Cl,OH,O)$  می‌باشد.

ابتداً ترین روش تهیه فسفر عنصری در اواسط قرن نوزدهم رواج پیدا کرد و آن بدین ترتیب است که ابتدا اسید فسفوریک را از ترکیب خاکستر استخوان‌ها با اسید سولفوریک تولید کرده، سپس اسید حاصل را پس از تغليظ با خاک اره و زغال سنگ یا کک مخلوط نموده و پس از خشک کردن در ظرف بطری شکلی تعییه کرده و بشدت حرارت می‌دادند که منجر به تقطیر فسفر بر اساس فرمول زیر می‌گردید.



این روش پس از کشف کوره‌های الکتریکی و جایگزینی آنها در صنعت تولید فسفر عنصری، لغو گردید.

صرف‌نظر از موقعی که نیاز شدید به فسفر سفید جهت اهداف نظامی پیدا می‌شود، تقریباً "می‌توان گفت که نسبتاً" تمام تولیدات فسفر عنصری به مشتقات آن نظیر سولفیدهای فسفر، هالیدهای فسفر و پنتا اکسید فسفر تبدیل می‌گردد.

فسفر سفید در ساختن سوم حشرات و جوندگان به میزان قابل توجه به کار می‌رود. همچنین این عنصر در جنگ‌های شیمیایی بطور وسیعی به کاربرده می‌شود، بطوریکه میلیونها کیلوگرم از آن در جنگ دوم جهانی توسط آمریکا و ژاپن به کار برده شد. در جنگ از فسفر سفید برای اعلام وضعیت خطر بصورت دود سفید استفاده می‌گردد. یکی دیگر از کاربردهای فسفر سفید، استفاده از دانه‌های بسیار ریز آن بعنوان یک ماده مشتعل کننده بمبهای آتش‌زا می‌باشد. همچنین از فسفر سفید بعنوان ماده گرمایزا در تولید بمبهای خردلی استفاده می‌شود.

مهمترین کاربرد فسفر قرمز، استفاده از آن در ساخت کبریت‌های چوبی و کاغذی می‌باشد. این نوع فسفر در ساخت وسائل آتش بازی نیز کاربرد دارد.

با توجه به میل ترکیبی نسبتاً "خوب با فلزات، فسفیدها و آلیاژهای مختلفی از این عنصر شناخته شده است که از آن میان به انواع زیر اشاره می‌گردد:

فسفیدهای فلزات قلیایی بصورت محدودی در مقیاس تجاری ساخته شده اند و از آنها به عنوان منبع تهیه فسفین استفاده می‌گردد.

فسفیدهای آلومینیم و منگنز نیز بعنوان مواد افروزنده (آتش زا) کاربرد دارند.

فسفید کلسیم نیز به فرمول  $\text{Ca}_3\text{P}_2$  برای حرارت دادن آهک زنده در بخاری‌های فسفری حاصل می‌گردد دارای کاربرد شیمیایی می‌باشد.

مهمترین آلیاژهای فسفری عبارتند از :

فسفر، آلیاژی است که بصورت محصول ثانوی در پروسه تولید فسفر عنصری حاصل می‌گردد و در صنعت فولاد سازی جهت ساختن آلیاژهای خاص فولادی به کار می‌رود.

فسفر مس، آلیاژی است به رنگ خاکستری که به اندازه محدود و جهت استفاده از دی اکسیده کردن مس و آلیاژهای مختلف آن به کار می‌گردد.

آلیاژ فسفر قلع، به منظور دی اکسیده کردن برنز و نقره بانتزاز محدودی تولید می‌گردد.

فسفر برنز ، فسفر روی ، فسفر نقره آلیاژهای دیگر فسفر هستند که با کمیت محدود و به منظور کاربرد در صنایع فلزی تولید می گردند.  
 سولفیدهای فسفر : از ترکیب گوگرد و فسفر بدست می آیند که مهمترین آنها عبارتند از :

$P_4S_3$  تترافسفر تری سولفید

$P_4S_5$  تترافسفر پنتاسولفید

$P_4S_7$  تترافسفر هپتا سولفید

$P_4S_{10}$  تترافسفر هکتا سولفید

از بین سولفیدهای مختلف فسفر ، تترافسفر هکتا سولفید هم از نظر حجم تولید و هم گستره وسیع کاربرد آن از اهمیت بیشتری برخوردار است. حجم تولید این ماده در میان ترکیبات فسفر و بعد از اسید فسفریک و مشتقات آن مکان دوم را بخود اختصاص داده است و از ترکیب مستقیم فسفر عنصری با گوگرد مذاب در مخازن مخصوص طبق فرمول زیر به دست می آید.



این ماده نخستین بار در سال ۱۹۰۰ میلادی در امریکا تولید و وارد بازار گردید.

در تولید حشره کش ها ، روان سازها ، پلاستیک سازی ، آتش خاموش کنها ، همچنین در فلوتاسیون مواد معدنی و نیز به عنوان کاتالیست در تهیه آسفالت مخصوص به طور گسترده بکار می رود. یکی دیگر از موارد مصرف این ماده استفاده از آن در تولید کبریتهای مخصوصی است که با کشیدن آنها بر هرجسمی روشن می گردد.

هالیدهای فسفر از ترکیب فسفر با کلر ترکیبات هالوژنه متعددی حاصل

می گردد که از میان آنها زیر دارای اهمیت تجاری قابل ذکر می باشند.

فسفر تری کلرايد

فسفر پنتا کلرايد

فسفر اکسی کلرايد

فسفر سولفو کلرايد

بیشترین کاربرد هالوژنه های فسفر، در صنایع شیمیایی می باشد.

فسفین ها ( $\text{PH}_3$ ) در صنایع پتروشیمی ، بمنظور استحصال اورانیوم از اسید

فسفریک و نمکهای آن به سولفیدها و هالیدهای فسفر استفاده می شود. این ترکیبات

"عمدتاً" در صنایع تولید سموم دفع آفات نباتی و حشره کشها به کار می روند. با توجه

به روند افزایش تولید سالانه این مواد که به نسبت ۳ تا ۵ درصد می باشد ، نیاز جهان

به هالیدها و سولفیدها و احتمالاً "فسفر عنصری و سنگهای فسفاتی روند صعودی پیدا

می کند.

### ۳-۷- آمار واردات و صادرات کشور

در این بخش، آمار واردات و صادرات ترکیبات فسفردار در طی سالهای ۱۳۷۶ تا ۱۳۷۸ ارائه شده است. اعداد و ارقام این قسمت بر اساس اطلاعات آماری وزارت بازرگانی کشور می باشد.

در سالهای ۱۳۷۶ و ۱۳۷۷ میزان و ارزش صادرات کشور چندان قابل توجه نبوده است. به همین دلیل به صادرات این محصولات اشاره ای نشده است. ولی در سال ۱۳۷۸ در حدود ۶۳ هزار دلار محصولات فسفردار عمدتاً به صورت فسفات دی کلسیک و فسفاتهای کلسیم دار صادر شده است. ارزش واردات ترکیبات فسفر دار از سال ۷۶ تا ۷۸ به ترتیب در حدود ۶۹/۷، ۷۰/۴، ۵۸/۳ میلیون دلار بوده است. همانگونه که مشاهده می شود در سال ۷۸ ارزش واردات این محصولات کاهش تقریباً چشمگیری در حدود ۱۷/۲ درصد داشته است. در جداول (۷-۵) تا (۷-۸) مقدار و ارزش واردات و صادرات در سالهای فوق به تفکیک نوع کالا و کشورهای مبدأ آورده شده است.

جدول (۷-۵)- مقدار و ارزش صادرات بر حسب تعریفه و کشورهای مبدأ (سال ۱۳۷۸)

نام کشور	وزن (کیلو گرم)	ازشن ریالی	ازشن دلاری	نوع کالا
اردن	۴۲۰۰	۱۱۰۵۶۵۰۰	۶۳۰۰	هیدروژنو فسفات کلسیم (فسفات دی کلسیک)
ارمنستان	۶۷۹۰	۱۷۸۶۵۹۰	۱۰۱۸	
تایوان	۲۲۱۰۰۰	۵۹۴۹۴۵۰۰	۳۳۹۰۰	
ترکیه	۲۰۰۰۰	۵۲۶۵۰۰۰	۳۰۰۰	
قبرس	۲۱۰۰۰	۵۵۲۸۲۵۰	۳۱۵۰	
ارمنستان	۱۰۳۲۰۰	۲۷۱۶۷۴۰۰	۱۵۴۸۰	فسفاتهای کلسیم
فرانسه	۳۴	۹۲۱۴	۵	
-	۴۲۴۰۲۴	۱۱۰۳۰۷۴۵۴	۶۲۸۵۳	مجموع

## جدول (۶-۷)- مقدار و ارزش واردات بر حسب تعریفه و کشورهای مبدأ (سال ۱۳۷۶)

نوع کالا	نام کشور	وزن (کیلو گرم)	ارزش ریالی	ارزش دلاری
فسفات‌های منو یا دی سدیم	آلمان	۵۰۰۰	۲۰۱۱۰۴۸۰	۱۱۴۵۹
	بلژیک	۲۰۰۰	۳۱۱۷۴۸۶۰	۱۷۷۶۲
	چین	۱۹۵۰۰	۲۲۱۹۹۹۷۱۵	۱۳۱۰۵۴
	آلمان	۵۲۵۰	۲۶۸۲۷۵۲۲	۱۵۲۸۶
	قراقستان	۱۴۰۰	۱۸۲۲۲۲۰۰	۱۰۴۴۶
	آلمان	۲۴۵۳۴	۶۸۲۵۹۲۴۸	۲۸۹۵۱
	امارات	۳۹۵۰۰	۲۶۶۲۰۴۹۸	۱۵۱۷۴
	چین	۲۰۰۰	۱۵۴۵۲۱۵۰	۸۸۰۵
	آلمان	۳۰۹۴	۵۲۷۶۵۰۸۲	۳۰۰۶۶
	آلمان	۱۰۱۶۰	۳۷۹۱۵۸۷	۲۱۶۰۴
فسفات‌های پتاسیم	انگلستان	۵۴۷۰۰	۱۱۲۰۸۲۴۲۱	۶۳۸۶۸
	آلمان	۴۷۲۳۵	۹۲۲۹۷۹۷۲۳	۵۲۵۹۱۴
	انگلستان	۷۵۶۰۰	۱۴۰۲۶۰۸۴۱	۷۹۹۷۸
	چین	۱۹۶۶۲۰۰	۲۷۵۸۲۱۱۴۶۲	۱۵۷۱۶۳
	ژاپن	۲۰	۱۱۴۲۹۸۷	۶۵۱
	آلمان	۷۴۸۵۷	۱۳۱۰۳۳۱۲۲۷	۷۷۹۳۷
	امارات	۴۰۰۰	۶۱۰۱۸۹۹۱	۳۳۷۶۹
	انگلستان	۴۷۴۰۰	۷۴۵۷۰۲۲۴	۴۲۴۹
	چین	۲۳۰۳۶	۲۸۱۰۸۷۹۵	۱۶۰۴۰۴
	ژاپن	۹۹۴۰۰	۱۱۲۳۰۲۸۱۱۸	۶۴۵۶۰۶
فسفات‌های گلسیم	فرانسه	۱۵۰۰	۵۸۷۵۱۱۲۲	۱۳۳۷۶
	هلند	۵۵۶	۵۹۰۰۷۷۱	۱۳۳۶۲
	آلمان	۳۷۶۷۵۶۲	۵۹۱۰۸۷۴۶۲۸	۳۳۷۷۳۵
	اسپانیا	۳۷۸۶۲۰۰	۳۷۸۶۲۳۳۰۰	۲۱۵۹۱۶۹۹
	امارات	۱۲۳۶۵۰۰	۱۴۸۰۷۶۶۷۴۹	۸۸۰۲۰
	انگلستان	۷۲۴۰۰	۱۲۹۱۳۶۵۲۰	۷۳۵۸۲
	بلژیک	۲۱۱۲۰۰	۳۰۰۵۰-۰۵۲۸	۱۷۱۳۰۵۲
	چین	۱۷۴۵۲۱۰	۴۶۲۶۵-۰۷۰۵۸۵	۲۶۳۱۶۳۵۹
	ژاپن	۲۰۰۰	۳۰۰۸۷۰۰	۱۷۴۸۴
	سوئد	۳۷۴۷۰۰	۴۸۲۲۴۶۶۹-۷	۲۷۷۴۸۴۴
(به استثنای بلی فسفاتها)	فرانسه	۲۰۸۲۵	۴۱۶۱۳۶۸۲	۲۲۷۱۲
	قراقستان	۲۲۵۰۰	۳۳۱۲۶-۸۱۳	۱۸۸۷۵۳
	کانادا	۱۰۱۲۲	۱۸۷۷۹۷۷۵	۱۰۶۹۷۴
	هلند	۸۹۵۶۲۰۰	۱۲۵۹۷۷۷۷۸۷	۲۱۷۷۹۹۳
	هلند	۳۲۰۰۰	۴۵۱۲۹۱۲۶۹	۲۵۷۷۱۷
	آلمان	۱۵۴۹۱۸	۸۰۰۸۴۲۷۰۹	۳۳۶۹۱۹
	امارات	۵۰۰۰	۱۷۸۵۸۶۲۷	۱۰۱۱۷۶
	انگلستان	۴۱۲۰۰	۸۲۲۲۶۱۹۹	۴۷۱۲۳
	بلژیک	۲۰۰۰۰	۲۲۴۳۷۸۰۳	۱۴۰۲۸۶
	چین	۴۹۲۶۰	۷۷۷۷۲۸۵۲۲	۴۲۲۰۵۲
بلی فسفاتها	فرانسه	۵۰۰۶	۵۳۱۲۹۵۷۶	۳۰۰۷۹
	هلند	۲۳۰۰	۲۸۹۱۴۳۰۱	۲۲۱۱۳
	-	۸۷۴۴۳-۰	۱۲۲۷۷۷۹۷۹۱۲	۶۹۷۶۹۱۸۹
	مجموع	-	-	-

## جدول (۷-۷)- مقدار و ارزش واردات بر حسب تعریفه و کشورهای مبدأ (سال ۱۳۷۷)

نوع کالا	نام کشور	وزن (کیلو گرم)	ارزش ریالی	ارزش دلاری
فسفات تری آمونیوم	آلمان	۱۶۰۰	۵۶۱۹۴۰۶	۳۲۰۲
فسفاتهای منو یا دی سدیم	آلمان	۵۰۰۰	۲۴۲۲۴۲۸	۱۳۸۶
	بلژیک	۵۷۵	۲۳۴۱۰۹۷	۱۳۳۳۹
فسفاتهای تری سدیم	آلمان	۱۴۱	۱۹۳۵۶۹۱۷	۱۱۰۳
	بلژیک	۷۰۰۰	۲۳۴۱۲۶۵۲	۱۳۳۴۱
فسفاتهای پتاسیم	چین	۱۲۰۰۰	۸۴۵۷۲۴۲	۴۸۲۲۸
	آلمان	۳۰۰	۳۵۸۸۱۶۴	۲۰۴۵
هیدروژنو اورتو فسفات کلسیم	بلژیک	۱۰۰۰۰	۲۶۲۴۴۶۵۰	۱۴۹۵۴
	آلمان	۲۰۰۰۰	۶۷۹۸۳۴۵۲	۳۸۷۳۷
فسفاتهای کلسیم	آلمان	۴۳۷۳۰۰	۷۳۳۲۰۴۸۶۶	۴۱۷۷۸۱
	چین	۲۰۰۰۰	۲۵۳۶۱۷۱۲	۱۴۴۵۰۸
فسفاتها ( به استثنای پلی فسفاتها )	ژاپن	۴۳۰۰۰	۴۹۵۴.....	۲۸۲۲۷۹
	هلند	۴۵	۱۲۴۷۵۵۰	۷۱۱
تری فسفات سدیم	آلمان	۱۰۰۶۰	۲۰۴۵۲۳۶۷۷	۱۱۶۵۳۸
	ترکیه	۳۴۶	۳۲۷۰۱۲۰۱	۱۸۶۳۳
(تری پلی فسفات های سدیم)	چین	۸۴۱۶۰	۱۱۳۱۷۵۸۹۹	۶۴۴۸۸
	فرانسه	۴۰۰۰	۱۶۷۷۶۲۲۳	۹۵۵۹
پلی فسفاتها	هند	۱۰۶۰۰	۴۷۲۶۸۲۶۵۸	۲۶۹۱۳۳۵
	آلمان	۶۵۷۴۸	۳۰۷۷۳۱۲۸۲	۱۷۵۱۷۵
تری فسفات سدیم	اسپانیا	۳۶۱۸۱۰۰۰	۴۹۷۸۳۱۲۷۷۳۲	۲۸۳۶۶۴۵۵
	امارات	۲۲۵۳۰۰۰	۲۳۶۸۵۰۵۱۵۴	۱۳۴۹۵۷۶
(تری پلی فسفات های سدیم)	ایتالیا	۱۰۰۰۰۰	۱۳۵۱۶۱۱۴۰۵	۷۷۰۱۴۹
	بلژیک	۷۴۰۰۰	۱۴۸۷۸۷۲۲۴۹	۸۴۸۲۷
پلی فسفاتها	چین	۴۱۵۲۹۹۷۵	۴۵۴۴۴۱۵۱۵۴	۲۵۸۹۴۲۵۴
	سوئیس	۲۱۴۷۰۰۰	۲۶۳۱.....	۱۴۹۹۱۴۵
پلی فسفاتها	فرانسه	۶۸۰۰۰	۲۵۴۵۲۰۳۸۶	۱۴۵۰۲۶
	هلند	۱۱۴۶۵۰۰۰	۱۵۸۶۸۱۰۴۳۲۴	۹۰۴۱۶۵۵
پلی فسفاتها	هلند	۱۱۰۰۰۰	۱۵۱۳۱۳۱۱۷۲	۸۶۲۱۸۲
	آلمان	۲۴۸۱۵۰	۵۳۶۹۹۰۰۱۵	۳۰۵۹۷۷
پلی فسفاتها	اسپانیا	۱۸۰۰۰	۹۶۹۶۵۵۶۰	۵۵۲۵۲
	بلژیک	۳۶۵۰۰	۸۰۱۲۹۲۰۳	۴۵۶۵۸
پلی فسفاتها	چین	۲۶۸۰۰۰	۳۵۶۰۲۱۹۵۲	۲۰۲۸۶۲
	فرانسه	۴۰۰۰۰	۱۵۹۶۱۲۱۰۶	۹۰۹۴۷
پلی فسفاتها	هلند	۲۰۰۷۰	۴۶۶۷۹۹۱۳	۲۶۵۹۸
	مجموع	-	۹۷۴۷۳۵۷۰	۷۰۳۹۸۲۱۷

## جدول (۷-۸)- مقدار و ارزش واردات بر حسب تعریفه و کشورهای مبدأ ( سال ۱۳۷۸ )

نوع کالا	نام کشور	وزن (کیلو گرم)	ارزش ریالی	ارزش دلاری
فسفات‌های منو یا دی سدیم	آلمان	۲۱۶۲۵	۷۳۳۵۴۸۸۲	۴۱۷۹۸
	ایتالیا	۲۰۰۰	۹۷۳۳۹۹۱	۵۲۹۶
	فرانسه	۱۵۲۵	۸۵۰۹۱۲۲	۴۸۷۷
	لوگزانبورگ	۱۳۲۵	۶۸۰۰۰۲۵	۳۸۷۵
	چین	۴۰۰۰	۲۲۹۲۷۰۰	۱۳۶۳۴
	آلمان	۱۲۷۵۰	۳۰۰۷۸۲۵۱	۱۷۱۳۹
	اتریش	۲۰۰	۲۴۴۸۸۱۴	۱۳۹۵
	ترکیه	۲۰۰۰	۸۹۷۵۵۹۶	۵۱۱۴
	هلند	۳۰۰	۲۰۱۲۹۵۹	۱۱۴۷
	آلمان	۶۶۰۰۳	۲۸۹۶۳۸۲۲۹	۱۶۵۰۳۶
فسفات‌های پتابسیم	بلژیک	۲۱۰۰۰	۲۹۲۱۸۷۴۵	۱۶۵۰۳۶
	هلند	۵۰۰۰	۲۰۱۴۵۰۷	۱۱۴۵۶
	آلمان	۵۰۰	۲۷۸۷۰۷۴	۱۵۸۸
	چین	۱۰۷۰۰۰	۱۲۶۲۵۸۱۱۱۶	۷۱۹۴۱۹
	آلمان	۳۷۵۸۹	۹۰۶۲۵۲۲۴	۵۱۶۳۸
	بلژیک	۴۱۰۰۰	۱۲۲۳۷۸۱۲۲	۷۰۳۰۱
	چین	۵۰۰۰۰	۹۳۱۷۷۶۶۴	۵۲۰۹۳
	دانمارک	۲۰۷۵	۱۴۷۹۲۲۹۴	۸۴۲۹
	سوئیس	۱۷۰	۷۱۲۸۰۱۰۶	۴۰۶۱۵
	فرانسه	۱۰۰۰۰	۳۹۹۳۴۴۹۴	۲۲۷۵۶
فسفات‌ها ( به استثنای پلی فسفاتها )	لوگزانبورگ	۳۷۵	۴۷۷۹۶۶۹	۲۷۲۲
	هلند	۱۰۵۰	۳۹۵۵۱۸۰	۲۲۵۴
	هند	۸۰۰۰	۱۳۳۱۲۴۸۵۵	۱۸۹۸۲۰
	آلمان	۱۶۵۶۱۳۵	۲۶۹۳۶۴۵۷۹	۱۵۲۵۰۲۱
	اسپانیا	۲۹۶۱۰۰۰	۳۳۳۳۴۵۵۴۴.۶۸	۱۹۵۳۸۴۸
	امارات	۵۱۰۰۰	۵۰۹۴۹۸۰۶	۲۹۰۵۱۳
	انگلستان	۵۸۰	۲۹۱۲۳۱۳	۱۶۵۹
	بلژیک	۸۱۱۲۵	۲۸۱۹۸۴۲۵۶	۱۶۰۶۷۵
	ترکیه	۳۰۰۰	۴۰۷۹۲۹۵	۲۲۳۴
	چین	۵۴۰۹۸۵۸۵	۵۷۷۴۰۰۲۲۵۶۳	۲۲۷۴۴۵۲
( تری پلی فسفات سدیم )	زاین	۱۸۵۴۰	۷۷۸۵۱۸۰۶	۴۴۲۶
	سوئد	۶۴۰۰۰۰	۸۴۹۴۲۷۵۷۰	۵۰۴۲۲۱
	فرانسه	۷۵۵۰۰	۳۱۲۸۶۷۰۰	۱۷۸۲۷
	مجارستان	۵۷۹۶۰	۶۴۱۱۱۲۲	۳۶۵۲۱
	هلند	۲۴۴۰۰۰	۲۹۴۰۰۶۲۰۸۲	۱۶۷۵۲۴۹
	مجموع	-	۴۱۱۱۱۳۷۳۶.۹	۵۸۲۳۷۵۷۲

## فصل هشتم

# نتیجه گیری و پیشنهادات

### ۱-۸- نتیجه گیری

پس از یک سری مطالعات دفتری، برداشت های صحرایی و زمین شناسی و نتایج آزمایشگاهی که بر روی منطقه ای به وسعت ۱۸۰ کیلو متر مربع واقع در شمال تهران انجام گرفت، محدوده های مناسب، جهت انجام مطالعات دقیق و در صورت حصول نتایج مثبت بهره برداری و استخراج ماده معدنی فسفات تعیین گردید.

با بررسی عکسهای هوایی و نقشه های زمین شناسی و همچنین اطلاعات موجود مشخص گردید که کانی سازی فسفات تنها در واحد A از سازند جیروود در دونین فوچانی رخ داده است. بدین ترتیب وسعت ۱۸۰ کیلومتر مربع به دو محدوده کوچکتر ۵ و ۳۶ کیلومتر مربعی تبدیل گردید. سپس با انجام عملیات صحرایی در این دو محدوده و نمونه برداری از واحدهای فسفات دار، نمونه ها به آزمایشگاه ارسال گردید.

با بررسیهای انجام شده و همچنین در نظر گرفتن این دو محدوده، مطالعات دقیق‌تر بر روی محدوده ۵ کیلومتر مربعی صورت گرفت. تعداد چهار ترانشه عمود بر لایه بندی بر روی این کانسارت زده شد و یک پروفیل زمین‌شناسی برداشت گردید. به علاوه نقشه زمین‌شناسی محدوده در مقیاس ۱:۱۰،۰۰۰ تهیه گشت.

نتیجه حاصل از تمامی این مطالعات حاکی از این مطلب است که کانی سازی "فسفات عمده" در ماسه سنگها و شیلهای سیاه رنگ سازند جیرود است. عیار  $P_2O_5$  در شیلهای سیاه رنگ پائین‌تر از ماسه سنگها می‌باشد. مقدار  $P_2O_5$  در ماسه سنگها ۱۷-۲۷ درصد و در شیلهای سیاه ۳-۱۰ درصد است.

شیب لایه بندی تقریباً "زیاد و در حدود ۶۵-۸۵ درجه است. این مقدار شیب جهت استخراج ماده معدنی (در صورت اقتصادی بودن) بسیار مناسب می‌باشد. لازم است ذکر شود که واحد‌های فسفاته شیلی و ماسه سنگی در تناوب با یکدیگر قرار گرفته‌اند. ضخامت این واحد‌ها از ۵ سانتی متر تا  $1/5$  متر متغیر است.

ضخامتی که در محاسبات تخمین ذخیره زمین‌شناسی در نظر گرفته شده، ۸۰ سانتی متر می‌باشد. وزن مخصوص سنگهای فسفاته پر عیار نیز در حدود  $2/9$  تن بر متر مکعب است. میزان ذخیره‌ای که در این کانسارت خمین زده شده در حدود ۲ میلیون تن است.

## ۲-۸- پیشنهادات

با توجه به نتایج حاصله، این مهندسان مشاور پیشنهاد می کنند که ذخیره آبیک-لالون می تواند در آینده ای نزدیک مورد بهره برداری قرار گیرد. این مهم در صورتی تحقق خواهد یافت که اکتشافات نیمه تفصیلی و تفصیلی در این ذخیره صورت گیرد و وضعیت تغییرات ماده معدنی در عمق مورد بررسی قرار گیرد. به این منظور لازم است که چاههای اکتشافی و گمانه در منطقه حفر گردد.

## منابع فارسی

- بی . آر . جی . ام ، مهندسین مشاور (۱۹۷۹) اکتشاف مرحله اول فسفات در ناحیه مرکزی البرز. پروژه شماره ۲ شرکت ملی صنایع پتروشیمی .
- جعفریان محمدعلی (۱۳۶۴) تطابق چینه شناسی استرونین در نواحی ایران مرکزی و البرز - چهارمین گردهمایی علوم زمین . سازمان زمین شناسی کشور .
- حسنی پاک - علی اصغر (۱۳۶۲) اصول اکتشافات ژئوشیمی . مرکز نشر دانشگاهی
- رضایی - محمدرضا (۱۳۶۷) مطالعه بیواستراتیگرافی پالئوزوئیک دره جاجرد (البرز مرکزی) رساله فوق لیسانس دانشگاه تربیت معلم .
- قویدل سلوکی - محمد و سبزه ای - مسیب (۱۳۶۴) گزارش مطالعه مقدماتی رخداد فسفات در دونین میانی و بالایی . سازمان زمین شناسی سرپرستی کرمان
- ملک زاده - همکاران (۱۳۶۴) گزارش تکمیلی مطالعات نیمه تفصیلی سنگ فسفات جیروド . طرح اکتشاف فسفات .
- نبوی - محمدحسن (۱۳۵۵) دیباچه ای بر زمین شناسی ایران . سازمان زمین شناسی کشور .
- ندمالیان - علیرضا و همکاران . گزارش مطالعات نیمه تفصیلی معدن سنگ فسفات جیرود (البرز مرکزی) . طرح اکتشاف فسفات
- ندمالیان - علیرضا (۱۳۶۵) گزارش اولین مرحله اکتشاف زیر سطحی افق فسفات دار جیرود . طرح اکتشاف فسفات

- ندمالیان - علیرضا (۱۳۶۵) مطالعه پتروگرافی ، کانی شناسی و شیمیایی بر روی افق فسفات دار جیرود - طرح اکتشاف فسفات
- ندمالیان - علیرضا (۱۳۶۶) گزارش دومین مرحله اکتشاف زیر سطحی افق فسفات دار جیرود. طرح اکتشاف فسفات
- ندمالیان - علیرضا (۱۳۶۸) پرولوژی فسفریت جیرود منطقه شمال تهران . پایان نامه کارشناس ارشد در شاخه رسوب شناسی و سنگ رسوبی .
- درویش زاده - علی (۱۳۷۰) زمین شناسی ایران . نشر دانش امروز (وابسته به مؤسسه انتشارات امیرکبیر). (فصل ششم . ایران در دوران پالئوزوئیک ، از صفحه ۳۷۱ تا ۴۳۱)
- حسنی پاک ، علی اصغر (۱۳۷۵) ژئوشیمی اکتشافی (محیط سنگی) دانشگاه هرمزگان - اوائز - آنتونی . ام (۱۳۷۳) مقدمه ای بر زمین شناسی کانسنگها . ترجمه مر ، فرید و مقدسی ، سید جواد (دانشگاه شیراز)

ت	منابع و مأخذ	 IRAN ITOK
---	--------------	--

## منابع لاتین

- 1- Assereto R. (1963) – the paleozoic formation in central Alborz (IRAN) . Riv . Ital . Paleont . Strat ., V . 69 , h.4 , pp.503 – 543 , 2pls . , 11 text – figs., milano
- 2- Assereto R.(1967) The Geology of the upper devonian jadrud and lar valleys (North Iran) . I. Stratigraphy and tectonics. Riv . Ital . Paleont . strat ., Mem . , milano
- 3- Atlas. E. L., (1978) phosphate equilibria in seawater and interstitial waters. PHD Thesis. Orgon Stare Univ., carvallis Oreg . 154 pp
- 4- Baturin, G. N. (1978). phosphorites on the sea floor , Origin , composition and distribution . the P.P. shirshou Inst . Ocean . Acad , Sei . U.S.S.R. Moscow
- 5- Emigh.G.D. (1958) petrography, mineralogy and origin of phosphate pellets in the phosphoria Formation , Idaho , U.S.A.,Bur , Mines . Ged . Pam . Vog . 119 , 60 P
- 6- Cook.P.J.and Mcelhinny M.W (1979) A re-evolution of the spatial and temporal distribution of phosphorites , in the light of plate tectonics . Econ . Geol . 47 . 315 – 30
- 7- Geological Survey of Iran , Report No. IO , 1968 . Recent phosphate Discoveries in Iran.

پیوست گزارش  
نتایج آزمایشگاهی

# شرکت الومینای ایران

**IRAN ALUMINA CO.**



۷۹/۱۱/۱۹ : تاریخ  
شماره :  
پیوست : ۹۷۹-۵۱۲

شماره درخواست: ۷۹/۱۴۹۴

تاریخ درخواست: ۷۹/۱۰/۲۸

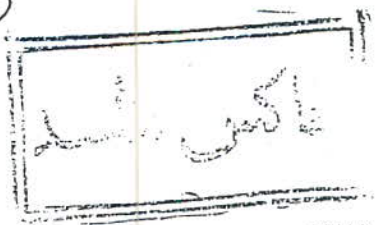
تعداد نمونه: ۴۳

تعداد آزمایش: ۴۳

No.	Sample No.	%P2O5
1	PH-12	1.09
2	PH-15	0.34
3	PH-24	0.47
4	PH-25	0.34
5	PH-26	1.94
6	PH-29	0.36
7	PH-31	0.41
8	PH-33	0.47
9	PH-34	0.41
10	PH-37	2.79
11	PH-39	0.27
12	PH-40	0.63
13	PH-44	0.25
14	PH-47	0.23
15	PH-48	1.15
16	PH-50	0.27
17	PH-52	0.12
18	PH-54	0.22
19	PH-56	0.88
20	PH-57	0.17
21	PH-58	0.72

تائیدکننده:

آزمایشکننده: بخش شیمی تر



# شرکت الومینیم ایران

## IRAN ALUMINA CO.



۱۹/۱۱/۱۹  
۰۹/۰۹-۰۱۶  
تاریخ :  
شماره :  
پیوست :

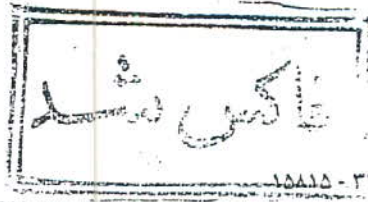
شماره درخواست: ۷۹/۱۴۹۴  
تاریخ درخواست: ۷۹/۱۰/۲۸

تعداد نمونه : ۴۳  
تعداد آزمایش : ۴۳

No.	Sample No.	%P2O5	
22	PH-59	0.17	
23	PH-60	1.83	
24	PH-61	0.29	
25	PH-62	0.31	
26	PH-63	0.83	
27	PH-64	0.72	
28	PH-65	0.36	
29	PH-66	0.57	
30	PH-67	0.29	
31	PH-69	0.40	
32	PH-70	0.52	
33	PH-71	4.51	
34	PH-73	0.21	
35	PH-74	2.62	
36	PH-75	1.67	
37	PH-76	3.64	
38	PH-77	0.34	
39	PH-78	0.59	
40	PH-79	1.33	
41	PH-80	0.79	
42	PH-81	0.43	
43	PH-82	0.36	

تائید کننده:

آزمایش کننده: بخش شیمی تر



واحده تحقیقات صنعتی  
پژوهشگران شیمی  
سهامی خاص

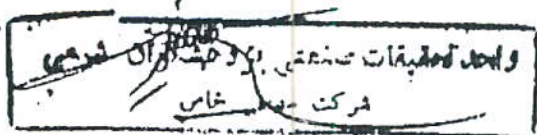


تاریخ ۱۳۹۰/۰۷/۲۹  
شماره ۶۲۱  
آبجست

احتراماً پاسخ نامه شماره ۱۷۱۴/۷۹ مورخ ۷۹/۱۲/۱۳ نتیجه  
آنالیز دو غوله ارسالی بشرح زیر باستحضار می‌رسد.

Lab.No.	4197	4198
Sampl.No.	PH-93	PH-94
%P2O5	27,6	13,1

با تقدیر احترام



آدرس: تهران، خیابان مهرزادی هفتاد و یکم، طبقه چهارم تلفن و فاکس: ۸۳۸۳۲۳

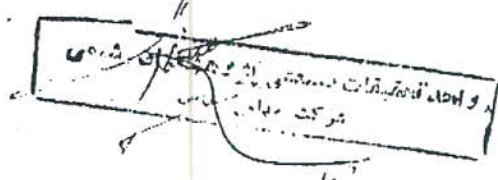


تاریخ - ۱۳۹۷/۰۲/۲۶  
شماره - ۷۴۱۷۳۳۲  
پیوست

احترامآمیز پاسخ نامه شماره ۷۹/۱۷۶۸ مورخ ۷۹/۱۲/۲۲ تبیجه آنالیز سه نمونه ارسالی  
شرح زیر با استحضار می‌ردد.

Lab.No.	Sampl.No.	%P <sub>2</sub> O <sub>5</sub>
4216	PH-86	16,7
4217	PH-88	10,4
4218	PH-89	24,5

با تقدیم احترام



آدرس: تهران، خیابان میرزا شیرازی، پلاک ۹۳، طبقه چهارم تلفن و فاکس: ۸۳۸۴۲۳



SampLNo.	Lab.No.	%P <sub>2</sub> O <sub>5</sub>
PH-3	2922	0,63
PH-19	2923	0,20
PH-21	2924	1,04
PH-36	2925	0,57
PH-37	2926	2,32
PH-49	2927	0,35
PH-51	2928	0,4
PH-54	2929	0,68
PH-56	2930	1,06
PH-67	2931	0,36
PH-71	2932	2,10

وکلاد تحقیقات و مهندسی پژوهشگران شیمی

خرید و فروخت

آدرس: تهران، خیابان سید روح‌الله خمینی، پلاک ۲۶، منطقه چهارم - تلفن و فاکس: ۸۳۸۳۲۳



# شرکت الومینیم ایران (سهامی خاص)

آزمایشگاه کرج

تاریخ :

شماره :

پیوست :

کارفرما : شرکت معدنکاو (مسیدسان متاور)

تعداد نمونه : ۴

تعداد آزمایش : ۳

تاریخ درخواست : ۷۹/۱۷۷۲

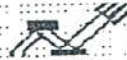
شماره درخواست : ۷۹/۱۲/۲۳

Sample No.	%P2O5				
PH-52	0.11				
PH-54	0.19				
PH-54	0.15				
PH-71	4.39				

آزمایش گشته : بیکش تیمسار

تایید کنندۀ :

دفتر مرکزی : تهران . خیابان سمهی بعد از خیابان شهید مفتح . بلاک ۲ . مندوق یستی : ۰۲۱-۳۱۶۷-۸۵۸۱۵ و ۰۲۱-۸۸۳۹۶۳۸ . تلفن : ۰۲۱-۸۸۳۹۶۳۸ . آزمایشگاه : کرج - شهر صنعتی . خیابان شیخ آباد . خیابان گاردن فولاد . بلاک ۱۱ . مندوق یستی : ۰۲۱-۳۱۷۴۶ و ۰۲۱-۲۸۹۳۲۱ . تلفن : ۰۲۱-۳۸۲۰۰۰ و ۰۲۱-۳۸۹۳۲۱ . تلفن : ۰۲۱-۳۸۸۸۹-۰۷۵۱



Sample	SiO <sub>2</sub>	Al <sub>2</sub> O <sub>3</sub>	Fe <sub>2</sub> O <sub>3</sub>	CaO	Na <sub>2</sub> O	MgO	K <sub>2</sub> O	TiO <sub>2</sub>	MnO	P <sub>2</sub> O <sub>5</sub>
	%	%	%	%	%	%	%	%	%	%
PH101	74.98	9.62	4.97	2.43	0.09	0.46	1.98	0.735	0.192	1.231
PH102	46.22	13.15	14.48	9.16	2.45	2.76	0.38	2.628	0.223	0.327
PH104	72.94	1.42	3.82	8.51	0.18	0.07	0.26	0.037	0.180	5.536
PH105	64.84	1.27	4.04	11.62	0.12	0.07	0.23	0.038	0.265	8.063
PH103	29.72	1.20	14.88	23.69	0.24	0.45	0.17	0.167	0.705	15.017
PH106	6.61	1.29	5.61	35.92	0.30	0.37	0.20	0.175	0.308	25.458
PH107	51.81	3.57	9.58	14.85	0.18	1.03	0.56	0.247	0.517	5.649
PH108	58.58	2.39	8.12	12.84	0.18	0.45	0.51	0.236	0.421	6.243
PH130	12.85	1.89	6.90	31.11	0.30	0.35	0.14	0.173	0.190	23.282
PH132	24.51	1.01	13.93	26.29	0.26	0.43	0.16	0.169	0.896	16.944

Sample	Rb	Sr	V	W	Y	Zr	Zn	Mo	Ba	Ce
	ppm									
PH101	44	183	58	0	29	483	20	1	134	18
PH102	14	285	276	0	17	176	96	6	278	9
PH104	13	139	21	0	22	44	21	7	29	19
PH105	13	189	23	0	27	47	22	5	158	9
PH103	10	439	53	7	70	.87	,40	9	79	28
PH106	10	676	27	0	54	81	27	9	100	34
PH107	17	214	30	0	48	73	30	6	62	29
PH108	14	242	28	4	54	88	26	7	62	33
PH130	9	593	21	0	65	88	33	10	68	41
PH132	11	487	42	3	68	90	35	11	105	52

Sample	U	Th	Cl	S	Co	Cr	Cu	Nb	Ni	Pb
	ppm	ppm	ppm	ppm	ppm	ppm	ppm	ppm	ppm	ppm
PH101	8	9	42	32	14	76	23	96	39	35
PH102	1	1	1866	69	40	49	18	87	60	3
PH104	2	1	581	301	5	110	4	80	11	19
PH105	1	1	134	472	5	80	9	78	12	24
PH103	6	1	367	1512	12	46	12	1	44	28
PH106	4	9	433	5950	11	1	8	2	40	52
PH107	1	2	564	1363	2	60	1	5	36	32
PH108	5	5	416	1100	2	55	2	1	33	39
PH130	1	4	420	2504	16	7	88	2	64	106
PH132	6	3	718	1763	12	23	1	3	55	34

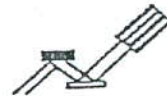
تهران - قیمیان بلوار لشگری صهیلی - نمر گوجه سکوفه - پندت ۱ - ضلعه سوم خیابان

تلفن: ۰۲۶۸۰۴۸۷۱۲ - همراه: ۰۹۱۱۲۲۸۷۱۲

مشهد - رحمندیه - خلیله ستو - بلاک ۱۵۰ - نمر: ۰۵۱۱؛ ۸۸۴۶۴۶ - ص: ب - ۰۵۴۲۵-۳۵۴

e-mail: xyd@binaloud.com or xrf@binaloud.com

http://www.binaloud.com



Sample	SiO <sub>2</sub>	Al <sub>2</sub> O <sub>3</sub>	Fe <sub>2</sub> O <sub>3</sub>	CaO	Na <sub>2</sub> O	K <sub>2</sub> O	MgO	TiO <sub>2</sub>	MnO	P <sub>2</sub> O <sub>5</sub>
	%	%	%	%	%	%	%	%	%	%
PH-125	20.49	1.27	17.05	21.10	0.23	0.21	0.43	0.170	1.310	14.917
PH-111A	9.27	1.82	6.54	30.16	0.29	0.31	0.33	0.194	0.548	24.590
PH-111B	7.23	1.76	7.48	30.72	0.31	0.32	0.31	0.190	0.668	26.771
PH-114	10.54	3.19	13.59	26.85	0.30	0.54	0.41	0.303	1.094	20.808
PH-122	12.34	3.08	14.60	25.42	0.29	0.50	0.48	0.270	1.148	17.558
PH-123	45.86	2.19	6.11	19.05	0.23	0.35	0.39	0.187	0.313	13.405
PH-121	38.38	2.21	14.05	16.71	0.16	0.39	0.45	0.248	1.114	8.526
PH-110	21.21	9.29	7.05	22.84	0.23	1.27	0.48	0.525	0.548	14.607
PH-112	25.61	2.20	8.87	24.47	0.26	0.34	0.31	0.180	0.619	19.228
PH-113	11.68	1.76	10.64	27.04	0.28	0.30	0.31	0.208	0.686	21.743
PH-120	47.16	8.45	13.51	11.93	0.15	1.34	0.27	0.646	0.593	6.771
PH-124	19.42	1.23	14.54	22.15	0.25	0.22	0.49	0.171	0.885	16.075

Sample	Rb	Sr	V	W	Y	Zr	Zn	Mo	Ba	Ce
	ppm									
PH-125	8	411	50	0	59	78	78	6	806	84
PH-111A	14	555	26	3	51	79	25	4	117	45
PH-111B	13	549	25	1	50	93	22	4	114	68
PH-114	17	481	43	5	39	146	35	5	63	64
PH-122	18	505	38	11	73	90	39	6	96	155
PH-123	14	327	22	9	32	72	26	4	122	33
PH-121	15	233	31	1	41	61	33	4	207	45
PH-110	39	512	49	8	68	121	27	4	142	94
PH-112	12	425	20	1	45	71	26	5	62	92
PH-113	13	474	31	1	44	100	22	6	32	105
PH-120	35	304	77	17	66	315	44	2	207	189
PH-124	10	448	50	10	67	89	38	5	185	88

Sample	Co	Cr	Cu	Nb	Ni	Pb	U	Th	Cl	S
	ppm									
PH-125	13	49	2	4	100	25	4	6	374	2011
PH-111A	5	10	3	2	39	53	2	2	374	3330
PH-111B	13	4	9	5	37	55	2	5	400	3437
PH-114	14	9	2	8	58	39	3	1	383	1630
PH-122	27	11	16	3	80	63	6	8	345	2205
PH-123	2	102	1	4	162	25	2	2	205	1079
PH-121	8	77	1	2	39	35	1	5	158	910
PH-110	17	19	2	9	76	47	5	4	274	1081
PH-112	11	21	2	4	41	46	2	1	293	1719
PH-113	13	8	17	7	36	75	4	3	363	4387
PH-120	18	107	1	39	155	55	6	12	147	966
PH-124	19	42	1	1	93	43	1	5	368	2707

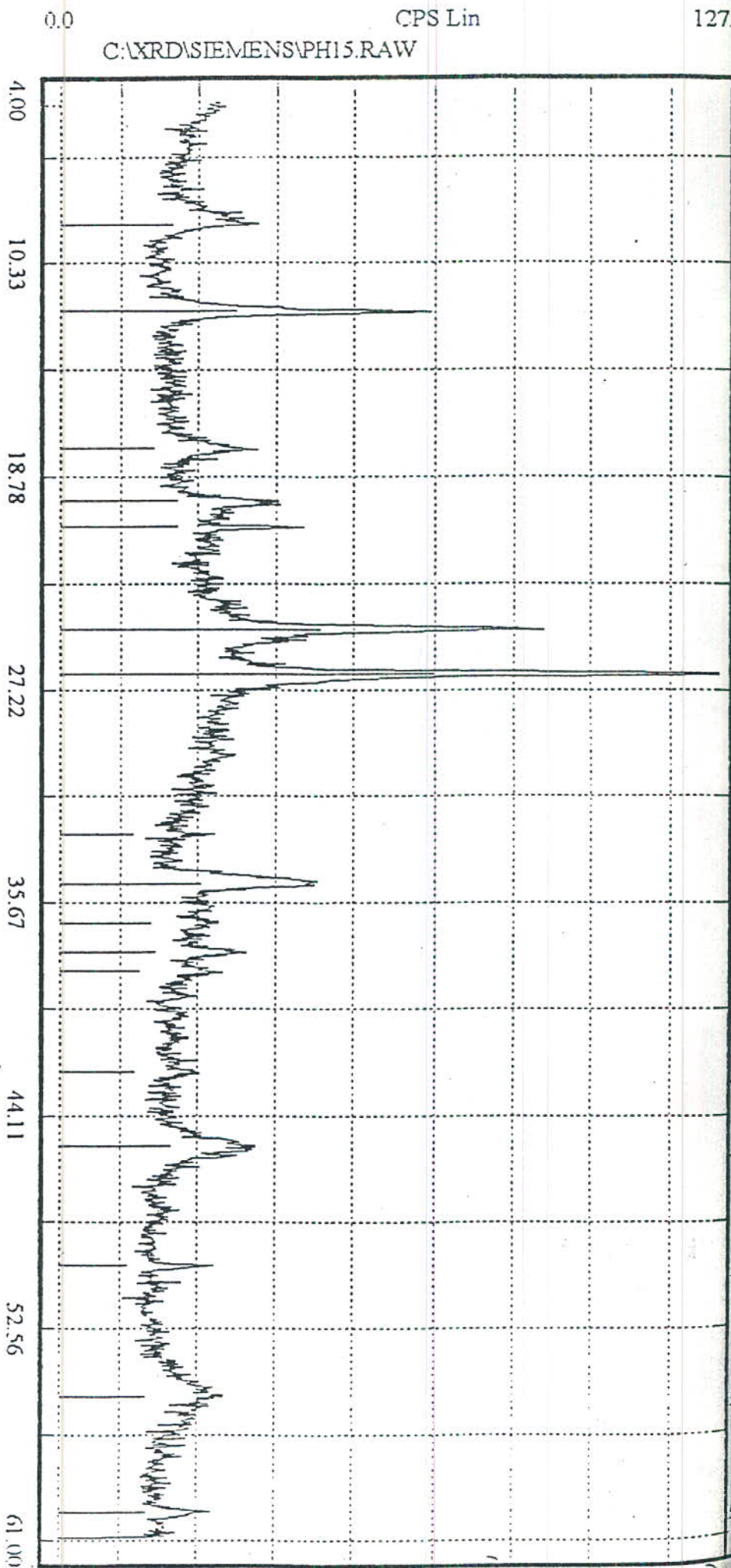
تهران - انتهای بلوار اشرفی اصفهانی - تبس کوجه شکوفه - بلاک 1 - طبقه سوم جنوبی

تلفن: ۰۲۰۸۷۴۸۰۱۸۸۸ - همراه: ۰۹۱۱۳۰۷۸۷۴

مشید - رضشهر - حاشیه ستو - بلاک ۱۵۰ - تلفن: ۰۵۱۱۸۸۴۶۶۴ - ص - ب - ۰۵۶۳۵۷۵۱۱۲

CPS Lin

C:\XRD\SIEMENS\PHI5.RAW



Sample:	Angle	d-value	Rel. Int.	Angle	d-value	Rel. int.
PH - 15	2 Theta	Angstrom	%	2 Theta	Angstrom	%
	8.890	9.939	14		38.470	2.338
	12.385	7.141	53		39.535	2.278
Date :	17.795	4.980	12		42.500	2.125
19/12/2000	19.885	4.461	14		45.505	1.992
	20.885	4.250	21		50.165	1.817
	24.920	3.570	62		55.245	1.661
kV = 40	26.685	3.338	96		59.940	1.542
mA = 30	35.095	2.555	28			
Ka. = Cu	36.585	2.454	8			
Filt. = Ni	37.740	2.382	12			

Phase
-------

Quartz (33-1161)

SiO<sub>2</sub>

Kaolinite (29-1485)

Al<sub>2</sub>Si2O<sub>5</sub>(OH)<sub>4</sub>

Sericite (06-0263)

KAl<sub>2</sub>Si<sub>3</sub>AlO<sub>10</sub>(OH)<sub>2</sub>

CPS Lin

C:\XRD\SIEMENS\PH72.RAW

0.0

4.00

10.33

18.78

27.22

35.67

44.11

52.56

61.00

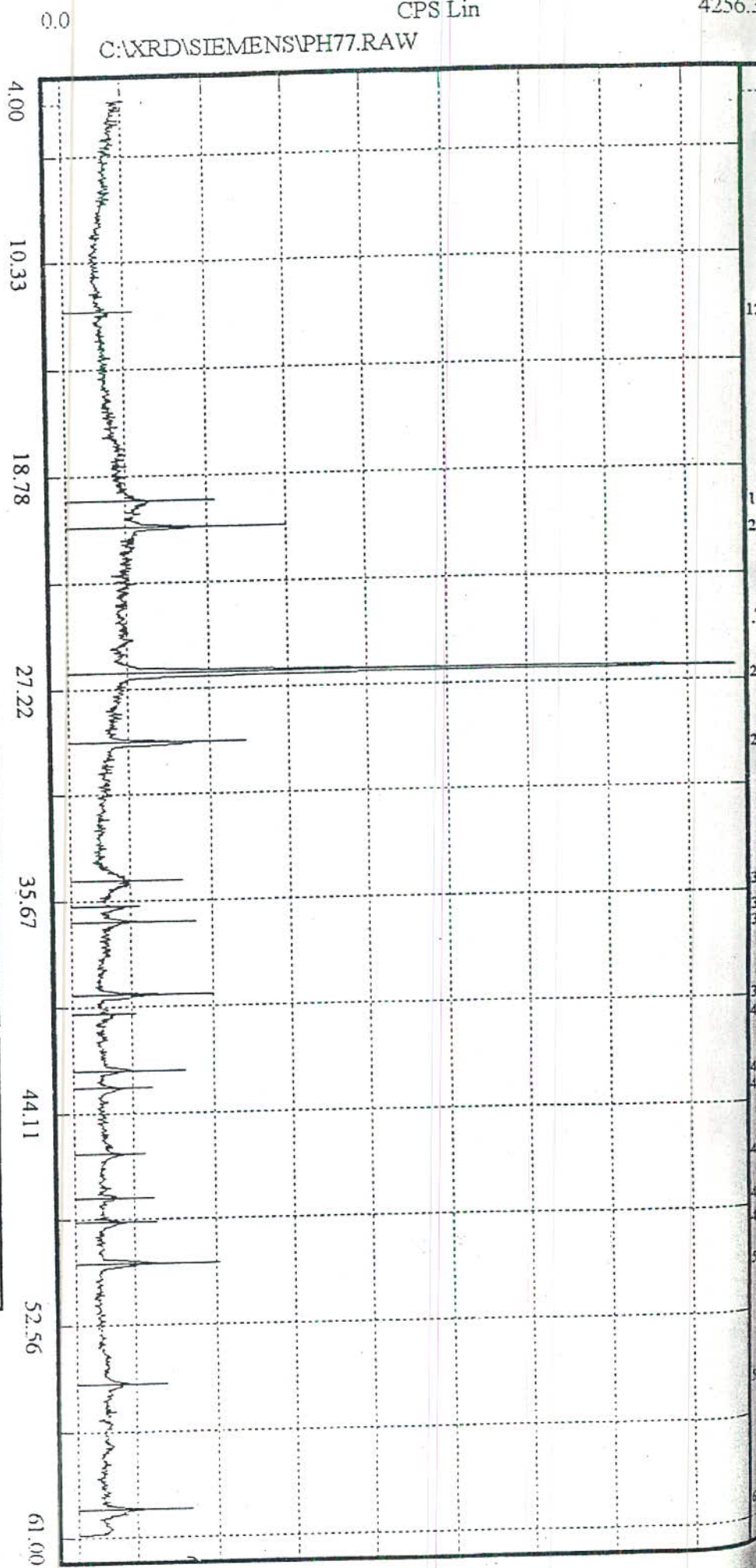
Sample: PH - 72		
Angle	d-value Angstrom	Rel. int. %
2 Teta	7.084	14
12.485	7.084	14
20.925	4.242	20
24.985	3.561	13
25.910	3.436	2
26.720	3.334	100
35.110	2.554	2
36.065	2.488	2
mA = 30	36.660	2.449
Ka. = Cu	37.835	2.376
Fil. = Ni	38.535	2.334

Phase
Quartz (33-1161)
SiO <sub>2</sub>
Kaolinite (29-1488) Al <sub>2</sub> Si2O <sub>5</sub> (OH)4

kV = 40
mA = 30
Ka. = Cu
Fil. = Ni

CPS Lin

C:\XRD\SIEMENS\PH77.RAW



Sample:	PH - 77
Angle	d-value
2 Theta	Angstrom
12.490	7.081
19.895	4.459
20.940	4.239
25.440	3.498
26.740	3.331
29.495	3.026
35.115	2.553
36.050	2.489
Ka. = Cu	36.610
Fil. = Ni	37.890

Angle	d-value	Rel. int.
2 Theta	Angstrom	%
39.520	2.278	12
40.350	2.233	2
42.465	2.127	5
43.220	2.092	3
43.755	2.067	2
45.855	1.977	3
47.505	1.912	3
48.555	1.873	4
50.170	1.817	8
53.880	1.700	1

Angle	d-value	Rel. int.
2 Theta	Angstrom	%
54.945	1.670	4
56.615	1.624	2
57.500	1.601	1
59.970	1.541	7

Angle	d-value	Rel. int.	Phase
2 Theta	Angstrom	%	
Quartz (33-1161)			
SiO2			
Calcite (05-0586)			
CaCO3			

KV = 40	
mA = 30	
Ka. = Cu	
Fil. = Ni	

Kaolinite (29-1488)  
Al2Si2O5(OH)4